

# ИССЛЕДОВАНИЯ ПО СПЕКТРОСКОПИИ МЕЗОНОВ НА УСТАНОВКЕ «ЛЕПТОН»

Л. Г. Ландсберг

Институт физики высоких энергий, Серпухов

В обзоре рассмотрены эксперименты по адронной спектроскопии, проводившиеся на установке «Лептон». В этих опытах обнаружен и исследован новый векторный мезон  $C$  (1480) — кандидат в экзотические состояния, проведены поиски радиационных распадов мезонов и обнаружен распад  $D$  (1285)  $\rightarrow \phi\gamma$ , получены данные о степени выполнения правила  $OZI$  в адронных реакциях и распадах. Представлены также результаты исследований редких электромагнитных лептонных распадов  $\eta$ -,  $\eta'$ - и  $\omega$ -мезонов. В приложении к обзору дается общая картина развития физики экзотических адронов.

The review is devoted to the experiments on hadron spectroscopy carried out on the «Lepton» apparatus. A new vector meson  $C$  (1480), a candidate for the exotic state, has been observed and searches for rare meson radiative decays have been undertaken. The decay  $D$  (1285)  $\rightarrow \phi\gamma$  has been found and new data have been obtained on the fulfilment of the  $OZI$  rules in hadronic processes. The results on rare electromagnetic leptonic decays of  $\eta$ ,  $\eta'$  and  $\omega$  mesons are presented. The addendum gives the status of the exotic states physics.

## ВВЕДЕНИЕ

Исследования по спектроскопии «легких» адронов, которые ведутся уже более четверти века, за последние годы вышли на качественно новый уровень и переживают свое второе рождение. Этот прогресс в значительной мере связан с общим развитием экспериментальной техники и с разработкой многоканальных гаммоскопических  $\gamma$ -спектрометров для регистрации жестких фотонов. Были созданы сложные светосильные установки, работающие в интенсивных адронных и фотонных пучках и регистрирующие все вторичные частицы — как заряженные, так и нейтральные. Таким образом, стало возможным выделять определенные эксклюзивные реакции для исследуемых состояний и осуществлять полную реконструкцию событий с дополнительными кинематическими переопределениями. Все это позволяет сильно подавить фон и исследовать редкие процессы, лежащие в области нанобарных сечений.

В опытах на встречных  $e^+e^-$ -пучках также были получены очень интересные результаты для новых классов явлений, связанных с образованием адронов в распадах  $J/\psi$ -частиц и в  $\gamma\gamma$ -соударениях (как для почти реальных, так и для виртуальных фотонов).

Новые опыты привели к значительным успехам в развитии систематики «обычных» адронов, имеющих простейшую кварковую структуру ( $q\bar{q}$  — для мезонов и  $qq\bar{q}$  — для барионов). Был обнаружен также ряд редких электромагнитных распадов сильно взаимодействующих частиц, и получена важная информация об их внутреннем строении и других характеристиках. Но, по-видимому, наиболее серьезные успехи современной адронной спектроскопии связаны с поисками новых видов адронной материи — экзотических адронов. Среди этих необычных частиц могут быть многокварковые образования ( $qq\bar{q}\bar{q}$ -мезоны,  $qq\bar{q}\bar{q}\bar{q}$ -барионы), гибридные состояния с валентными кварками и глюонами ( $q\bar{q}g$ -мезоны,  $qq\bar{q}g$ -барионы) или глюболы, т. е. частицы, состоящие из одних валентных глюонов ( $gg$ ,  $ggg$ ). Результаты таких исследований имеют далеко идущие последствия для квантовой хромодинамики, для концепции конфайнмента и для конкретных моделей строения адронов (модели решеток, струн и мешков).

За последние несколько лет на установке «Лептон-Ф» (ИФВЭ)\* был проведен цикл экспериментов, связанных с поисками экзотических мезонов и другими близкими направлениями мезонной спектроскопии [свойства аксиальных мезонов и  $E/\pi$  проблема, природа  $E(1420)$ -мезона, правило OZI \*\* и свойства экзотических состояний и т. д.]. Именно эти исследования обсуждаются в настоящем обзоре. Его основное содержание посвящено рассмотрению следующих вопросов:

1.  $C(1480) \rightarrow \phi\pi^0$  — новый векторный мезон, кандидат в экзотические состояния [1—6].
2. Поиски распада  $B(1235) \rightarrow \phi\pi^0$ , правило OZI и распады экзотических мезонов [5].
3. Реакция  $\pi^- p \rightarrow \phi n$  при  $p_{\pi^-} = 32,5$  ГэВ и правило OZI в адронных процессах.
4. Поиски радиационных распадов  $D(1285) \rightarrow \phi\gamma$ ,  $E(1420) \rightarrow \phi\gamma$  и природа  $E(1420)$ -мезона [5, 7—9].

Для того чтобы сопоставить экспериментальные результаты, полученные на установке «Лептон», с общей картиной исследований экзотических состояний, обзор дополнен приложением, в котором дано краткое описание современного развития физики экзотических мезонов. Это приложение в значительной степени основано на материалах Рабочего совещания по гибридам, глюболам и экзотическим

\* Сотрудничество «Лептон-Ф»: С. И. Битюков, Г. В. Борисов, В. А. Викторов, Н. К. Вишневский, С. В. Головкин, Р. И. Джелядин, В. А. Дорофеев, А. М. Зайцев, А. С. Константинов, В. П. Кубаровский, А. И. Кульянов, В. Ф. Куршев, Л. Г. Ландсберг, В. В. Лапин, В. А. Мухин, Ю. Б. Новожилов, В. Ф. Образцов, Ю. Д. Прокопкин, В. И. Соляник (ИФВЭ) и М. В. Грицук (ИТЭФ).

\*\* Правило OZI — правило непрерывных кварковых линий Окубо—Цвейга — Иизуки, согласно которому процессы, описываемые диаграммами типа кварковой аннигиляции, должны быть сильно подавлены.

адронам (BNL, август 1988 г., «Глюболы-88»). Данные, приведенные в настоящем обзоре, подробно обсуждались на этом совещании. В целях полноты в обзоре также кратко рассмотрены эксперименты на установке «Лептон-Г» [10—14] \*, в которых были обнаружены редкие электромагнитные распады  $\eta$ -,  $\eta'$ - и  $\omega$ -мезонов и получены данные о внутренней электромагнитной структуре этих частиц. Более подробно результаты исследований [10—14] обсуждались в [15].

Следует подчеркнуть, что, вообще, исследования электромагнитных распадов адронов играют важную роль в физике элементарных частиц. Эти процессы, определяемые взаимодействием реальных или виртуальных фотонов с электрическими зарядами кварковых полей, позволяют получить уникальную информацию о характере различных кварковых конфигураций в адронах, о механизме смешивания, об электромагнитной структуре сильно взаимодействующих частиц и о ряде их феноменологических характеристик — таких, как магнитные моменты, формфакторы и т. д. Приятно отметить, что многие важные экспериментальные результаты в этой области были получены в ИТЭФ (обнаружение  $\omega \rightarrow \pi^0\gamma$ -распада), в ОИЯИ (обнаружение распадов  $\rho \rightarrow e^+e^-$  и  $\varphi \rightarrow e^+e^-$ , поиски редких распадов  $\eta$ -мезонов), в ИФВЭ (обнаружение ряда редких электромагнитных распадов легких мезонов), в ИЯФ СО АН СССР (обнаружение резонансной реакции  $e^+e^- \rightarrow \rho \rightarrow \pi^+\pi^-$ , исследование радиационных распадов  $\varphi$ - и  $\eta$ -мезонов). Эти данные рассмотрены в обзорах [15, 16], где приведена и подробная библиография (см. также [17, 18]).

## 1. НОВЫЙ ВЕКТОРНЫЙ $C$ (1480)-МЕЗОН — КАНДИДАТ В ЭКЗОТИЧЕСКИЕ СОСТОЯНИЯ

В этом разделе будут рассмотрены результаты исследования  $\Phi\pi^0$ -системы, образующейся в эксклюзивной реакции перезарядки

$$\pi^- p \rightarrow (\Phi\pi^0) n. \quad (1)$$

Система  $\Phi\pi^0$  обладает уникальными характеристиками, делающими ее особенно перспективной для поисков экзотических адронов [19]. Изотопический спин такой системы равен единице, т. е. в ее состав входят «носители» изоспина —  $u$ - и  $d$ -кварки [в комбинации  $(1/\sqrt{2}) \times (uu - dd)$ ]. В то же время  $\Phi$ -мезон характеризуется скрытой странностью и состоит из  $ss$ -кварков. Связь между состояниями  $uu$ - и  $dd$ -кваркония и  $ss$ -системой подавлена правилом отбора по непрерывным кварковым линиям (правило OZI). Состояния, сильно связанные

\* Сотрудничество «Лептон-Г»: В. А. Викторов, С. В. Головкин, Р. И. Джелядин, А. М. Зайцев, В. А. Качанов, А. С. Константинов, В. Ф. Константинов, В. П. Кубаровский, А. В. Кулик, Л. Г. Ландсберг, В. М. Леонтьев, В. А. Мухин, В. Ф. Образцов, Т. И. Петрунина, Ю. Д. Прокошкин (ИФВЭ) и М. В. Грицук (ИТЭФ).

с  $\Phi\pi^0$ , поэтому должны иметь сложную кварковую валентную структуру, отличающуюся от «обычных»  $q\bar{q}$ -мезонов.

Экспериментальное изучение реакции (1) проведено на 70 ГэВ ускорителе ИФВЭ на установке «Лептон-Ф» в 1983—1986 гг. Первые данные по процессу (1), в которых были получены веские указания на существование резонансного  $C$ -состояния (распадающегося по каналу  $C \rightarrow \Phi\pi^0$ ) с массой около 1,5 ГэВ и со свойствами, не укладывающимися в представление о мезонных состояниях обычного типа [1],

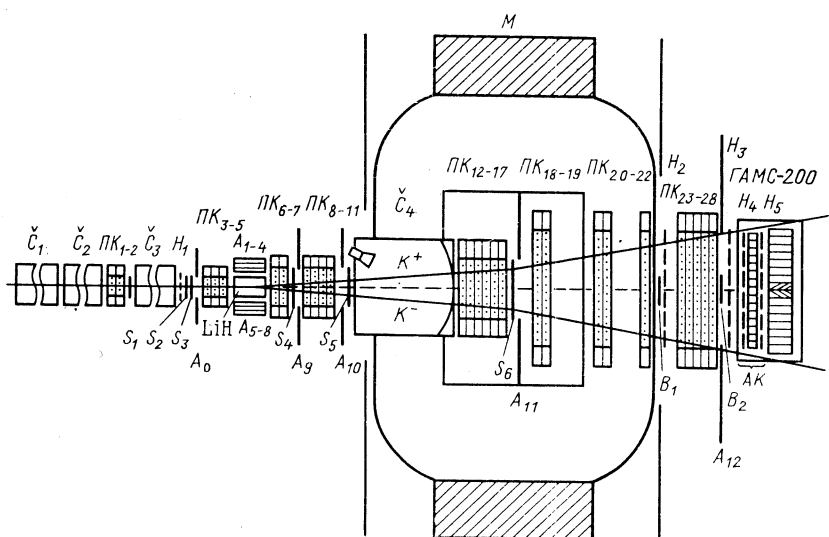


Рис. 1. Схема комбинированного спектрометра «Лептон-Ф»:  
 $S_1 - S_6$ ,  $B_1$ ,  $B_2$  — сцинтилляционные счетчики;  $H_1 - H_5$  — сцинтилляционные гodosкопы;  
 $A_0 - A_{12}$  — сцинтилляционные охранные счетчики;  $PK_{1-28}$  — пропорциональные камеры;  
 $\check{C}_1 - \check{C}_4$  — газовые пороговые черенковские счетчики;  $LiH$  — мишень с охранной системой для выделения эксклюзивных реакций;  $M$  — магнит широкояртурного магнитного спектрометра вторичных частиц;  $AK$  — активный конвертор  $\gamma$ -квантов; ГАМС-200 — гodosкопический спектрометр  $\gamma$ -квантов

стимулировали проведение дальнейших исследований на усовершенствованной установке, завершившихся обнаружением нового векторного мезона  $C$  (1480)-кандидата в экзотические состояния [2—4]. Дальнейшие обсуждения свойств  $C$  (1480) содержатся в [5, 6] и в настоящем обзоре.

**1.1. Опыты на установке «Лептон-Ф».** Комбинированная установка «Лептон-Ф» (рис. 1), позволявшая эффективно регистрировать заряженные адроны и  $\gamma$ -кванты, включала в себя магнитный спектрометр с пропорциональными камерами и гodosкопический гаммаспектрометр. Заряженные частицы в начальном и конечном состояниях идентифицировались при помощи газовых пороговых черенков-

ских счетчиков. Измерения проводились в пучке отрицательно заряженных частиц с импульсом 32,5 ГэВ.

За время экспозиции спектрометра в пучке через его мишень было пропущено  $4 \cdot 10^{11}$   $\pi^-$ -мезонов и  $8 \cdot 10^9$   $K^-$ -мезонов. Установка запускалась тремя типами триггерных сигналов, позволявших регистрировать следующие события:

$$\pi^- p \rightarrow (K^+ K^- m\gamma) n; \quad (2)$$

$$\rightarrow (\pi^+ \pi^- m\gamma) n; \quad (3)$$

$$K^- N \rightarrow (K^+ K^- m\gamma) Y \quad (4)$$

$$(m = 0, 1, 2).$$

Эти события использовались затем для поисков и выделения процессов

$$\pi^- p \rightarrow (K^+ K^- \pi^0) n; \quad (5)$$

$$\rightarrow (\varphi \pi^0) n; \quad \varphi \rightarrow K^+ K^-; \quad (6)$$

$$\rightarrow (K^+ K^- \gamma) n; \quad (7)$$

$$\rightarrow (\varphi \gamma) n; \quad \varphi \rightarrow K^+ K^-; \quad (8)$$

$$K^- N \rightarrow (K^+ K^- \pi^0) Y; \quad (9)$$

$$\rightarrow (\varphi \pi^0) Y; \quad \varphi \rightarrow K^+ K^-; \quad (10)$$

$$\rightarrow (K^+ K^- \gamma) Y.$$

Для калибровки установки, изучения фона, нормировки сечений и вероятностей распада служили известные процессы с близкой топологией

$$\pi^- p \rightarrow (\pi^+ \pi^- \pi^0) n; \quad (11)$$

$$\rightarrow \eta n; \quad \eta \rightarrow \pi^+ \pi^- \pi^0; \quad (12)$$

$$\rightarrow \omega n; \quad \omega \rightarrow \pi^+ \pi^- \pi^0; \quad (13)$$

$$\rightarrow (\pi^+ \pi^- \gamma) n; \quad (14)$$

$$\rightarrow \eta n; \quad \eta \rightarrow \pi^+ \pi^- \gamma; \quad (15)$$

$$\rightarrow \eta' n; \quad \eta' \rightarrow \pi^+ \pi^- \gamma. \quad (16)$$

При выделении эксклюзивных реакций с образованием  $K^+ K^- \pi^0$ - и  $\pi^+ \pi^- \pi^0$ -состояний применялись следующие критерии отбора событий:

1. Зарегистрировано два и только два трека заряженных частиц с противоположными знаками зарядов, вылетающих из точки взаимодействия внутри мишени.

2. Для разделения вторичных  $\pi$ - и  $K$ -мезонов в случае необходимости использован отбор по минимальному импульсу заряженных частиц  $p > 7,3$  ГэВ (так как порог регистрации  $\pi^-$ -мезонов в черенковском счетчике  $C_4$   $p_{\text{порог}} = 5,5$  ГэВ).

3. В спектрометре ГАМС зарегистрирован распад  $\pi^0 \rightarrow \gamma_1 \gamma_2$ , идентифицированный в соответствии с требованиями  $E_{\gamma_1}, E_{\gamma_2} > 0,5$  ГэВ;  $E_{\gamma_1} + E_{\gamma_2} > 5$  ГэВ;  $100 < M_{\gamma_1 \gamma_2} < 180$  МэВ.

4. Использовано сравнительно мягкое требование «упругости» для эксклюзивных процессов  $29 < E_{\gamma 1} + E_{\gamma 2} + E_+ + E_- < 35$  ГэВ ( $E_+$ ,  $E_-$  — энергии заряженных адронов). Эти критерии отбора позволили выделить реакции (5), (8), (11) при низком уровне фона.

Данные, приведенные на рис. 2—4, характеризуют возможности установки «Лептон-Ф» при идентификации известных процессов с за-

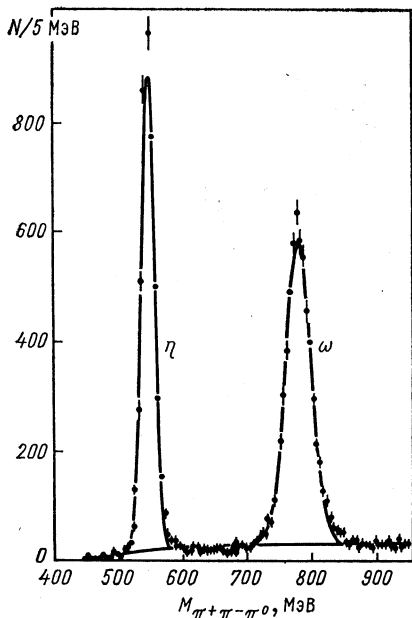


Рис. 2. Спектр эффективных масс  $\pi^+\pi^-\pi^0$ -системы в реакции  $\pi^-p \rightarrow (\pi^+\pi^-\pi^0) n$  (20% статистики). Пики соответствуют образованию  $\eta$ - и  $\omega$ -мезонов (ширины пиков обусловлены разрешением спектрометра)

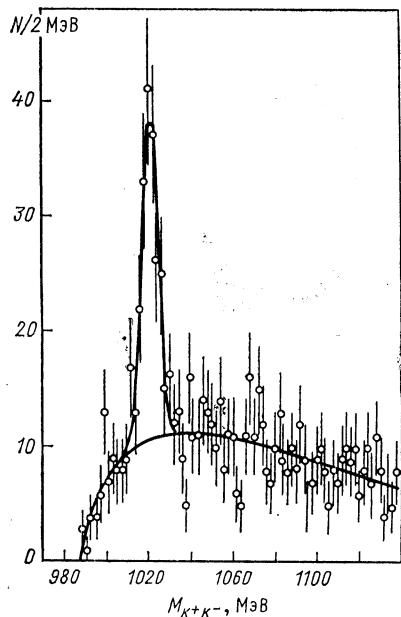


Рис. 3. Спектр эффективных масс  $K^+K^-$ -системы в реакции  $K^-N \rightarrow (K^+K^-) Y$ . Пик соответствует образованию ф-мезона. Ширина пика  $\Gamma_\Phi = (9,3 \pm 1,4)$  МэВ определяется разрешением спектрометра

раженными частицами и  $\pi^0$ -мезонами (вплоть до очень малых сечений — см. рис. 4). Вопросы, связанные с выделением радиационных распадов в (6), (7), (10), (14)–(16), будут рассмотрены ниже в разд. 3.

**1.2. Выделение реакции  $\pi^-p \rightarrow (\pi^0) n$  при анализе  $\pi^-p \rightarrow (K^+K^-\pi^0) n$ .** В спектре масс  $K^+K^-$ -системы в процессе (5) наблюдается четкий пик, соответствующий образованию ф-мезона в (1) (рис. 5). События реакции (1) были отобраны из области пика ( $1016 < M_{K^+K^-} < 1024$  МэВ). Вклад фона был учтен интегральным методом (вычитанием числа событий, усредненных по соседним массовым интервалам 1002–1010 и 1030–1038 МэВ). Использовался также и другой, дифференциальный метод вычитания фона. Весь

спектр эффективных масс  $M_{K^+K^-\pi^0}$  для реакции (5) разбивался на интервалы с  $\Delta M_{K^+K^-\pi^0} = 60$  МэВ, и для каждого интервала стро-

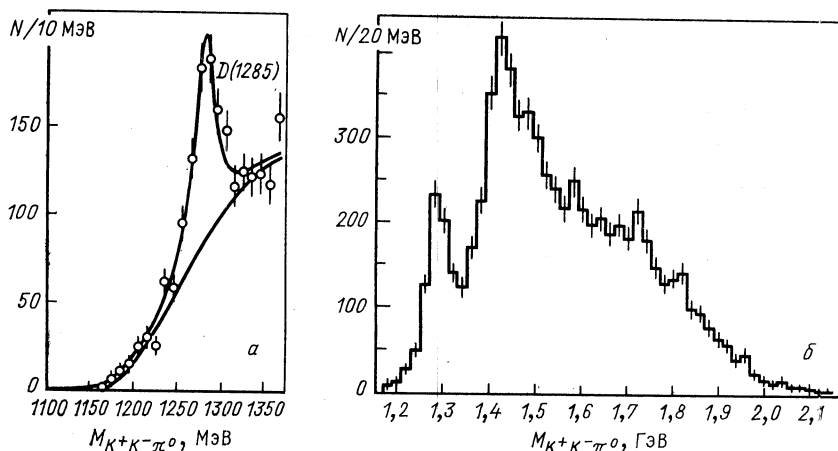


Рис. 4. Исследование реакции  $\pi^-p \rightarrow (K^+K^-\pi^0) n$  при импульсе  $p_\pi = 32,5$  ГэВ: а — спектр эффективных масс  $K^+K^-\pi^0$ -системы в области  $M < 1375$  МэВ. Пик соответствует образованию  $D(1285)$ -мезона. Сечение реакции  $\pi^-p \rightarrow D(1285) n$ ,  $D(1285) \rightarrow K^+K^-\pi^0$  составляет  $30 \cdot 10^{-33}$  см $^2$ ; б — тот же спектр во всей исследованной области масс при  $|t| > 0,1$  ГэВ $^2$

илось распределение по массе  $K^+K^-$ -системы. Число  $\varphi$ -мезонов в данном интервале определялось с помощью процедуры фитирования. Примеры такого фитирования представлены на рис. 6. Дифференциальный метод дал возможность в каждом интервале масс  $\Delta M_{K^+K^-\pi^0}$

определить число событий реакции (1), т. е. построить спектр эффективных масс  $\varphi\pi^0$ -системы. Оба метода (интегральный и дифференциальный) давали идентичные результаты. Эти же методы использовались и при получении всех других распределений для  $\varphi\pi^0$ -системы, которые обсуждаются ниже. Общее число зарегистрированных  $\varphi$ -мезонов в реакции (1) при разных обрезаниях лежит в пределах 350—450 событий.

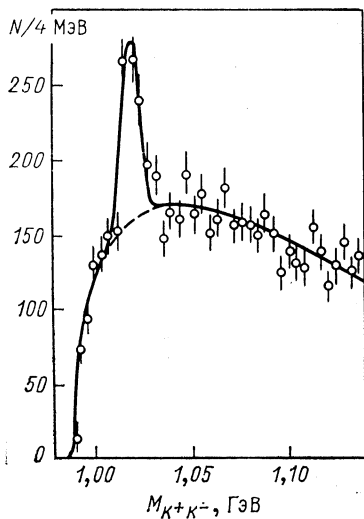


Рис. 5. Спектр эффективных масс  $K^+K^-$ -системы в реакции  $\pi^-p \rightarrow (K^+K^-\pi^0) n$ . Пик соответствует образованию  $\varphi$ -мезона:

Параметры фита (гауссово распределение и гладкий фон):  $M_\varphi = (1019,7 \pm 0,7)$  МэВ;  $\Gamma_\varphi = (10,6 \pm 1,6)$  МэВ;  $N_\varphi = 349 \pm 46$ . Ширина пика соответствует разрешению спектрометра

**1.3. Спектр эффективных масс для  $\varphi\pi^0$ -системы в реакции  $\pi^-p \rightarrow (\varphi\pi^0)n$ .** На рис. 7, а приведен спектр эффективных масс  $\varphi\pi^0$ -системы в реакции (1), полученный после вычитания фона под

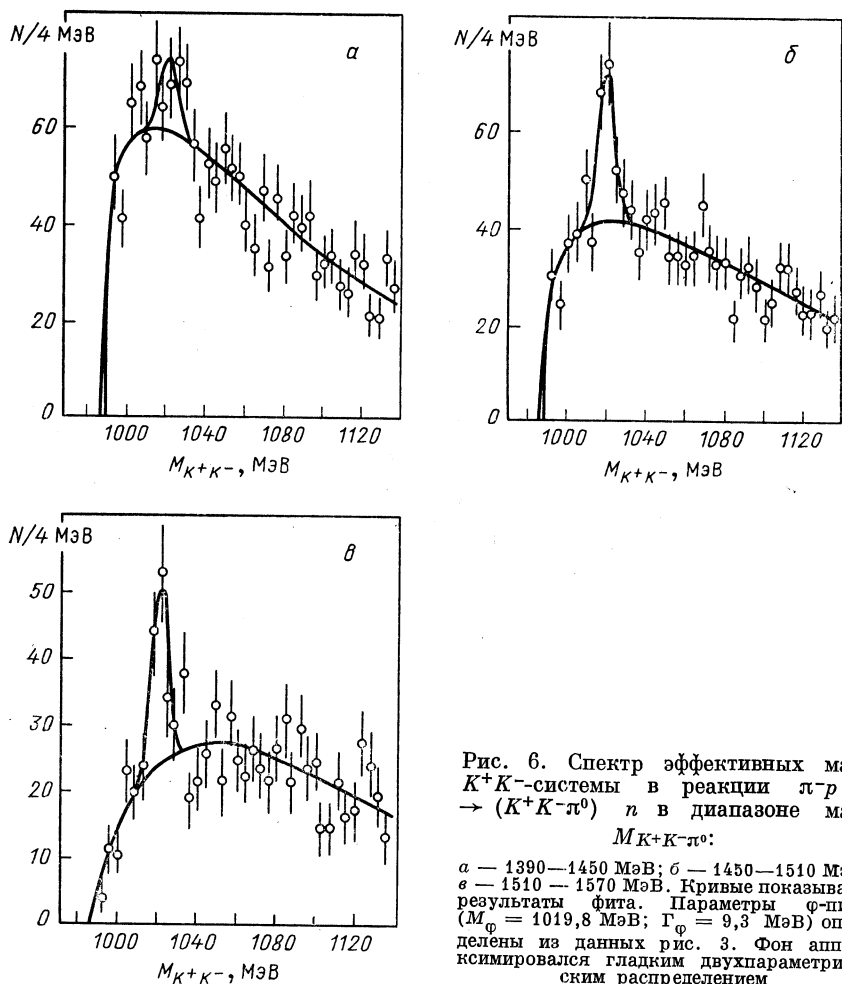


Рис. 6. Спектр эффективных масс  $K^+K^-$ -системы в реакции  $\pi^-p \rightarrow (K^+K^-\pi^0)n$  в диапазоне масс  $M_{K^+K^-\pi^0}$ :

а — 1390—1450 МэВ; б — 1450—1510 МэВ;  
в — 1510—1570 МэВ. Кривые показывают результаты фита. Параметры  $\varphi$ -пика ( $M_\varphi = 1019,8$  МэВ;  $\Gamma_\varphi = 9,3$  МэВ) определены из данных рис. 3. Фон аппроксимировался гладким двухпараметрическим распределением

$\varphi$ -пиком и взвешенный с учетом аксентанса установки (рис. 7, б). В спектре доминирует резонансный пик с параметрами

$$M = (1480 \pm 40) \text{ МэВ и } \Gamma = (130 \pm 60) \text{ МэВ}, \quad (17)$$

получивший название  $C$  (1480)-состояния.

В процессе обработки данных о реакции (5) и при выделении (1) варьировались критерии отбора событий, использовались разные

методы вычитания фона (дифференциальный и интегральный), исследовалось влияние обрезаний по переданному импульсу и ряду других величин, менялся шаг гистограмм и параметры фитирования. При определении эффективности установки делались разные гипотезы о механизме образования  $\phi\pi^0$ -системы. Важно отметить, что эффективность слабо зависела от выбора модели (это связано с сравнительно малым выделением энергии в исследуемой области  $M_{\phi\pi}$ ). Проверка

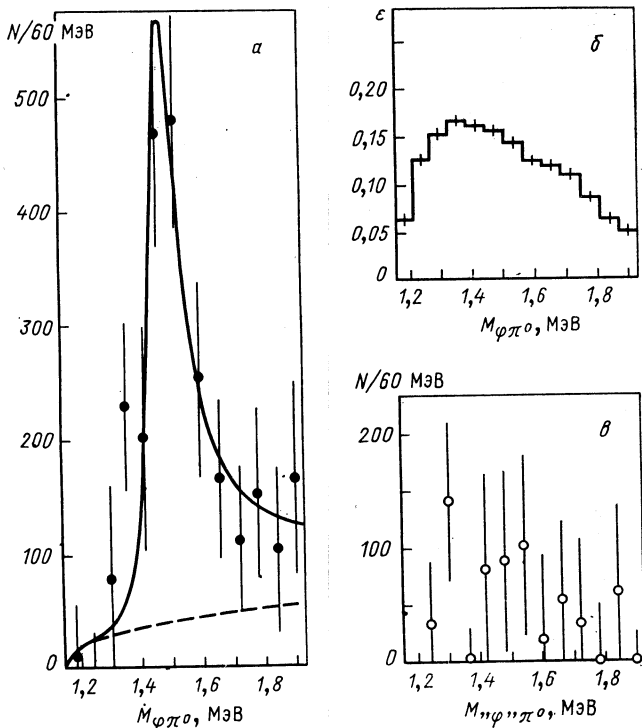


Рис. 7. Исследование реакции  $\pi^-p \rightarrow (\phi\pi^0)n$  при импульсе  $p_\pi = 32,5$  ГэВ: а — спектр эффективных масс  $\phi\pi^0$ -системы, взвешенный с аксептантом установки. Спектр аппроксимировался реалистической формулой Брейта — Вигнера для орбитального момента  $l = 1$  и полиномиальным фоном. Экспериментальное разрешение для  $M_{\phi\pi^0} \sim 1,5$  ГэВ составляет 45 МэВ FWHM; б — аксептант спектрометра для регистрации  $\phi\pi^0$ -систем в реакции (1); в — результаты «фонового эксперимента» для спектра ложных « $\phi$   $\pi^0$ -событий» (см. текст)

методов определения эффективности и абсолютная нормировка сечений осуществлялись по хорошо известным реакциям:  $\pi^-p \rightarrow \eta n$ ;  $\eta \rightarrow \pi^+\pi^-\pi^0$  и  $\pi^-p \rightarrow \omega n$ ;  $\omega \rightarrow \pi^+\pi^-\pi^0$  с близкими кинематическими характеристиками (см. рис. 2).

Спектры масс  $M_{\phi\pi^0}$ , полученные различными методами, оказались очень близкими между собой. Небольшие различия между ними были использованы для оценки систематических погрешностей. Та-

ким образом, полученные результаты [рис. 7, а и параметры (17)] оказываются устойчивыми при значительных изменениях процедуры обработки. Сечение образования  $C$  (1480)-состояния равно

$$\sigma [\pi^- p \rightarrow C(1480) n] BR [C(1480) \rightarrow \varphi \pi^0] = (40 \pm 15) \cdot 10^{-33} \text{ см}^2. \quad (18)$$

Неопределенности в значениях (17) и (18) включают в себя как статистические, так и систематические погрешности.

Проверкой используемой процедуры вычитания фона под  $\varphi$ -пиком при выделении  $\varphi \pi^0$ -системы является отсутствие сигнала от  $D$  (1285)-мезона в спектре масс  $M_{\varphi \pi^0}$ .  $D$  (1285)-мезон хорошо проявляется для событий из области  $\varphi$ -пика  $1016 < M_{K^+ K^-} < 1024$  МэВ [из-за фоновой подложки, так как распад  $D$  (1285)  $\rightarrow \varphi \pi^0$  запрещен по  $C$ -четности и изотопической инвариантности]. Определив подавление сигнала от  $D$  (1285)-мезона в спектре  $\varphi \pi^0$ -системы и использовав верхний предел для отношения  $E(1420)/D(1285)$  в реакции (5), можно показать, что фон от  $E$  (1420)-мезона не превышает нескольких процентов полного числа  $\varphi \pi^0$ -событий.

Исследовано влияние неправильной идентификации  $K$ -мезонов в реакции (5), и прежде всего возможный фон от кинематических «отражений»  $\eta$ ,  $\omega \rightarrow \pi^+ \pi^- \pi^0$ -событий из реакций (12) и (13). Этот фон легко контролировался: делалось предположение, что исследуемые  $K^+ K^- \pi^0$ -событий для области  $\varphi$ -мезона и для фоновых интервалов являются « $\pi^+ \pi^- \pi^0$ -событиями», и строились соответствующие спектры эффективных масс. Проведенное исследование показало, что при использованных при обработке данных критериях отбора фон от кинематических  $\eta$ ,  $\omega$ -отражений очень мал: его вклад в полное число  $\varphi \pi^0$ -событий оказался меньше 2 %.

Для дополнительной глобальной проверки всей процедуры выделения  $\varphi \pi^0$ -системы был проведен специальный «фоновый эксперимент», в котором для имитации  $\varphi$ -мезонов была выбрана область масс  $1044 < M_{K^+ K^-} < 1052$  МэВ (т. е. вне  $\varphi$ -пика), а в качестве «соседних интервалов» — области  $M_{K^+ K^-} 1030—1038$  и  $1058—1066$  МэВ. Определялся ложный массовый спектр « $\varphi$ »  $\pi^0$ -системы с теми же критериями отбора событий и с таким же интегральным методом вычитания фона, который использовался и при выделении истинной  $\varphi \pi^0$ -системы. Этот ложный спектр, взвешенный с акцептантом установки, представлен на рис. 7, в. Полное число событий в ложном спектре не превышало 20 % истинных  $\varphi \pi^0$ -событий. В ложном спектре не наблюдалась резонансных пиков. Фоновый эксперимент подтвердил корректность процедуры обработки и надежность данных о пике  $C$  (1480) в спектре масс  $\varphi \pi^0$ -системы.

**1.4. ОРЕ-доминантность в реакции  $\pi^- p \rightarrow C(1480) n$  и квантовые числа  $C(1480)$ -состояния.** Исследовано распределение событий реакции

$$\pi^- p \rightarrow C(1480) n \quad (19)$$

по квадрату переданного 4-импульса  $t' = t - t_{\min}$ . Эксперименталь-

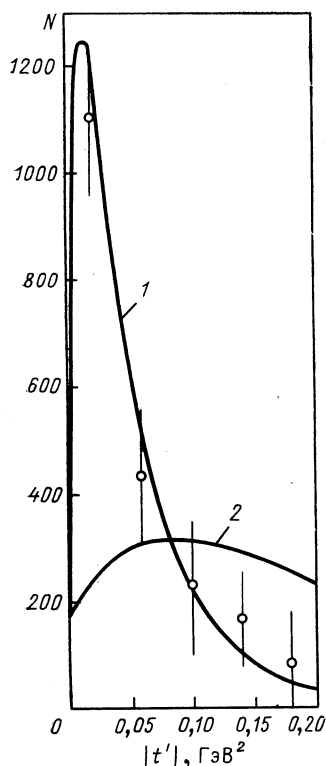
ные данные (рис. 8) хорошо описываются зависимостью для  $\pi$ -обмена

$$dN/d|t'| = \text{const} [ |t'| / (|t'| + m_\pi^2)^2] \exp(bt') \quad (20)$$

со свободным параметром  $b = (13,7 \pm 5) \text{ ГэВ}^{-2}$  [ожидающее значение наклона в (20) для  $\pi$ -обмена составляет  $b \simeq 7 \text{ ГэВ}^{-2}$ ].

Была также сделана попытка описания экспериментального  $t'$ -распределения в предположении об обмене другим ближайшим возможным полюсом  $A_2$ , приводящим к зависимости вида

$$dN/d|t'| = \text{const} (1 + g|t'|) \exp(ct'). \quad (21)$$



Использовались стандартные параметры для  $A_2$ -обмена:  $c = 8,4 \text{ ГэВ}^{-2}$ ;  $g = 31 \text{ ГэВ}^{-2}$ . Однако уровень достоверности этого фита оказался ниже  $10^{-5}$  (рис. 8). Описание экспериментальных данных в виде (21) со свободным значением параметра наклона приводит к  $c = (33 \pm 5) \text{ ГэВ}^{-2}$ , т. е. к неразумно большому значению наклона для реакции с элементарными частицами. Все это позволяет сделать вывод, что доминирующим механизмом в реакции перезарядки с образованием состояния  $C(1480)$  является  $\pi$ -обмен. Так как  $t$ -распределение при  $\pi$ -обмене сконцентрировано в области малых  $|t'|$ , при получении окончательных спектров масс (см. рис. 5 и 7)

Рис. 8. Распределение событий из  $C(1480)$ -пика по квадрату переданного 4-импульса  $t'$ , взвешенное с акселератором установки:

кривая 1 — результат фитирования экспериментальных данных  $t'$ -зависимостью, ожидаемой для  $\pi$ -обмена [см. (20)]; 2 — ожидаемый вид  $t'$ -распределения для  $A_2$ -обмена [см. (21)]

был использован дополнительный критерий отбора  $|t'| < 0,2 \text{ ГэВ}^2$ , несколько уменьшивший фон, хотя и не меняющий существенно полученные результаты.

Распределение по переданному импульсу для реакции (19) подтверждает, в частности, сделанный ранее вывод о малом вкладе в  $\varphi\pi^0$ -систему фона от процессов  $\pi^-p \rightarrow (\eta, \omega) n \rightarrow (\pi^+\pi^-\pi^0) n$ ;  $\pi^-p \rightarrow (D, E) n \rightarrow (K^+K^-\pi^0) n$ . В этих процессах  $\pi$ -обмен запрещен, и их  $t$ -распределения должны быть значительно более широкими, чем для реакции (19) (они имеют вид кривой 2 на рис. 8). С другой стороны, для контрольных фоновых интервалов масс  $M_{K^+K^-}$ , соседних с  $\varphi$ , распределение по  $t$  имеет именно такой пологий характер.

Существование доминирующего механизма  $\pi$ -обмена ограничивает возможные квантовые числа  $C(1480)$ -состояния условием  $P = C = (-1)^J$ . Из схемы распада  $C(1480) \rightarrow \Phi\pi^0$  следует, что это состояние характеризуется изоспином  $I = 1$  и отрицательной зарядовой четностью \*. Поэтому разрешены только нечетные значения для полного углового момента, т. е.  $J^{PC} = 1^{--}, 3^{--}$  и т. д. По-видимому, можно ограничиться рассмотрением первых двух наборов квантовых чисел, так как все известные мезоны с  $J > 3$  имеют массу больше 2 ГэВ.

**1.5. Прямое измерение спина и четности  $C(1480)$ -состояния при анализе угловых распределений каскадных распадов.** Прямые данные о квантовых числах  $C(1480)$ -состояния могут быть получены при анализе каскадных распадов  $C(1480) \rightarrow \Phi\pi^0; \Phi \rightarrow K^+K^-$ . Для анализа распада  $C(1480) \rightarrow \Phi\pi^0$  используется система Готтфрида — Джексона (ГД) для реакции (19) [т. е. система покоя  $C(1480)$ ], а для анализа  $\Phi \rightarrow K^+K^-$  — система покоя  $\Phi$ -мезона. Выбор систем координат: а) система ГД:  $e_z' = p_{\pi'}^- / |p_{\pi'}^-|$ ;  $e_y' = (p_{\pi'}^- \times p_n') / |(p_{\pi'}^- \times p_n')|$ ;  $e_x' = (e_{y'} \times e_z')$ ; б) система покоя  $\Phi$ :  $e_z'' = p_{\pi^0}'' / |p_{\pi^0}''|$ ;  $e_y'' = (p_{\pi^0}'' \times p_{\pi^0}) / |(p_{\pi^0}'' \times p_{\pi^0})|$ ;  $e_x'' = (e_{y''} \times e_z'')$ . Здесь  $p_{\pi'}^-$ ;  $p_{\pi^0}$  — импульс первичного мезона в этих системах;  $p_n'$  — импульс нейтрона отдачи в ГД-системе;  $p_{\pi^0}$  — импульс  $\pi^0$  в системе покоя  $\Phi$ ;  $\theta', \phi'$  — полярный и азимутальный углы  $\pi^0$ -мезона в системе ГД;  $\theta'', \phi''$  — такие же углы для  $K^-$  в системе покоя  $\Phi$ .

Распределение событий по углу  $\theta''$  между  $K^-$ -мезоном и  $\pi^0$ -мезоном в системе покоя  $\Phi$ -мезона определяет спиральность  $\Phi$ -мезона: для  $\lambda_\Phi = \pm 1$  оно должно иметь вид  $dN/d\cos\theta'' = \text{const} \cdot \sin^2\theta''$ , а для  $\lambda_\Phi = 0$   $dN/d\cos\theta'' = \text{const} \cos^2\theta''$ . Экспериментальное распределение по  $\theta''$  практически не искажено аксептантом установки. Оно описывалось в виде  $dN/d|\cos\theta''| = \text{const} [1 - (b/3) + b \cos^2\theta'']$ . Для параметра  $b$  получено значение  $b = -1,36 \pm 0,37$  (рис. 9, a). Это означает, что спиральность  $\Phi$ -мезона совместима со значениями  $\lambda_\Phi = \pm 1$  ( $b = -1,5$ ), и, в частности, надежно исключает спин  $C(1480)$ , равный нулю, для которого  $\lambda_\Phi = 0$  (т. е.  $b = 3$ ). Вывод о ненулевом спине  $C(1480)$ -состояния вытекает из вида распределения  $dN/d|\cos\theta''|$  и не зависит от предположения о доминирующем роли однопионного обмена в реакции (19).

На рис. 9, б представлено распределение событий по азимутальному углу  $\phi''$  для вылета  $K^-$ -мезонов в системе покоя  $\Phi$ -мезона [угол  $\phi''$  в этой системе отсчитывается от плоскости распада  $C(1480) \rightarrow \Phi\pi^0$ ]. Азимутальное распределение имеет вид  $dN/d\phi'' = \text{const} \cdot \sin^2\phi''$ .

Распределения по  $\cos\theta''$  и  $\phi''$  в фоновых массовых интервалах для  $K^+K^-$ -системы (при интегральном методе вычитания фона под

\* Вопрос о возможном нарушении изотопической инвариантности в  $C(1480) \rightarrow \Phi\pi^0$ -распаде будет рассмотрен ниже (см. п. 1.10).

φ-пиком) показывают, что фон носит изотропный характер и не может привести к существенным систематическим искажениям угловых распределений для распадов  $C(1480) \rightarrow \phi\pi^0$ ,  $\phi \rightarrow K^+K^-$ .

Перейдем теперь к полному анализу угловых распределений каскадных распадов в (19), используя при этом формализм спираль-

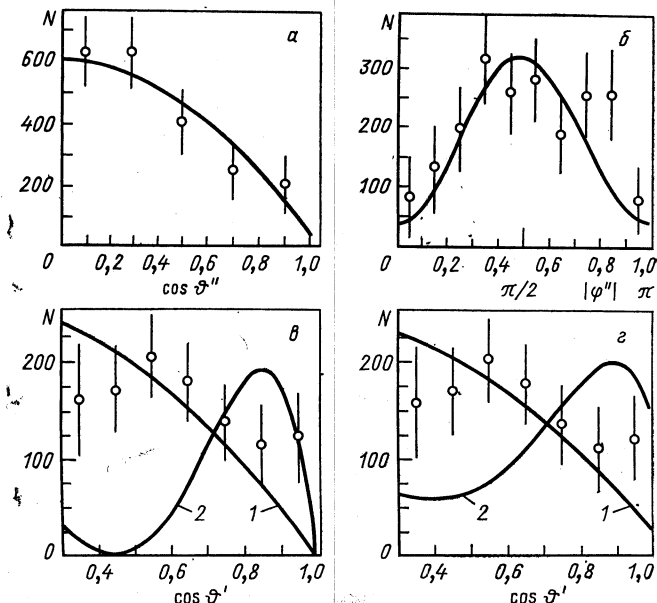


Рис. 9. Угловые распределения взвешенных событий из  $C(1480)$ -пика:

*a* — по  $\cos \vartheta''$  в системе покоя φ-мезона; кривая — результат фитирования зависимостью  $dN/d|\cos \vartheta''| \sim 1 - (b/3) + b \cos^2 \vartheta''$ ;  $b = -1,36 \pm 0,37$ ;  $\vartheta''$  — угол между  $K^-$  и  $\pi^0$  в системе покоя φ-мезона; *б* — по азимутальному углу φ'; кривая — результат фитирования зависимости  $dN/d\varphi' \sim \sin^2 \varphi'$  (уровень достоверности фита — 0,13); *в* — по  $\cos \vartheta'$  [ $\vartheta'$  — угол вылета  $\pi^0$  в системе Готтфрида — Джексона для (19)]; кривая 1 — ожидаемый вид распределения для случая  $JPC = 1^{--}$  [см. (25)]; 2 — для случая  $JPC = 3^{--}$  [см. (26)]; используется простейшая модель ОРЕ, в которой матрица плотности для реакции  $\pi^+p \rightarrow C(1480) n$   $\rho_{00} = 1$ ,  $\rho_{mm'} = 0$  для  $m, m' \neq 0$ ; *г* — тоже распределение, но кривые 1 и 2 соответствуют ожидаемому виду  $dN/d \cos \vartheta'$  для квантовых чисел  $C(1480)$ -мезона  $JPC = 1^{--}$  и  $3^{--}$  в модели ОРЕ Окса — Вагнера [23].

ных амплитуд [20]. Общее выражение для углового распределения вторичных частиц имеет вид (здесь и далее см., например, [21]):

$$W(\vartheta', \varphi'; \vartheta'', \varphi'') = \sum_{\lambda, \lambda'} R(\lambda, \lambda') \Lambda(\lambda, \lambda'); \\ R(\lambda, \lambda') = \sum_{m, m'} \exp[i(m - m')\varphi'] \rho_{mm'} d_{m\lambda}^J(\cos \vartheta') d_{m'\lambda'}^J(\cos \vartheta'') \times \\ \times A(\lambda) A^*(\lambda'); \\ \Lambda(\lambda, \lambda') = \exp[i(\lambda - \lambda')\varphi''] d_{0\lambda}^1(\cos \vartheta'') d_{0\lambda'}^1(\cos \vartheta''). \quad \left. \right\} (22)$$

Здесь  $\lambda, \lambda'$  — спиральность  $\varphi$ -мезона;  $\rho_{mm'}$  — элементы матрицы плотности для образования  $C(1480)$  в (19);  $A(\lambda)$  — спиральная амплитуда распада  $C(1480) \rightarrow \varphi\pi^0$ ;  $J$  — спин, а  $m, m'$  — магнитные квантовые числа  $C(1480)$ .

Для спиральных амплитуд  $C(1480) \rightarrow \varphi\pi^0$ -распада имеет место соотношение симметрии

$$A(\lambda) = \sigma_C \sigma_\varphi \sigma_\pi A(-\lambda) = -\sigma_C A(-\lambda)$$

[здесь  $\sigma = P(-1)^J$  — натуральность мезона;  $\sigma_\varphi = +1$ ;  $\sigma_\pi = -1$ ]. В частности, для натуральной спин-четности  $C(1480)$  (т. е. для  $\sigma_C = 1$ )

$$A(\lambda) = -A(-\lambda)$$

и  $A(0) = 0$ , т. е.  $\varphi$ -мезон имеет спиральность  $\lambda = \pm 1$  (что, как мы видели, согласуется с экспериментом).

Угловые распределения распадных частиц для каскадного процесса  $\pi^- p \rightarrow C(1480) n$ ,  $C(1480) \rightarrow \varphi\pi^0$ ,  $\varphi \rightarrow K^+K^-$  могут быть получены из (22) для определенных представлений о механизме реакции с учетом известных соотношений симметрии для  $d$ -функций Вигнера и элементов матрицы плотности реакции (19)  $\rho_{mm'}$ . В простейшей модели однопионного обмена матрица плотности  $\rho_{mm'}$  имеет вид:  $\rho_{00} = 1$ ,  $\rho_{mm'} = 0$  для  $m, m' \neq 0$ . В этом случае угловые распределения распадных частиц определяются выражением

$$W(\vartheta', \varphi'; \vartheta'', \varphi'') = \text{const} \cdot \sin^2 \varphi'' \sin^2 \vartheta'' [d_{10}^J(\cos \vartheta')]^2. \quad (23)$$

Таким образом, в системе покоя  $\varphi$ -мезона распределения распадных  $K^-$ -мезонов по  $\vartheta''$  и  $\varphi''$  согласуются с экспериментальными данными (рис. 9, а и б) и подтверждают доминирующую роль механизма  $\pi$ -обмена в процессе образования  $C(1480)$ , которая была установлена при изучении соответствующего  $t$ -распределения (рис. 8).

Если в реакции (19) доминирует  $\pi$ -обмен, то, как уже говорилось в п. 1.4, квантовые числа  $C(1480)$  должны быть  $J^{PC} = 1--$ ;  $3--$  и т. д.

Для того чтобы выбрать между этими возможностями, необходимо исследовать распределения продуктов распада  $C(1480) \rightarrow \varphi\pi^0$  по полярному углу  $\vartheta'$  вылета  $\pi^0$ -мезона в системе Готтфрида — Джексона для (19). Согласно (23) это угловое распределение имеет вид

$$dN/d \cos \vartheta' = \text{const} [d_{10}^J(\cos \vartheta')]^2. \quad (24)$$

Отсюда для возможных значений спина  $C(1480)$ -состояния

$$dN/d \cos \vartheta' = \text{const} \sin^2 \vartheta' (J=1) \quad (25)$$

ли

$$dN/d \cos \vartheta' = \text{const} \sin^2 \vartheta' (5 \cos^2 \vartheta' - 1)^2 (J=3). \quad (26)$$

Распределение событий распада  $C(1480) \rightarrow \varphi\pi^0$  по полярному углу  $\vartheta'$  приведено на рис. 9, в. Здесь учтен аксентанс спектрометра, который ограничивает эффективную область углов интервалом  $0,3 < \cos \vartheta' < 1$ .

Как видно из рис. 9, *в*, исследуемое угловое распределение согласуется с квантовыми числами  $C(1480) J^{PC} = 1--$  [т. е. с (25)] и исключает  $J^{PC} = 3--$  (26): соответствующие уровни достоверности равны 0,2 и  $10^{-7}$ . Для более высоких значений спина  $J^{PC} = 5--$  и т. д. уровни достоверности для описания экспериментального углового распределения по  $\cos \vartheta'$  оказываются еще меньшими, чем для  $J^{PC} = 3--$ .

Таким образом, анализ распадных угловых распределений (22) для  $C(1480) \rightarrow \phi \pi^0$ ,  $\phi \rightarrow K^+K^-$  в (19) позволил безмодельным

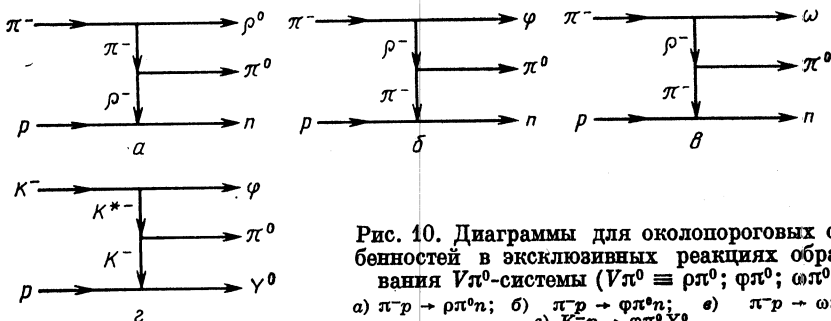


Рис. 10. Диаграммы для околовороговых особенностей в эксклюзивных реакциях образования  $V\pi^0$ -системы ( $V\pi^0 \equiv \rho\pi^0; \phi\pi^0; \omega\pi^0$ ):  
 а)  $\pi^-p \rightarrow \rho\pi^0n$ ; б)  $\pi^-p \rightarrow \phi\pi^0n$ ; в)  $\pi^-p \rightarrow \omega\pi^0n$ ;

г)  $K^-p \rightarrow \phi\pi^0Y^0$

образом исключить значение спина  $C(1480) J = 0$ , а в модели однопионного обмена (ОПЕ) для реакции (19) установить квантовые числа  $C(1480)$ -состояния  $J^{PC} = 1--$ .

Этот вывод оказывается устойчивым и не меняется при модификациях модели ОПЕ, учитывающих эффекты поглощения. В этом случае матрица плотности, описывающая образование  $C(1480)$  в реакции (19), носит более сложный характер, и вид угловых распределений (25) и (26) несколько меняется. Был проведен дополнительный анализ, основанный на модели однопионного обмена с поглощением Окса — Вагнера [23], хорошо согласующейся с экспериментами для всех исследованных ОПЕ-процессов. Как видно из рис. 9, *г*, и в этом случае угловые распределения в системе Готтфрида — Джексона согласуются с квантовыми числами для  $C(1480)$ -состояния  $J^{PC} = 1--$  и исключают  $J^{PC} = 3--$  (уровни достоверности составляют 0,27 и  $3 \cdot 10^{-4}$ ; более подробно см. [22]).

**1.6. Состояние  $C(1480)$  — новый векторный мезон.** Как известно, резонансное поведение физической системы может быть имитировано пороговым дек-эффектом. На рис. 10 показано несколько диаграмм, в которых могут проявляться такие околовороговые особенности. Соответствующие матричные элементы довольно быстро убывают с ростом массы  $m(V\pi)$  вблизи порога, что может приводить к резонансоподобному поведению спектра эффективных масс  $V\pi$ -системы в реакциях  $\pi^-p \rightarrow (V\pi^0)n$  ( $V \equiv \rho^0; \omega; \phi$ ).

Рис. 11. Спектр эффективных масс  $\mu^+\mu^-\pi^0$ -системы в инклюзивной реакции  $\pi^-p \rightarrow (\varphi\pi^0) + X$ ;  $\varphi \rightarrow \mu^+\mu^-$  (после вычитания фона под  $\varphi$ -пиком) при первичном импульсе  $p_{\pi^-} = 50$  ГэВ:

*a* — все события, зарегистрированные спектрометром; *b* — события, для которых суммарный импульс ( $\mu^+\mu^-\pi^0$ )-системы удовлетворяет условию  $p_{\mu^+} + p_{\mu^-} + p_{\pi^0} < 45$  ГэВ

Попытки объяснения спектра масс  $\varphi\pi^0$ -системы в реакции (1) с помощью порогового дек-эффекта показали, что вероятность такого описания пренебрежимо мала:  $C(1480)$ -пик выделялся над «теоретическим фоном» от дек-эффекта [24], нормированным вне этого пика (т. е. вне двух каналов с максимальным числом событий на рис. 7, *a*), более чем на 10 стандартных отклонений. Другие оценки, связанные со сравнительным анализом  $\varphi\pi^0$ - и  $\omega\pi^0$ -состояний с близким энерговыделением  $Q$  в реакциях  $\pi^-p \rightarrow \varphi\pi^0n$  и  $\pi^-p \rightarrow \omega\pi^0n$ , показали, что с учетом OZI-запрета на образование нерезонансной  $\varphi\pi^0$ -системы вклад дек-эффекта в сечение (19) не превышает по порядку  $10^{-33}$  см $^2$ .

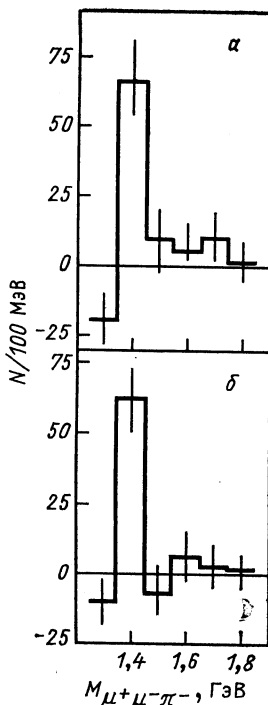
Таким образом,  $\varphi\pi^0$ -состояние с массой 1480 МэВ имеет квантовые числа  $I = 1$  и  $J^{PC} = 1^{--}$ . Оно не может быть объяснено пороговыми эффектами и является новым резонансом —  $C(1480)$ -мезоном. Выводы о спине и четности  $C(1480)$ -мезона следуют из данных о доминирующей роли  $\pi$ -обмена в реакции (19) и из анализа угловых распределений для каскадных распадов  $C(1480) \rightarrow \varphi\pi^0$  и  $\varphi \rightarrow K^+K^-$  в этой реакции.

Существование резонанса в  $\varphi\pi$ -системе в исследуемой области масс подтверждается также данными эксперимента на спектрометре СИГМА [25], где в инклюзивном процессе  $\pi^-p \rightarrow (\varphi\pi^0)X$ ;  $\varphi \rightarrow \mu^+\mu^-$  обнаружен пик в спектре масс  $\varphi\pi$ -системы с параметрами, близкими к  $C(1480)$ -мезону (рис. 11).

1.7. О распадах  $C(1480) \rightarrow \varphi\pi^0$  и  $C(1480) \rightarrow \omega\pi^0$ . Очень важной величиной, характеризующей кварковую структуру  $C(1480)$ -мезона, является отношение вероятностей распадов

$$R_C = BR[C(1480) \rightarrow \varphi\pi^0]/BR[C(1480) \rightarrow \omega\pi^0], \quad (27)$$

т. е. процессов, запрещенных и разрешенных правилом OZI для мезонов, состоящих из  $u$ - и  $d$ -кварков. Для определения  $R_C$  в работах [2—4] были, дополнительно к (18), использованы данные по реакции



полученные при импульсе  $p_{\pi^-} = 38$  ГэВ в опытах на спектрометре ГАМС-2000 [26]. В спектре масс  $\omega\pi^0$  в (28) зарегистрированы пики от мезонов  $B$  (1235)  $\rightarrow \omega\pi^0$  и  $g$  (1680)  $\rightarrow \omega\pi^0$  и не наблюдается статистически-значимых структур в области 1,5 ГэВ. Отсюда получено ограничение

$$R_C > 0,5 \text{ (95 \% -ная достоверность).} \quad (29)$$

Аномальный характер этого отношения для  $C$ (1480)-мезона хорошо виден из сравнения с данными по аналогичным распадам известного «обычного» мезона  $B$  (1235) ( $J^{PC} = 1^{+-}$ ):

$$R_B = BR[B(1235) \rightarrow \varphi\pi^0]/BR[B(1235) \rightarrow \omega\pi^0] < 5 \cdot 10^{-3} \quad (30)$$

Верхний предел для  $R_B$  (30) получен из сравнения данных по спектрам эффективных масс  $\varphi\pi^0$  в реакции (1) («Лептон-Ф») и  $\omega\pi^0$  в реакции (28) (ГАМС-2000) в области масс  $B$  (1235)-мезона [5].

При анализе  $\varphi\pi^0$ -системы для подавления фона от (19) использовался отбор по переданному импульсу  $|t'| > 0,1$  ГэВ<sup>2</sup> («антиОРЕ-обрзание»). Этот отбор уменьшал эффективность регистрации  $B$  (1235)-мезонов не более чем на 25 % [для  $B$  (1235)-мезонов с квантовыми числами  $J^{PC} = 1^{+-}$  π-обмен запрещен] и в то же время подавлял реакцию (19) с  $C$  (1480)-мезонами приблизительно в 5 раз (см. рис. 8). После введения такого отбора было получено ограничение

$$\sigma[\pi^- p \rightarrow B(1235)^0 n] BR[B(1235) \rightarrow \varphi\pi^0] < 5 \cdot 10^{-33} \text{ см}^2$$

(95 %-ная достоверность).

Эти данные вместе с оценками сечения  $\sigma[\pi^- p \rightarrow B(1235) n] \times BR[B(1235) \rightarrow \omega\pi^0] \simeq 1 \cdot 10^{-30} \text{ см}^2$  (из опытов на установке ГАМС-2000) и привели к верхнему ограничению (30) для отношения  $R_B$ , которое оказалось по крайней мере на два порядка меньшее отношения  $R_C$  [см. (29)].

**1.8. Поиски других каналов распада  $C$  (1480)-мезона.** При анализе реакции (5) в области  $|t'| < 0,1$  ГэВ<sup>2</sup> проводились поиски распадов  $C$ -мезонов по другим каналам, не связанным с образованием φ-мезонов:  $C(1480) \rightarrow K^*\bar{K}$  и  $C(1480) \rightarrow K^+K^-\pi^0$ . Получены верхние ограничения для относительных вероятностей этих распадов

$$BR[C(1480) \rightarrow K^+K^- + K^*K^+]/BR[C(1480) \rightarrow \varphi\pi^0] < 0,8; \quad (31)$$

$$BR[C(1480) \rightarrow K^+K^-\pi^0]/BR[C(1480) \rightarrow \varphi\pi^0] < 1,5 \quad (32)$$

(95 %-ная достоверность).

На основании изотопической инвариантности из (31) можно получить

$$\left. \begin{aligned} BR[C(1480) \rightarrow K^+K^- + K^*K^+]/BR[C(1480) \rightarrow \varphi\pi^0] &< 2,4; \\ BR[C(1480) \rightarrow K^*\bar{K} + \bar{K}^*K]/BR[C(1480) \rightarrow \varphi\pi^0] &< 4,8 \end{aligned} \right\} \quad (33)$$

(95 %-ная достоверность).

В предположении модели ОРЕ для реакции (19), используя (18), можно показать, что

$$BR [C(1480) \rightarrow \pi^+ \pi^-] BR [C(1480) \rightarrow \varphi \pi^0] \simeq (1 - 2) \cdot 10^{-3} \quad (34)$$

(С. Н. Груддин, А. Ю. Ходжамирян, частные сообщения). Действительно, из диаграммы рис. 12 получено сечение ОРЕ-процесса

$$\sigma [\pi^- p \rightarrow C(1480) n] = \int dt' \frac{\sum |N[C(1480) \rightarrow \pi^+ \pi^-]|^2 g_{\pi NN}^2}{(t' - m_\pi^2)^2} |F_\pi(t')|^2.$$

Формфактор  $F_\pi(t')$  определяется «сходом» виртуального пиона с массовой поверхности и может быть оценен из данных по образованию  $\rho$ -мезона в реакции  $\pi^- p \rightarrow \rho n$  [при первичном импульсе  $p_{\pi^-} = 32,5$  ГэВ формфактор  $F_\pi(t')$  слабо зависит от различия в массах  $\rho$  (770)- и  $C(1480)$ -мезонов]. Квадрат матричного элемента перехода  $C(1480) \rightarrow \pi^+ \pi^-$  (верхняя вершина в диаграмме рис. 12), просуммированный по спиновым состояниям  $C(1480)$  ( $\sum |N[C(1480) \rightarrow \pi^+ \pi^-]|^2$ ) определяет и ширину распада

$$\Gamma [C(1480) \rightarrow \pi^+ \pi^-] = \Gamma_c BR [C(1480) \rightarrow \pi^+ \pi^-] = \frac{q_c (\sum |N[C(1480) \rightarrow \pi^+ \pi^-]|^2)}{8\pi M_C^2 (2J_C + 1)}.$$

Сравнивая процессы ОРЕ-образования и дипионных распадов векторных  $C(1480)$ - и  $\rho$ -мезонов, легко найти соотношение для распадных ширин  $C(1480)$ -мезона:

$$BR [C(1480) \rightarrow \varphi \pi^0] BR [C(1480) \rightarrow \pi^+ \pi^-] = \left[ \frac{\Gamma_\rho q_c m_\rho^2}{\Gamma_c q_\rho M_C^2} \right] \times \frac{\sigma [\pi^- p \rightarrow C(1480) n] BR [C(1480) \rightarrow \varphi \pi^0]}{\sigma [\pi^- p \rightarrow \rho n]} \quad (35)$$

Здесь  $M_C$ ;  $\Gamma_C$  — масса и полная ширина  $C(1480)$ -мезона;  $q_c$  — импульс  $\pi$ -мезона в распаде  $C(1480) \rightarrow \pi^+ \pi^-$  [в системе покоя  $C(1480)$ -мезона] и т. д. Используя в (35) характеристики  $C(1480)$ -мезона (17) и (18), табличные параметры  $\rho$ -мезона и значение сечения  $\sigma [\pi^- p \rightarrow \rho n] |_{p_{\pi^-}=32,5 \text{ ГэВ}} \simeq 13 \cdot 10^{-30} \text{ см}^2$  (экстраполяция из области меньших энергий), можно получить оценку для распадных ширин (34), приведенную выше.

**1.9. Поиски образования  $C(1480)$ -мезонов в  $K^- p$ -взаимодействиях.** Как уже говорилось в п. 1.1, в опытах на «Леп-

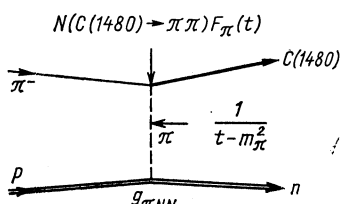


Рис. 12. Диаграмма образования  $C(1480)$ -мезона в реакции (19) в механизме ОРЕ

тон-Ф» через мишень установки был пропущен достаточно интенсивный эффективный поток  $K^-$ -мезонов ( $0.8 \cdot 10^{10}$  частиц) и зарегистрировано  $3 \cdot 10^3$  событий реакции  $K^-N \rightarrow (K^+K^-\pi^0) Y$ .

Было также исследовано образование ф $\pi^0$ -системы в  $K^-p$ -взаимодействиях. Как видно из рис. 3, на котором приводится спектр эффективных масс  $K^+K^-$ -системы в реакции (8), вклад про-

цесса  $K^-N \rightarrow (\phi\pi^0) Y$  проявляется здесь очень четко. Однако спектр эффективных масс ф $\pi^0$ -системы в (9) (рис. 13) сильно отличается от аналогичного спектра для реакции (1), и сигнала от  $C(1480)$ -мезона здесь не найдено. Определена верхняя граница для отношения сечений

$$\sigma [K^-N \rightarrow C(1480) Y] / \sigma [\pi^-p \rightarrow C(1480) n] < 12 \quad (36)$$

(95%-ная достоверность). Это отношение на два порядка ниже отношения сечений для аналогичных двухчастичных эксклюзивных процессов образования ф-мезона в  $K^-N$ - и  $\pi^-p$ -взаимодействиях при той же энергии

**1.10. О природе  $C(1480)$ -мезона.** Существуют в принципе три возможности для интерпретации данных [1—4] о векторном  $C(1480)$ -мезоне.

Рис. 13. Спектр эффективных масс ф $\pi^0$ -системы в реакции  $K^-N \rightarrow (\phi\pi^0) Y$ , взвешенный с аксептансом установки

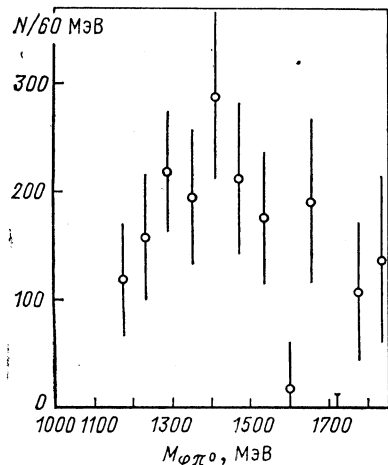
1.  $C(1480)$  имеет обычную кварковую структуру мезона с изотопическим спином  $I = 1 : |C(1480)\rangle = |\frac{1}{\sqrt{2}}(\bar{u}u - \bar{d}d)\rangle$ . При этом в эксперименте наблюдается редкий распад  $C(1480) \rightarrow \phi\pi^0$ , сильно подавленный правилом OZI и идущий с очень малой вероятностью (< 1 % или даже  $\ll 1\%$ ).

2.  $C(1480)$ -мезон является изотопически-скалярной частицей типа  $\phi'$  с кварковым составом  $|C(1480)\rangle_{I=0} = |\bar{s}s\rangle$  (со скрытой странностью), а так как состояние ф $\pi^0$  характеризуется изоспином  $I = 1$ , то распад  $C(1480) \rightarrow \phi\pi^0$  обусловлен нарушением изотопической инвариантности.

3.  $C(1480)$ -мезон — это экзотическое состояние, т. е. много夸ковый или гибридный мезон. Такой адрон может быть сильно связан с ф $\pi^0$ -системой [19].

Рассмотрим теперь эти три возможности последовательно.

**1.10.1. Может ли  $C(1480)$ -мезон быть обычным векторным мезоном типа  $\rho'$ ?** Если  $C(1480)$ -мезон имеет кварковую структуру  $(\bar{u}u - \bar{d}d)/\sqrt{2}$  и в опытах [1—4] наблюдается редкий OZI подавленный



распад  $C(1480) \rightarrow \varphi\pi^0$ , то представляется довольно естественной попытка отождествить его с уже известным векторным  $\rho'$ -мезоном. Хотя эти состояния и различаются по табличным значениям масс и ширин, следует иметь в виду, что данные по  $\rho'$ -мезону в настоящее время являются крайне противоречивыми, причем значения массы и ширины этого состояния в разных работах лежат в пределах  $1430 < m(\rho') < 1780$  МэВ и  $100 < \Gamma(\rho') < 850$  МэВ [27]. Повидимому, все эти результаты трудно объяснить существованием одного  $\rho'$ -мезона. Анализ, проведенный в [28], приводит к гипотезе о возможном существовании двух таких состояний с  $m(\rho_1) = (1465 \pm 25)$  МэВ,  $\Gamma(\rho_1) = (235 \pm 25)$  МэВ и  $m(\rho_2) = (1700 \pm 25)$  МэВ,  $\Gamma(\rho_2) = (220 \pm 25)$  МэВ. Можно предположить, что  $C(1480) \rightarrow \varphi\pi^0$  — это новый редкий распад векторного  $\rho'_1$ -мезона. Тогда опыты [1—4] следовало бы рассматривать как первое прямое экспериментальное обнаружение  $\rho'_1$ -мезона и определение его параметров (работа [28] появилась позднее и основана не на прямых измерениях, а на анализе совокупности данных для ряда реакций, в которых наблюдалась  $\rho'$ -мезоны).

Подобная интерпретация природы  $C(1480)$ -состояния содержится, например, в работах [29, 30], где для  $\rho'$ -мезона выбирались параметры  $m(\rho')$  и  $\Gamma(\rho')$ , близкие к  $C(1480)$  или  $\rho'_1$ , а распад  $\rho' \rightarrow \varphi\pi^0$  с относительной вероятностью  $\simeq 0,005$  возникал при динамическом нарушении правила OZI за счет промежуточных процессов  $\rho' \rightarrow K^* \bar{K} + K^* \bar{K} \rightarrow \varphi\pi^0$ . Как показано в [29], такая модель с точностью до фактора  $\sim 2$  позволяет описать данные по реакции (1) и по величине сечения (18).

Однако как в этой модели, так и при любом другом известном механизме нарушения OZI для  $|C\rangle \equiv |(u\bar{u} - d\bar{d})/\sqrt{2}\rangle$  возникает существенная трудность. Хотя из-за малой вероятности OZI-запрещенных процессов [т. е. из-за малости  $BR(C(1480) \rightarrow \varphi\pi^0)$ ] не представляет труда объяснить малое значение  $\sigma[\pi^- p \rightarrow C(1480) n] \times BR[C(1480) \rightarrow \varphi\pi^0]$  [см. (18)], для полного описания экспериментальных данных [1—4] необходимо объяснить и аномально большое значение  $R_C$  [см. (29)]. В самом деле, именно отношение вероятностей процессов с  $\varphi$ - и  $\omega$ -мезонами используется для анализа степени выполнения правила OZI для частиц с легкими кварками. При этом из данных для ряда известных процессов [сравнение реакций  $\pi^- p \rightarrow \varphi n$  и  $\pi^- p \rightarrow \omega n$  (см. разд. 2), ширины распадов  $\varphi \rightarrow \pi^0 \gamma$  и  $\omega \rightarrow \pi^0 \gamma$ ,  $\varphi \rightarrow 3\pi$  и  $\omega \rightarrow 3\pi$ ] можно оценить, что для обычных  $\frac{1}{\sqrt{2}}(u\bar{u} - d\bar{d})$ -векторных

мезонов отношение  $R_C$  должно быть порядка  $(1/200) \div (1/400)$ . Такая оценка на два порядка расходится с экспериментальным ограничением  $R_C > 0,5$ . А между тем, согласно правилам сумм КХД, именно в векторном канале OZI-подавление должно выполняться особенно эффективно [31]. Поэтому большое значение  $R_C$  и привело к экзотической интерпретации  $C(1480)$ -мезона в работах [1—4].

В качестве дополнительной иллюстрации ожидаемой малости  $R_C$  для изовекторных мезонов обычного  $qq$ -типа сравним между собой отношения вероятностей распадных каналов  $\varphi\pi^0$  и  $\omega\pi^0$  для  $C(1480)$ - и  $B(1235)$ -мезонов:  $R_C > 0,5$  и  $R_B < 5 \cdot 10^{-3}$ . Для хорошо известного  $B(1235)$ -мезона  $[I^G = 1^+; J^{PC} = 1^{+-}]$ ; кварковая структура  $\frac{1}{\sqrt{2}}(u\bar{u} - d\bar{d})$  распады  $B(1235) \rightarrow \omega\pi^0$  и  $B(1235) \rightarrow \varphi\pi^0$  происходят в основном в состояниях с  $l = 0$ . Поэтому отношение  $R_B$  может быть представлено в виде

$$R_B = [p_\varphi^{(B)} / p_\omega^{(B)}] [g_{B\varphi\pi^0}^2 / g_{B\omega\pi^0}^2] \leq 5 \cdot 10^{-3}$$

или

$$[g_{B\varphi\pi^0}^2 / g_{B\omega\pi^0}^2] \leq 1,2 \cdot 10^{-2}.$$

Здесь  $p_\varphi^{(B)}$ ,  $p_\omega^{(B)}$  — импульсы распадных  $\varphi$ - и  $\omega$ -мезонов в системе покоя  $B(1235)$ -мезона;  $g_{B\varphi\pi^0}$  и т. д. — соответствующие константы взаимодействия. Так как  $\varphi\pi^0$ - и  $\omega\pi^0$ -распады векторных  $C(1480)$ -мезонов происходят в состояниях с  $l = 1$ , то

$$R_C = [p_\varphi^{(C)} / p_\omega^{(C)}]^3 [g_{C\varphi\pi^0}^2 / g_{C\omega\pi^0}^2] = 0,4 [g_{C\varphi\pi^0}^2 / g_{C\omega\pi^0}^2].$$

Если  $C(1480)$  был бы мезоном обычного  $qq$  типа, то в естественном предположении

$$[g_{B\varphi\pi^0}^2 / g_{B\omega\pi^0}^2] \simeq [g_{OZI}^2 \text{ запр}; z_g / g_{OZI}^2 \text{ разр}] \simeq [g_{C\varphi\pi^0}^2 / g_{C\omega\pi^0}^2] \leq 10^{-2}$$

(в обоих случаях OZI — запрещенный распад идет через трехглюонную вершину) мы опять получим очень низкую ожидаемую границу  $R_C < 5 \cdot 10^{-3}$ , резко расходящуюся с экспериментом.

Важно подчеркнуть, что модель [29, 30] также не может объяснить большое значение  $R_C$ . Оценка  $BR(\rho' \rightarrow \varphi\pi^0) \simeq 0,005$  в этой модели основана на большом табличном значении  $BR(\rho' \rightarrow \bar{K}^* K + K^* \bar{K}) = 0,09 \pm 0,02$  [27] (в дальнейшем будем обозначать этот распад более кратко:  $\rho' \rightarrow \bar{K}^* K$ ). Тогда в соответствии с  $SU(3)$ -симметрией, в кварковой модели распад  $\rho' \rightarrow \omega\pi^0$  должен был бы иметь вероятность  $BR(\rho' \rightarrow \omega\pi^0) \simeq 4 BR(\rho' \rightarrow \bar{K}^* K) \sim 0,4$  [30], т. е. и в этом механизме естественно ожидать малое отношение  $R_{\rho'} \sim (\frac{1}{50}) \div (\frac{1}{100})$ . Нарушение  $SU(3)$ -симметрии (подавление процессов с  $s$ -кварками) может только увеличить ожидаемое значение  $BR(\rho' \rightarrow \omega\pi^0)$ , т. е. еще уменьшить предсказание для  $R_{\rho'}$ . В то же время из ряда экспериментальных данных следует, что  $BR(\rho' \rightarrow \omega\pi^0) < 0,01 \div 0,03$  (см. обсуждение в [30]). Тогда если  $BR(\rho' \rightarrow \varphi\pi^0) \simeq 0,005$ , то должно быть  $R_{\rho'} > 0,2 \div 0,5$ , что трудно совместить со свойствами  $\rho'$ -мезона, как обычного  $qq$ -состояния. В работе [30] малое значение  $BR(\rho' \rightarrow \omega\pi^0)$  рассматривается, как какая-то загадка  $\rho'$ -мезона.

Однако, как показано в [6], для модели [29, 30] со всеми ее достижениями и загадками сейчас просто нет веских экспериментальных оснований. Краеугольным камнем для этой модели является большое значение парциальной вероятности  $BR(\rho' \rightarrow \bar{K}^* K) = 0,09 \pm 0,02$ , приводимое в таблице PDG [27]. Рассмотрим поэтому, насколько надежно установлено данное значение. Оно основано на одном эксперименте на встречных  $e^+e^-$ -пучках [32, 33], где имеется трудная проблема разделения вкладов  $e^+e^- \rightarrow \rho' \rightarrow \bar{K}^* K$  и  $e^+e^- \rightarrow \varphi' \rightarrow \bar{K}^* K$  (причем последний процесс доминирует). Суммарная статистика  $\bar{K}^* K$ -событий для обоих процессов не превышает 150, а проведенный анализ для оценки парциальных сечений — модельно-зависимый и не учитывает неопределенностей в параметрах  $\rho'$ -состояния. Кроме того, даже в рамках этого эксперимента табличное значение  $BR(\rho' \rightarrow \bar{K}^* K)$  в результате недоразумения сильно завышено. На самом деле должно быть  $BR(\rho' \rightarrow \bar{K}^* K) = 0,045 \pm 0,010$ , а при другой нормировке даже  $0,025 \pm 0,007$ \*. Все это показывает, что в настоящее время существует лишь верхняя граница для этой вероятности  $BR(\rho' \rightarrow \bar{K}^* K) < 0,05$ . Поэтому сейчас нет никаких серьезных оснований говорить о загадочной малости распада  $\rho' \rightarrow \omega\pi^0$ , как это делается в [30], а наоборот, верхний предел для соответствующей вероятности может быть использован в схеме  $SU(3)$  для более чувствительной оценки верхней границы  $BR(\rho' \rightarrow \bar{K}^* K) \simeq \frac{1}{4} BR(\rho' \rightarrow \omega\pi^0) \lesssim 0,0025 \div 0,01$ . Очевидно, что столь малое значение  $BR(\rho' \rightarrow \bar{K}^* K)$  (которое, конечно, надо еще подтвердить в прямых опытах) полностью исключает объяснение  $\varphi\pi^0$ -пика в (1) с параметрами (17) и (18) через механизм [29, 30], связанный с  $\rho'$ -мезоном.

Резюмируя этот раздел, следует подчеркнуть, что в настоящее время не существует объяснения для большого значения  $R_C > 0,5$  у  $C(1480)$ -мезона, если считать, что этот адрон является обычным состоянием с кварковой структурой  $\frac{1}{\sqrt{2}}(u\bar{u} - d\bar{d})$ . Поэтому такая гипотеза представляется маловероятной.

**1.10.2 Может ли  $C(1480)$  быть мезоном типа  $\varphi'$ ?** Предположим теперь, что  $C(1480)$  — это изоскалярный мезон со скрытой странностью типа  $\varphi'$ , и оценим вероятность распада  $|C(1480)\rangle|_{I=0} = |ss\rangle \rightarrow \varphi\pi^0$  (с несохранением изоспина).

В качестве механизма, приводящего к максимальному нарушению изотопической инвариантности в  $C(1480)_{I=0} \rightarrow \varphi\pi^0$ -распаде, следует рассмотреть  $\pi^0$  —  $\eta$ -смешивание. Оценка вклада такого механизма

---

\* Следует отметить, что значение  $BR(\rho' \rightarrow \bar{K}^* K)$  не приводится в оригинальных работах. Оно получено в таблице [27] при определенной нормировке, но основывается почему-то на предварительном результате [32]. Исходные цифры в последней работе по  $e^+e^- \rightarrow \rho' \rightarrow \bar{K}^* K$  [33] оказываются в 2 раза ниже, чем эти предварительные результаты.

может быть сделана из отношения вероятностей  $\Gamma(\eta' \rightarrow \pi^0\pi\pi)/\Gamma(\eta' \rightarrow \eta\pi\pi)$  (т. е. из распадов, идущих с несохранением и сохранением изоспина) с помощью метода, развитого в [34]. Как следует из расчетов [34],

$$r_{+-} = \Gamma(\eta' \rightarrow \pi^0\pi^+\pi^-)/\Gamma(\eta' \rightarrow \eta\pi^+\pi^-) = 16,8N = 16,8 \left[ \frac{3}{16} \left( \frac{m_d - m_u}{m_s} \right)^2 \right].$$

Здесь первый множитель 16,8 обусловлен фазовыми объемами, а второй множитель  $N = \frac{3}{16} \left[ \frac{m_d - m_u}{m_s} \right]^2$  — фактор подавления из-за  $\pi^0$  —  $\eta$ -смешивания;  $m_d$ ;  $m_u$ ;  $m_s$  — массы токовых夸克ов.

Для оценки  $N$  можно использовать два способа.

а. Теоретическая оценка  $(m_d - m_u)/m_s$  из ширины  $\omega \rightarrow \pi^+\pi^-$  и из других данных (см., например, [35]):  $N_{\text{теор}} \ll 10^{-4}$ .

б. Экспериментальная оценка из данных по распадам  $\eta' \rightarrow 3\pi$ . К сожалению, информация о ширине  $\Gamma(\eta' \rightarrow \pi^0\pi^+\pi^-)$  пока отсутствует. Однако обнаружен распад  $\eta' \rightarrow 3\pi^0$ , также идущий с несохранением изоспина, и измерена величина  $r_{00} = \Gamma(\eta' \rightarrow 3\pi^0)/(\Gamma(\eta' \rightarrow \eta\pi^0\pi^0)) = 0,0075 \pm 0,0018$  [36]. Так как  $r_{+-} \sim r_{00}$ , то  $N_{\text{эксп}} = r_{+-}/16,8 \sim r_{00}/16,8 = 5 \cdot 10^{-4}$ .

Таким образом, фактор подавления распада  $C(1480)|_{I=0} \rightarrow \varphi\pi^0$  из-за нарушения изотопической инвариантности в механизме  $\eta\pi^0$ -смешивания должен быть  $\sim 5 \cdot 10^{-4}$ . Поэтому можно ожидать, что  $BR[C(1480)|_{I=0} \rightarrow \varphi\pi^0] < 5 \cdot 10^{-4}$  (или даже  $\ll 5 \cdot 10^{-4}$ ), так как это только один из возможных каналов распада  $C(1480)|_{I=0}$ . Парциальная ширина  $\Gamma(C(1480)|_{I=0} \rightarrow \varphi\pi^0) < 0,1$  МэВ (для  $G_C = 130$  МэВ). Если же распад  $C(1480)|_{I=0} \rightarrow \varphi\pi^0$  обусловлен электромагнитными процессами второго порядка, соответствующая ширина лежит значительно ниже этой границы. Следует отметить, что вообще для всех известных распадов, обусловленных нарушением изотопической инвариантности, парциальные ширины очень малы. Например,  $\Gamma(\omega \rightarrow \pi^+\pi^-) = 0,17$  МэВ (в этом случае нарушение изотопической инвариантности аномально велико из-за близости масс  $m_\omega$  и  $m_\eta$ );  $\Gamma(\eta' \rightarrow 3\pi) \simeq 0,4$  кэВ.

Для  $BR[C(1480)|_{I=0} \rightarrow \varphi\pi^0] < 5 \cdot 10^{-4}$  и сечения подавленной правилом OZI реакции  $\sigma[\pi^-p \rightarrow C(1480)|_{I=0}\pi^0] < 1 \cdot 10^{-31}$  см<sup>2</sup> можно окончательно получить верхнюю оценку для вероятности рассматриваемого процесса  $\sigma[\pi^-p \rightarrow (C(1480)|_{I=0} \equiv \varphi')n] BR[C(1480)|_{I=0} \rightarrow \varphi\pi^0] < 5 \cdot 10^{-35}$  см<sup>2</sup>. Это на три порядка расходится с экспериментальным значением сечения  $\sigma[\pi^-p \rightarrow C(1480)n] BR[C(1480) \rightarrow \varphi\pi^0] = (40 \pm 15) \cdot 10^{-33}$  см<sup>2</sup>.

Кроме того, реакция  $\pi^-p \rightarrow [C(1480)|_{I=0} \equiv \varphi']n$  не только подавлена по OZI, но и запрещена для  $\pi$ -обмена по  $G$ -четности, так как  $G(\eta\pi) = +1$ , а  $G(\varphi') = C_\varphi (-1)^I = -(-1)^0 = -1$ . Это также противоречит эксперименту.

Итак, интерпретация экспериментальных данных [1—4] в модели обычного  $ss$ -адрона типа  $\varphi'$  со скрытой странностью ( $|C(1480)\rangle_{I=0} \simeq$

$\simeq |\bar{s}\bar{s}\rangle$ ) с последующим распадом  $C(1480)_{I=0} \rightarrow \phi\pi^0$  с несохранением изоспина оказывается полностью исключенной.

1.10.3. Является ли  $C(1480)$ -мезон экзотическим состоянием? Последовательное объяснение всех характеристик  $C(1480)$ -мезона и, прежде всего, большого значения  $R_C$  [см. (29)] может быть получено при интерпретации его как криптэкзотического четырехкваркового состояния с кварковой структурой

$$|C(1480)\rangle = \left| \frac{1}{\sqrt{2}} (u\bar{u} - d\bar{d}) s\bar{s} \right\rangle. \quad (37)$$

В этом случае естественным образом объясняется изотопический спин этого состояния  $I = 1$  и его сильная связь с  $\phi\pi^0$ -системой\*. Впервые возможности поисков четырехкварковых векторных состояний в  $\phi\pi$ -системе отмечались в [19]. Существование резонансного  $\phi\pi$ -состояния предсказывалось также из феноменологических соображений [37].

Другое возможное объяснение природы  $C(1480)$ -мезона основано на модели гибридных состояний (мейктона) [38—40]. В этой схеме

$$|C(1480)\rangle = \left| \frac{1}{\sqrt{2}} (u\bar{u} - d\bar{d}) g \right\rangle. \quad (38)$$

Векторный мейкton рассматривался, в частности, в [40]. Для него предсказывалась масса 1520 МэВ. Относительные вероятности распадов векторных мейктона по каналам  $\phi\pi^0$  и  $\omega\pi^0$  должны быть одного порядка (из-за независимости константы связи глюона с парой  $q\bar{q}$ -кварков от их аромата).

Таким образом, если не будет найдено каких-то новых объяснений большого нарушения правила OZI в распадах  $C(1480)$ -мезона ( $R_C > 0,5$ ), этот новый адрон должен иметь экзотическое строение.

Дальнейшая информация об экзотической природе  $C(1480)$ -мезона может быть получена из анализа различных каналов его распада, а также из поисков других объектов с близкой природой. Например, в [41] рассматривалась возможная  $SU(3)$ -структура экзотического семейства частиц, к которому принадлежит  $C(1480)$ -мезон, если он является  $(qq\bar{q}\bar{q})$ -адроном типа (37). Предсказывается связь  $C(1480)$  с каналом  $\rho\eta$  с  $BR(C(1480) \rightarrow \rho\eta) \sim \frac{1}{4} BR(C(1480) \rightarrow \phi\pi^0)$ . Предсказывается также существование изоскалярного партнера  $C(1480)$ -мезона  $|\tilde{C}\rangle = \left| \frac{1}{\sqrt{2}} (u\bar{u} + d\bar{d}) s\bar{s} \right\rangle$ , близкого с  $C(1480)$  по массе и ширине.  $|\tilde{C}\rangle$ -состояние может проявляться как резонанс в спектре масс  $\omega\eta$ -системы. Следует отметить, что близкое по массе изоскаляр-

\* О возможном смешивании в волновой функции  $C(1480)$ -мезона см. в [42].

ное состояние  $|\tilde{C}\rangle = \left| \frac{1}{\sqrt{2}} (\bar{u}u + \bar{d}d) g \right\rangle$  может существовать и в гибридной модели для  $C(1480)$ -мезона.

В [42] обсуждаются природа  $C(1480)$ -мезона и процессы его образования и распада. Рассмотрены возможные механизмы смешивания кварковых комбинаций в волновой функции четырехкваркового экзотического состояния. Высказывается предположение, что в этом случае должны существовать состояния с близкими свойствами, сопряженные по  $G$ - и  $C$ -четности. В рамках этой гипотезы помимо  $C(1480)$ -мезона с  $J^{PC} = 1^{--}$  должен существовать близкий по массе мезон с экзотическим набором квантовых чисел  $J^{PC} = 1^{-+}$ . Именно такая частица  $M(1405)$  с массой  $M = (1406 \pm 20)$  МэВ и шириной  $\Gamma = (180 \pm 30)$  МэВ была обнаружена в совершенно другом эксперименте при анализе спектра масс  $\eta\pi^0$ -системы в реакции  $\pi^- p \rightarrow \eta\pi^0 p$  на установке ГАМС-4000 [43] (см. приложение). Вопрос о возможной связи между этими состояниями представляет очень большой интерес и требует дальнейшего изучения. В частности, в [44] обсуждается другая возможность, согласно которой мезоны  $C(1480)$  и  $M(1405)$  являются сопряженными по  $G$ - и  $C$ -четности гибридными состояниями (мейктонаами).

В [42] показано также, что если  $C(1480)$ -мезон принадлежит к  $10 - 10^*$ -представлению  $SU(3)$  (т. е. является суперпозицией состояний из представления  $10$  и сопряженного ему представления  $10^*$ , имеющей определенную  $G$ -четность), то должно существовать соотношение между вероятностями распадных каналов  $C(1480) \rightarrow \varphi\pi^0$  и  $C(1480) \rightarrow \omega\pi^0$ :  $BR[C(1480) \rightarrow \varphi\pi^0] = 2BR[C(1480) \rightarrow \omega\pi^0]$ , т. е.  $R_C = 2$ . Это не противоречит экспериментальным данным, согласно которым  $R_C > 0,5$  [см. (29)].

Потенциальные модели для экзотических многокварковых мезонов и место  $C(1480)$  в таких моделях рассматриваются в [45].

**1.11.  $C(1480)$ -мезон в электромагнитных процессах.** Так как квантовые числа  $C(1480)$ -мезона  $J^{PC} = 1^{--}$  совпадают с квантовыми числами фотонов, представляют значительный интерес поиски образования этой частицы в электромагнитных процессах.

В эксперименте на омега-спектрометре [46] зарегистрировано около 25 событий реакции  $\gamma p \rightarrow \varphi\pi^0 p$  в диапазоне энергий от 20 до 70 ГэВ. Хотя число событий невелико, в спектре масс  $\varphi\pi^0$ -системы наблюдается некоторый избыток событий в области  $\sim 1,4$  ГэВ (рис. 14). Из данных [46] можно получить сечение фоторождения  $C(1480)$ -мезона  $\sigma[\gamma p \rightarrow C(1480)p] BR[C(1480) \rightarrow \varphi\pi^0] \simeq (3 \pm 1,5) \cdot 10^{-33} \text{ см}^2$  или, более точно, верхний предел

$$\sigma[\gamma p \rightarrow C(1480)p] BR[C(1480) \rightarrow \varphi\pi^0] \leqslant 6 \cdot 10^{-33} \text{ см}^2 \quad (39)$$

(95 %-ная достоверность).

Теоретические оценки для сечения дифракционного фоторождения  $C(1480)$ -мезона могут быть выполнены в модели векторной доминант-

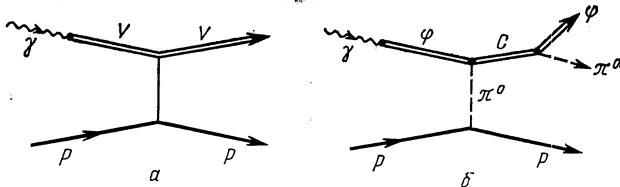
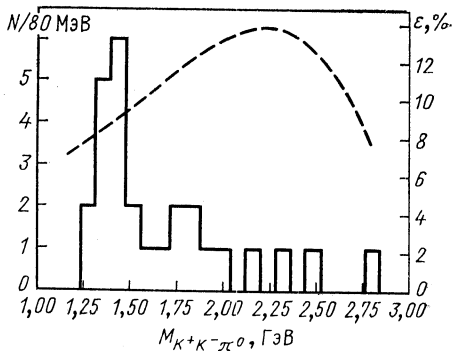
ности VDM [19] (рис. 15, а):

$$\sigma [\gamma p \rightarrow C(1480) p] \simeq \sigma [\gamma p \rightarrow \rho^0 p] \left[ \frac{\sigma_{\text{полн}} [C(1480) p]}{\sigma_{\text{полн}} [\rho^0 p]} \right]^2 \times \\ \times \left[ \frac{M_{\rho^0}}{M_C} \right] \left[ \frac{b_{\rho^0}}{b_C} \right] \frac{\Gamma [C(1480) \rightarrow e^+ e^-]}{\Gamma [\rho^0 \rightarrow e^+ e^-]}. \quad (40)$$

Здесь  $\sigma_{\text{полн}} [C(1480) p]/\sigma_{\text{полн}} [\rho^0 p] \simeq [\sigma_{\text{полн}} (\rho^0 p) + \sigma_{\text{полн}} (\varphi p)]/\sigma_{\text{полн}} [\rho^0 p] \simeq 3/2$  — отношение соответствующих полных сечений взаимодействий в аддитивной кварковой модели;  $b_{\rho^0}/b_C \simeq 1$  — отношение наклонов дифракционных конусов; через  $\rho^0$  обозна-

Рис. 14. Спектр эффективных масс системы  $K^+ K^- \pi^0$  в реакции фоторождения  $\gamma p \rightarrow K^+ K^- \pi^0 p$  при энергии фотонов  $20 < E_\gamma < 70$  ГэВ (для событий из области ф-пика  $1,01 < M_{K^+ K^-} < 1,03$  ГэВ). Шкала справа — акцептанс установки (пунктирная линия)

Рис. 15. Диаграмма дифракционного фоторождения векторного мезона в модели векторной доминантности (диагональное приближение) (а) и диаграмма фоторождения  $C(1480)$ -мезона в модели ОРЕ (б)



чены «обычные» векторные мезоны с  $I = 1$ :  $\rho^0$  (770) и  $\rho^{0'}$ . Из величины верхней границы (39), из данных по сечениям дифракционного фоторождения  $\sigma[\gamma p \rightarrow \rho^0(770) p] \simeq 13 \cdot 10^{-30} \text{ см}^2$  или  $\sigma[\gamma p \rightarrow \rho^{0'} p] \simeq 1,3 \cdot 10^{-30} \text{ см}^2$  и из значений электронных ширин  $\Gamma[\rho^0(770) \rightarrow e^+ e^-] \simeq \Gamma[\rho^{0'} \rightarrow e^+ e^-] \simeq 7 \text{ кэВ}$  можно оценить

$$\Gamma[C(1480) \rightarrow e^+ e^-] BR[C(1480) \rightarrow \varphi \pi^0] \lesssim$$

$$\lesssim \begin{cases} 4 \text{ эВ из данных по } \rho^0(770); \\ 21 \text{ эВ из данных по } \rho^{0'}. \end{cases} \quad (41)$$

$$(42)$$

(95 %-ная достоверность).

Предел (42), основанный на данных для  $\rho^{0'}$ -мезона, по-видимому, является более надежным из-за близости масс  $M[C(1480)]$  и  $M(\rho^{0'})$ .

и соответствующего уменьшения неопределенностей VDM-оценок, связанных с переходом от реальных фотонов к виртуальным фотонам с  $q^2 = M_V^2$ .

Таким образом, мы видим, что, в предположении о большой величине  $BR(C(1480) \rightarrow \phi\pi^0)$ , электронная ширина для  $C(1480)$ -мезона резко отличается от электронных ширин для «обычных» векторных мезонов. Это лишний раз подчеркивает экзотическую природу  $C(1480)$ -мезона. Малая электронная ширина  $C(1480)$ -мезона находит естественное объяснение в четырех夸ковой модели [45].

Фоторождение  $C(1480)$ -мезона может также происходить через однопионный обмен (рис. 15, б). В этом механизме все константы оцениваются из опытных данных. Н. Н. Ачашовым (частное сообщение) получено соотношение

$$\sigma[\gamma p \rightarrow C(1480) p]_{\text{OPE}} BR[C(1480) \rightarrow \phi\pi^0] = \\ = \left[ \frac{1.3 \cdot 10^{-31} \text{ см}^2}{s^2} \right] [BR(C(1480) \rightarrow \phi\pi^0)]^2 \quad (43)$$

(здесь  $s$  — в ГэВ<sup>2</sup>). Отсюда и из данных по фоторождению  $C(1480)$  в опытах на омега-спектрометре установлено ограничение для  $BR[C(1480) \rightarrow \phi\pi^0]$ :  $\sigma[\gamma p \rightarrow C(1480) p] BR[C(1480) \rightarrow \phi\pi^0] = 35 \cdot 10^{-33} \text{ см}^2 [BR(C(1480) \rightarrow \phi\pi^0)]^2 + (\text{дифракционный вклад}) \leqslant 6 \cdot 10^{-33} \text{ см}^2$  или

$$BR[C(1480) \rightarrow \phi\pi^0] < 0,4 \text{ (95%-ная достоверность).} \quad (44)$$

Следуя [19], можно провести оценку сечения резонансного образования  $C(1480)$ -мезона на встречных  $e^+e^-$ -пучках:

$$\sigma[e^+e^- \rightarrow C(1480)] BR[C(1480) \rightarrow \phi\pi^0] < 0,16 \cdot 10^{-33} \text{ см}^2 \quad (45)$$

(для  $\Gamma[C(1480) \rightarrow e^+e^-] BR[C(1480) \rightarrow \phi\pi^0] < 21 \text{ эВ}$  (42)). При этом нерезонансный фон оценивается из данных нерезонансной реакции  $e^+e^- \rightarrow \omega\pi^0$  с учетом OZI-подавления [19]:

$$\sigma(e^+e^- \rightarrow \phi\pi^0)_{\text{нерез}} = \sigma(e^+e^- \rightarrow \omega\pi^0)_{\text{нерез}} \frac{1}{300} \sim 0,03 \cdot 10^{-33} \text{ см}^2. \quad (46)$$

Существующие экспериментальные данные устанавливают верхнюю границу для процесса резонансного образования  $C(1480)$ -мезона в  $e^+e^-$ -соударениях, лежащую в несколько раз выше уровня (42) и (45):  $\Gamma[C(1480) \rightarrow e^+e^-] BR[C(1480) \rightarrow \phi\pi^0] < 85 \text{ эВ}$  [48].

В связи с обсуждением вопроса о возможном существовании изоскалярного партнера  $C(1480)$ -мезона  $\tilde{C} = \frac{1}{\sqrt{2}} (u\bar{u} + d\bar{d}) s\bar{s}$  или  $\tilde{C} = \frac{1}{\sqrt{2}} (u\bar{u} + d\bar{d}) g$ , с параметрами, близкими к  $C(1480)$ -мезону,

\* Если  $\rho^{0'}$  представляет собой два состояния  $\rho'_1$  и  $\rho'_2$  [28], оценка (42) может несколько измениться.

и с одним из основных каналов распада  $\tilde{C} \rightarrow \omega\eta$  [41] (см. п.1.10), обращают на себя внимание результаты эксперимента по фоторождению мезонов на омега-спектрометре CERN, в котором изучалась реакция  $\gamma p \rightarrow (\omega\eta) p$  в области энергий  $20 < E_\gamma < 50$  ГэВ [47]. В спектре масс  $\omega\eta$ -системы наблюдена структура  $X(1600)$  с массой  $M = (1,61 \pm 0,04)$  ГэВ и шириной  $\Gamma = (0,23 \pm 0,08)$  ГэВ. Возможные квантовые числа этого состояния  $J^P = 1^-; 1^+; 2^-$ . Оценено сечение  $\sigma [\gamma p \rightarrow X(1600) p] BR[X(1600) \rightarrow \omega\eta] \sim 40 \cdot 10^{-33}$  см<sup>2</sup>. Вопросы о природе этого пика и о возможности его отождествления с предсказанным изоскалярным  $\tilde{C}$ -мезоном остаются открытыми.

**1.12. Поиски  $C(1480)$ -мезонов в распадах  $J/\psi$ -частиц и в процессах  $p\bar{p}$ -аннигиляции.** В опытах на установке DM2 [49] исследовался распад  $J/\psi$ -мезонов по каналу  $J/\psi \rightarrow \varphi\pi^+\pi^-$  и измерена его вероятность  $BR[J/\psi \rightarrow \varphi\pi^+\pi^-] = (7,8 \pm 0,3 \pm 0,3) \cdot 10^{-4}$ . При анализе спектра масс  $\varphi\pi^\pm$  проводились поиски сигнала от  $C(1480)$ -мезона, т. е. распада  $J/\psi \rightarrow C(1480)^\pm\pi^\mp$ . Распады типа  $J/\psi \rightarrow X\pi$  являются естественными процессами для поисков экзотических гибридных мезонов  $X = q\bar{q}g$  с изоспином  $I = 1$ , так как промежуточные состояния для этих распадов обогащены глюонами. Хотя в спектре масс  $\varphi\pi^\pm$  в  $J/\psi \rightarrow \varphi\pi^+\pi^-$  и имеется некоторый избыток событий, совместимый с возможным проявлением  $C(1480)$ -мезона, статистическая значимость этого избытка невелика и позволяет только установить верхнюю границу для вероятности  $BR[J/\psi \rightarrow C(1480)^\pm\pi^\mp] BR[C(1480)^\pm \rightarrow \varphi\pi^\pm] < 1,5 \cdot 10^{-4}$  (95 %-ная достоверность).

Поиски  $C(1480)$ -мезона в распадах  $J/\psi \rightarrow \varphi\pi^+\pi^-$  усложняются не только комбинаторным фоном (две комбинации с  $\varphi\pi^\pm$ ), но и тем, что в спектре масс  $\pi^+\pi^-$ -системы наблюдается значительный вклад от резонансных  $\pi\pi$ -процессов: образование  $a_0(975)$ -мезона и, может быть, какого-то состояния в области масс  $1,1 < M_{\pi\pi} < 1,5$  ГэВ ( $BR[J/\psi \rightarrow \varphi a_0(975)] BR[a_0(975) \rightarrow \pi^+\pi^-] = (2,4 \pm 0,2 \pm 0,4) \cdot 10^{-4}$  и  $(BR[J/\psi \rightarrow \varphi(\pi^+\pi^-) | 1,1 < m_{\pi\pi} < 1,5 \text{ ГэВ}} = (2,5 \pm 0,2 \pm 0,4) \times 10^{-4}$ ).

Решение вопроса о возможном образовании  $C(1480)$ -мезонов в  $J/\psi$ -распадах потребует существенного увеличения статистики на накопителях нового поколения с высокой светимостью. В частности, на недавно запущенном  $e^+e^-$ -накопителе BEPC (КНР), по-видимому, можно увеличить такую статистику по крайней мере на порядок.

В опытах на установке ASTERIX при анализе реакции  $\bar{p}p \rightarrow K^+K^-\pi^+\pi^-$  в спектре масс  $K\bar{K}\pi$  наблюдается некоторый максимум в области  $C(1480)$ -мезона. Однако авторы интерпретируют его как результат кинематических отражений при образовании  $K^*\bar{K}^*$ -системы [50]. Детальный анализ процессов с образованием  $\varphi\pi$ -состояний в реакциях  $p\bar{p}$ -аннигиляции может быть проведен в экспериментах нового поколения на антипротонном источнике LEAR.

Обсуждение некоторых вопросов, связанных с природой  $C$  (1480), проводилось также в [51—61] и ряде других работ (см. также приложение 2).

## 2. ИССЛЕДОВАНИЯ РЕАКЦИИ $\pi^-p \rightarrow K^+K^-n$ ПРИ ИМПУЛЬСЕ $p_\pi = 32,5$ ГэВ И ДАННЫЕ О ПРОЦЕССЕ $\pi^-p \rightarrow \varphi n$ , ПОДАВЛЕННОМ ПРАВИЛОМ OZI

Проведен анализ реакции

$$\pi^-p \rightarrow K^+K^-n \quad (47)$$

( $6 \cdot 10^5$  событий при импульсе 32,5 ГэВ) и получены предварительные данные о сечении процесса

$$\pi^-p \rightarrow \varphi n, \quad (48)$$

подавленного правилом OZI. На рис. 16 представлен массовый спектр

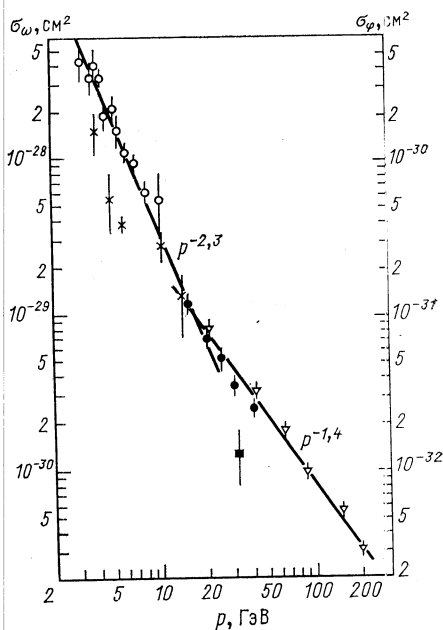
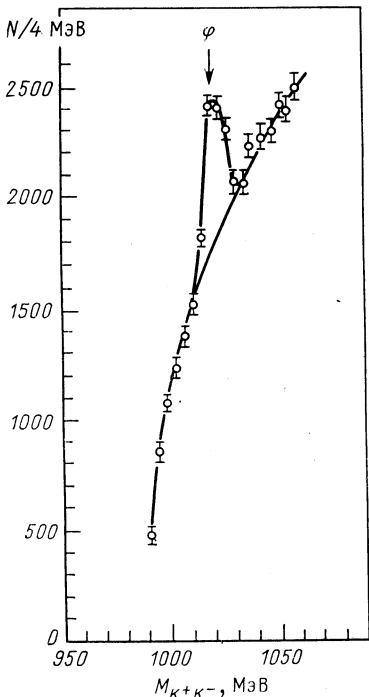


Рис. 16. Спектр эффективных масс  $K^+K^-$ -системы в реакции  $\pi^-p \rightarrow K^+K^-n$  (в области малых масс) при  $|t'| > 0,1$  ГэВ<sup>2</sup>. Стрелкой показано табличное значение массы  $\varphi$ -мезона

Рис. 17. Экспериментальные данные для полных сечений реакций  $\pi^-p \rightarrow \omega n$  и  $\pi^-p \rightarrow \varphi n$  в зависимости от первичного импульса:

реакция  $\pi^-p \rightarrow \omega n$  (шкала слева) [62]:  
○ — сечения при малых энергиях; ● — данные [62]; ▽ — данные [63]; прямые — степенные зависимости  $\sigma \sim p^{-2,3}$  и  $p^{-1,4}$ ; реакция  $\pi^-p \rightarrow \varphi n$  (шкала справа): × — данные при малых энергиях; ■ — результат эксперимента «Лептон-Ф»

для  $K^+K^-$ -пар в (47), в котором наблюдается четкий пик  $\varphi$ -мезона. Определено полное сечение

$$\sigma(\pi^- p \rightarrow \varphi n) = (13 \pm 5) \cdot 10^{-33} \text{ см}^2 \quad (49)$$

(погрешность обусловлена систематическими погрешностями, связанными с нормировкой сечений.). При сравнении (49) с данными о реакции

$$\pi^- p \rightarrow \omega n, \quad (50)$$

полученными в [62], определено отношение сечений

$$R(\varphi/\omega)|_{p_\pi=32,5 \text{ ГэВ}} = \frac{\sigma(\pi^- p \rightarrow \varphi n)}{\sigma(\pi^- p \rightarrow \omega n)} \Big|_{p_\pi=32,5 \text{ ГэВ}} = (0,42 \pm 0,17) \cdot 10^{-2}. \quad (51)$$

Это отношение характеризует степень подавления процессов с векторными мезонами правилом отбора OZI. Совокупность данных по реакциям (48) и (50) при разных энергиях представлена на рис. 17.

Отношение (51) может быть использовано в простой кварковой модели для определения угла смешивания  $\vartheta_v$  для ионета векторных мезонов. Отличие угла смешивания от идеального  $\alpha_v = \vartheta_v - \vartheta_0$  ( $\vartheta_0 = 35,3^\circ$  — угол идеального смешивания) связано с (51) соотношением  $\operatorname{tg}^2 \alpha_v = R(\varphi/\omega)$  [64]. Отсюда  $|\alpha_v| = (3,7 \pm 0,7)^\circ$ , что находится в хорошем согласии с результатами, полученными из сравнения радиационных ширин  $\Gamma(\varphi \rightarrow \pi^0\gamma)$  и  $\Gamma(\omega \rightarrow \pi^0\gamma)$  ( $|\alpha_v| = (3,0 \pm 0,2)^\circ$  [65]) и из квадратичной массовой формулы ( $|\alpha_v| = (3,7 \pm 0,4)^\circ$  [27]).

### 3. ПОИСКИ РАДИАЦИОННЫХ РАСПАДОВ $D(1285) \rightarrow \varphi\gamma$ И $E(1420) \rightarrow \varphi\gamma$ И ПРИРОДА $E$ -МЕЗОНА

**3.1. Проблема  $E$ /иота и свойства аксиально-векторных мезонов.** Поиски экзотических адронных состояний тесно переплетаются с опытами, в которых уточняется структура семейств обычных мезонов и барионов. Часто без такого уточнения вопрос об интерпретации новых резонансов не может быть однозначно решен. Экзотические частицы должны быть «лишними состояниями», не укладывающимися в схемы обычных  $SU(3)$ -семейств (или их радиальных возбуждений). Поэтому поиски экзотических адронов и исследования «белых пятен» обычной адронной спектроскопии оказываются неразрывно связанными между собой.

В качестве примера можно напомнить известную  $E$ /иота проблему, возникшую в связи с поисками глюболов \*. Для ее решения важно получить новые и более информативные данные о квантовых числах состояния  $E(1420)$ , о составе аксиального мезонного ионета ( $J^{PC} = 1^{++}$ ) и о радиально-возбужденных псевдоскалярных состояниях.

\* О  $E$ /иота-проблеме см., например, в обзорах [61], а также в приложении.

Для аксиально-векторного nonета из двух изоскалярных состояний в этом семействе только одно можно считать твердо установленным — это  $D$  (1285)-мезон. В качестве другого изоскаляра обычно рассматривался  $E$  (1420)-мезон. Однако его квантовые числа, как уже отмечалось, до сих пор однозначно не определены.

Ситуация со структурой nonета аксиальных мезонов еще более усложняется, так как на роль изотопического синглета ( $s\bar{s}$ ) в этом семействе, помимо первоначального претендента —  $E$  (1420)-мезона, появился еще новый кандидат — так называемый  $D'$  (1530)-мезон. Данные о возможном наблюдении такой частицы в  $K^-p$ -реакциях были получены в опытах на пузырьковой камере [66] и на широкоапертурном магнитном спектрометре LASS [67].

Новая информация о составе аксиального nonета и о его угле смешивания может быть получена из радиационных распадов аксиальных мезонов и, в частности, из распадов  $M (J^{PC} = 1^{++}) \rightarrow \phi\gamma$ . Так как  $\phi$ -мезон является почти чистым  $s\bar{s}$ -составляющим,  $\phi\gamma$ -распад служит хорошим анализатором, выделяющим  $s\bar{s}$ -компоненту в волновой функции мезонов.

**3.2. Выделение радиационных распадов.** Экспериментальное изучение радиационных распадов адронов связано со значительными трудностями. Это, как правило, редкие процессы, идущие с малой относительной вероятностью в условиях большого фона от  $\pi^0 \rightarrow \gamma\gamma$ -распадов с «потерянными» фотонами. Для выделения радиационных распадов требуется регистрация всех вторичных продуктов (заряженных частиц и фотонов), измерение их импульсов и восстановление эффективной массы распадающейся частицы. Существенную роль здесь играет кинематическое переопределение, так как это позволяет подавить фоновые процессы \*.

В опытах на установке «Лептон» источником исследуемых частиц являются эксклюзивные реакции перезарядки, в которых удается реализовать наилучшие фоновые условия для редких явлений. Так, при исследовании распадов



использовались реакции  $\pi^-p \rightarrow Mn$ ;  $M \rightarrow \phi\gamma$ ;  $\phi \rightarrow K^+K^-$  или  $K^-N \rightarrow \rightarrow MY$ ;  $M \rightarrow \phi\gamma$ ;  $\phi \rightarrow K^+K^-$ . Для выделения этих процессов и регистрации известных распадов  $\eta \rightarrow \pi^+\pi^-\gamma$  и  $\eta' \rightarrow \pi^+\pi^-\gamma$  (служивших для калибровки установки) анализировались события  $\pi^-p \rightarrow (K^+K^-\gamma)n$ ,  $K^-N \rightarrow (K^+K^-\gamma)Y$  и  $\pi^-p \rightarrow (\pi^+\pi^-\gamma)n$ .

Для снижения фона от  $\pi^0$ -мезонов с потерянными фотонами установка «Лептон-Ф» была снабжена специальной охранной системой из сцинтилляционных счетчиков, прослоенных свинцом, которые на

\* Общие вопросы, связанные с исследованиями радиационных распадов мезонов, см. в обзорах [15, 16, 68].

уровне триггера подавляли события с  $\gamma$ -квантами, летящими вне апертуры гаммоскопического многоканального гамма-спектрометра ГАМС-200 (см. рис. 1). Сам этот спектрометр тоже являлся частью охранной системы, так как при обработке данных в нем требовалась регистрация одного и только одного  $\gamma$ -кванта.

Охранная система снижала фон от «потерянных» фотонов в 10—20 раз.

Для выделения процессов типа (6), (10), (14)–(16) и исследования радиационных распадов использовался следующий набор стандартных критериев отбора событий:

а) событие характеризуется двумя (и только двумя) треками заряженных частиц в спектрометре с противоположными знаками зарядов, вылетающими из точки взаимодействия внутри мишени;

б) событие характеризуется одним  $\gamma$ -квантом с минимальной энергией  $E_\gamma > 5$  ГэВ (в некоторых реакциях  $E_\gamma > 6$  ГэВ);

в) при этом в гамма-спектрометре не зарегистрировано дополнительных фотонов с энергией  $E_\gamma > 0,5$  ГэВ;

г) полная выделенная энергия удовлетворяет условию  $30,8 \text{ ГэВ} < (E_{\text{полн}} = E_+ + E_- + E_\gamma) < 34 \text{ ГэВ}$  ( $E_+$ ;  $E_-$  — энергия заряженных частиц).

При отработке этих критериев, необходимых для оптимального подавления фона потерянных фотонов, использовались хорошо известные радиационные распады  $\eta \rightarrow \pi^+\pi^-\gamma$  (в условиях фона от  $\eta \rightarrow \pi^+\pi^-\pi^0$ ) и  $\eta' \rightarrow \pi^+\pi^-\gamma$ . С этой целью был проведен анализ спектра эффективных масс  $(\pi^+\pi^-\gamma)$ -событий в реакции (14) (рис. 18).

При варьировании критериев отбора (минимальная энергия фотона  $E_{\gamma\min}$  и диапазон изменения полной энергии  $E_{\text{полн}}$ ) контролировалось отношение

$$R_\eta = \frac{N(\eta \rightarrow \pi^+\pi^-\gamma)}{N(\eta \rightarrow \pi^+\pi^-\pi^0)} = \frac{\text{число ложных событий } \eta \rightarrow \pi^+\pi^-\gamma}{\text{число истинных событий } \eta \rightarrow \pi^+\pi^-\gamma}$$

(ложные события от  $\eta \rightarrow \pi^+\pi^-\pi^0$ ).

Оптимальным считался такой выбор критериев отбора, при котором значение  $R_\eta$  оказывалось минимальным при незначительной потере эффективности регистрации  $\eta \rightarrow \pi^+\pi^-\gamma$  (более подробно см. [9]).

Возможности изучения редких радиационных распадов мезонов в опытах на установке «Лептон-Ф» могут быть хорошо проиллюстрированы результатами поисков распада

$$\omega \rightarrow \pi^+\pi^-\gamma \quad (53)$$

в тяжелых фоновых условиях, обусловленных основным распадом этого мезона  $\omega \rightarrow \pi^+\pi^-\pi^0$  (с одним потерянным фотоном).

На рис. 19 приведен спектр эффективных масс  $\pi^+\pi^-\gamma$ -системы в (14) в области  $\omega$ -мезона. События, вошедшие в этот спектр, удовлетворяли, помимо критериев отбора а) — г), еще дополнительному критерию;

д) для отобранных событий переданный импульс  $|t'| > 0,1 \text{ ГэВ}^2$ . Это требование, подавлявшее вклад процессов с  $\pi$ -обменом в реакцию (14), служило для уменьшения фона от  $\rho$ -мезонов (радиационный распад  $\rho \rightarrow \pi^+ \pi^- \gamma$ , фон случайных совпадений распада  $\rho \rightarrow \pi^+ \pi^-$  и ливня в гамма-спектрометре).

Спектр эффективных масс  $\pi^+ \pi^- \gamma$  на рис. 19 использовался для поисков радиационного распада (53). Как показало моделирование методом Монте-Карло, ложный пик от распада  $\omega \rightarrow \pi^+ \pi^- \pi^0$ ;  $\pi^0 \rightarrow 2\gamma$

с потерей одного фотона смешен относительно истинного положения массы  $\omega$ -мезона примерно на 30 МэВ и имеет ширину около 65 МэВ. Экспериментальные данные хорошо согласуются с этим результатом.

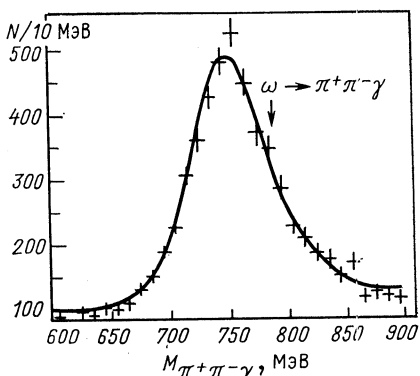
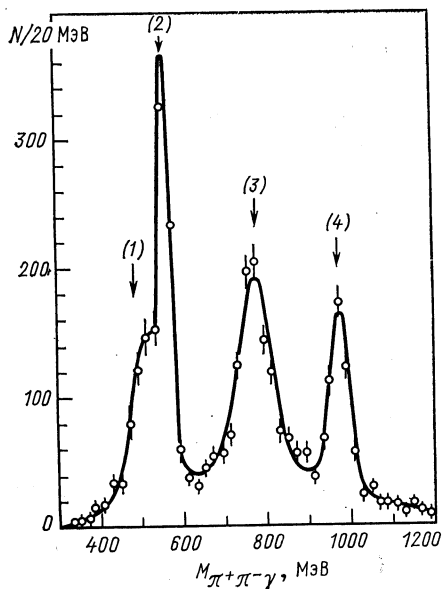


Рис. 18. Исследование спектра эффективных масс  $\pi^+ \pi^- \gamma$ -системы в реакции  $\pi^- p \rightarrow (\pi^+ \pi^- \gamma) n$  (20% статистики). В спектре наблюдаются четыре структуры: 1 — «ложный пик», обусловленный процессом  $\pi^- p \rightarrow \eta n$ ;  $\eta \rightarrow \pi^+ \pi^- \pi^0$ ;  $\pi^0 \rightarrow 2\gamma$  с одним потерянным фотоном; 2 — пик от радиационного распада  $\eta \rightarrow \pi^+ \pi^- \gamma$  в реакции  $\pi^- p \rightarrow \eta n$ ; 3 — ложный пик, обусловленный процессом  $\pi^- p \rightarrow \omega n$ ;  $\omega \rightarrow \pi^+ \pi^- \pi^0$ ;  $\pi^0 \rightarrow 2\gamma$  с одним потерянным фотоном; 4 — пик от радиационного распада  $\eta' \rightarrow \pi^+ \pi^- \gamma$  в реакции  $\pi^- p \rightarrow \eta' n$ .

Рис. 19. Полный спектр эффективных масс  $\pi^+ \pi^- \gamma$ -событий из области «ложного  $\omega$ -пика» (см. рис. 18), т. е. для событий, обусловленных в основном процессом  $\pi^- p \rightarrow \omega n$ ;  $\omega \rightarrow \pi^+ \pi^- \pi^0$ ;  $\pi^0 \rightarrow 2\gamma$  с одним потерянным фотоном. Стрелкой показано ожидаемое положение пика для радиационного распада  $\omega \rightarrow \pi^+ \pi^- \gamma$ .

При анализе спектра эффективных масс  $\pi^+ \pi^- \gamma$  (рис. 19) получена оценка для числа событий  $N(\omega \rightarrow \pi^+ \pi^- \gamma) = 30 \pm 52$ . Общее число  $\omega \rightarrow \pi^+ \pi^- \pi^0$ -распадов, зарегистрированных во время измерений на установке «Лептон-Ф», составило  $N(\omega \rightarrow \pi^+ \pi^- \pi^0) = 26400$ . С учетом эффективности установки определены верхние пределы для сечения

$$\sigma [\pi^- p \rightarrow \omega n] BR [\omega \rightarrow \pi^+ \pi^- \gamma] < 17 \cdot 10^{-33} \text{ см}^2$$

и для отношения вероятностей

$$BR(\omega \rightarrow \pi^+\pi^-\gamma) = \Gamma(\omega \rightarrow \pi^+\pi^-\gamma)/\Gamma[\omega \rightarrow (\text{все каналы})] < 4 \cdot 10^{-3} \quad (54)$$

(95 %-ная достоверность).

Это ограничение более чем на порядок усиливает существовавший ранее предел  $BR(\omega \rightarrow \pi^+\pi^-\gamma) < 5\%$  [27]. Полученные результаты показывают, что в опытах на установке «Лептон-Ф» возможно изучение редких радиационных распадов адронов, имеющих относительные

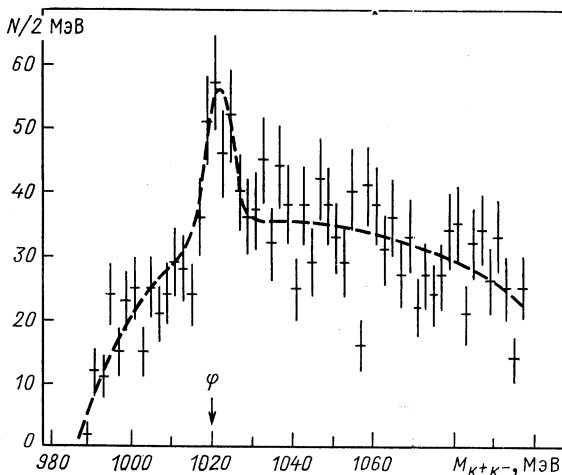


Рис. 20. Спектр эффективных масс  $K^+K^-$ -системы в реакции  $\pi^-p \rightarrow (K^+K^-\gamma) n$  для событий с  $|t'| > 0,4$  ГэВ $^2$ .

Стрелкой показано табличное значение массы  $\phi$ -мезона. Положение пика [ $M_{K^+K^-} = (1022 \pm 2)$  МэВ] согласуется с табличным значением, а его ширина [ $(7,3 \pm 1,2)$  МэВ] определяется аппаратурным разрешением

вероятности порядка одного или нескольких процентов от основных каналов распада этих частиц с  $\pi^0$ -мезонами, определяющих уровень фона.

**3.3. Поиски радиационных распадов  $M \rightarrow \phi\gamma$  и обнаружение распада  $D(1287) \rightarrow \phi\gamma$ .** В процессе экспериментов на установке «Лептон-Ф» зарегистрировано  $4,5 \cdot 10^3$  событий реакции  $\pi^-p \rightarrow (K^+K^-\gamma) n$  [см. (6)], удовлетворявших стандартным критериям отбора (см. п. 3.2). Большинство из этих событий, однако, являются фоновыми — они соответствуют реакции  $\pi^-p \rightarrow (K^+K^-\pi^0) n$ ;  $\pi^0 \rightarrow \gamma + \gamma$  с одним потерянным  $\gamma$ -квантром. Данные (6) были использованы для выделения реакций  $\pi^-p \rightarrow (\phi\gamma) n$  и  $\pi^-p \rightarrow M n$ ;  $M \rightarrow \phi\gamma$ ;  $\phi \rightarrow K^+K^-$ . Здесь прежде всего необходимо было подавить фон, обусловленный событиями  $\pi^-p \rightarrow (\phi\pi^0) n$ ;  $\phi \rightarrow K^+K^-$ ;  $\pi^0 \rightarrow \gamma + \gamma$  с потерянным фотоном. Так как реакция (1) характеризуется узким  $t$ -распределением, обусловленным ОРЭ (см. рис. 8), для подавления этого

фона вводилось требование  $|t'| > 0,1 \text{ ГэВ}^2$ , уменьшившее его приблизительно в 5 раз. В то же время это требование довольно слабо уменьшало вероятность образования аксиальных мезонов в реакциях перезарядки, так как для таких процессов  $\pi$ -обмен запрещен, и соответствующее распределение по

$t'$  оказывается более широким. Так, выходы  $D$  (1285)-мезонов (см. рис. 4) при  $|t'| > 0,1 \text{ ГэВ}^2$  уменьшаются не более чем на 25 %.

В спектре масс  $K^+K^-$ -системы в реакции (6) наблюдается четкий пик, соответствующий образованию  $\varphi$ -мезона (рис. 20).

События (7) были отобраны из области  $\varphi$ -пика ( $1018 < M_{K^+K^-} < 1026 \text{ МэВ}$ ). Вклад фона был учтен вычитанием полу суммы числа событий в соседних массовых интервалах ( $1006 < M_{K^+K^-} < 1014 \text{ МэВ}$  и  $1030 < M_{K^+K^-} < 1038 \text{ МэВ}$ ). Полное число событий (7) оказалось равным  $87 \pm 14$ . Спектр эффективных масс событий (7) приведен на рис. 21.

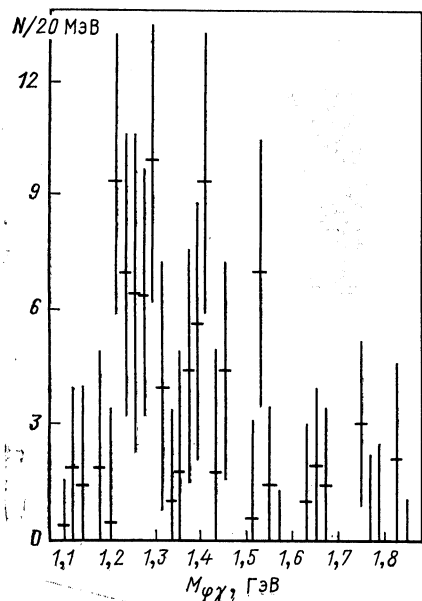
Для дальнейшего анализа  $\varphi\gamma$ -системы и поисков радиационных распадов аксиальных мезонов проведено исследование соответствующих угловых распределений в реакции (7). По известной теореме Ландау — Янга частица со спином 1 не может распадаться на два безмассовых фотона. Такой запрет

Рис. 21. Спектр эффективных масс  $\varphi\gamma$ -системы в реакции  $\pi^- p \rightarrow (\varphi\gamma) n \times [ |t'| > 0,1 \text{ ГэВ}^2]$

связан с отсутствием у фотонов составляющих с нулевой спиральностью. Так как  $\varphi$ -мезон — массивная векторная частица, то распад

$$M(J^{PC} = 1^{++}) \rightarrow \varphi\gamma \quad (55)$$

уже не запрещен этой теоремой, но в нем доминирует компонента  $\varphi$  с нулевой спиральностью:  $\lambda_\varphi = 0$  [70]. Для выделения процессов образования  $\varphi$ -мезонов с  $\lambda_\varphi = 0$  было исследовано распределение по углу  $\Theta_{K^-\gamma}$  (в системе покоя  $\varphi$ -мезона) для разных интервалов спектра эффективных масс  $\varphi\gamma$ -системы в (7). Угловое распределение представлялось в нормированном виде  $dN/d|\cos \Theta_{K^-\gamma}| = \text{const} [1 - (b/3) + b \cos^2 \Theta_{K^-\gamma}]$ . Для  $\lambda_\varphi = 0$  [т. е. для распада (55)] это распределение должно иметь вид  $dN/d|\cos \Theta_{K^-\gamma}| \sim \cos^2 \Theta_{K^-\gamma}$  (т. е.  $b = 3$ ). При распаде псевдоскалярных мезонов  $M(J^{PC} = 0^{-+}) \rightarrow \varphi\gamma$   $\varphi$ -мезоны образуются только в состояниях с  $\lambda_\varphi = \pm 1$ , и соответствующее угловое распределение имеет вид  $dN/d|\cos \Theta_{K^-\gamma}| \sim$



$\sim \sin^2 \theta_{K^- \gamma}$  (т. е.  $b = -1,5$ ). На рис. 22,а представлена зависимость коэффициента  $b$  в угловом распределении от эффективной массы  $M(\varphi\gamma)$  в (7). Как видно из этого рисунка, в области масс  $D$  (1285)-мезона угловое распределение резко отличается от других участков массового спектра (см. также рис. 22,б).

Таким образом, для выделения распадов типа (55) существенную роль может сыграть требование  $|\cos \theta_{K^- \gamma}| > 2/3$ , так как для радиационных распадов аксиальных мезонов оно уменьшает число событий всего на 30 %, и в то же время распады псевдоскалярных

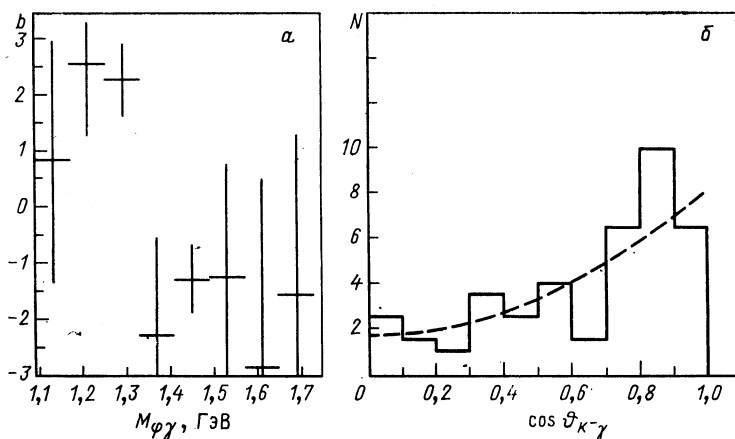


Рис. 22. Массовая зависимость коэффициента  $b$  в нормированном угловом распределении  $dN/d|\cos \theta_{K^- \gamma}| = N[1 - \frac{b}{3} + b \cos^2 \theta_{K^- \gamma}]$  (в системе покоя  $\varphi$ -мезона) для  $\varphi\gamma$ -событий рис. 21 (а) и угловое распределение для  $\varphi\gamma$ -событий из области  $D$  (1285)-мезона [ $1230 < M(\varphi\gamma) < 1330$  МэВ]; пунктирная кривая соответствует  $b = 1,7 \pm 0,7$  (б)

частиц при этом подавляются более чем в 6 раз. На рис. 23 представлены спектры эффективных масс  $K^+K^-\gamma$ -системы для событий (6), удовлетворяющих всем введенным критериям отбора, а также новому требованию  $|\cos \theta_{K^- \gamma}| > 2/3$ , как для событий, лежащих в полосе  $\bar{K}^+K^-$ -масс для  $\varphi$ -мезона [ $1018 < M(K^+K^-) < 1026$  МэВ], так и для двух фоновых полос. Фон в контрольных полосах оказался очень малым, и процедура его вычитания (не являвшаяся в принципе обязательной) не вызывала никаких проблем.

Результирующий спектр эффективных масс  $\varphi\gamma$ -событий ( $| \cos \theta_{K^- \gamma} | > 2/3$ ) представлен на рис. 24. В этом спектре доминирует пик с массой  $M = (1278 \pm 10)$  МэВ и шириной  $\Gamma = (77 \pm 18)$  МэВ. В пике содержится  $19 \pm 5$  событий. Положение пика хорошо согласуется с табличным значением массы  $D$  (1285)-мезона, а его ширина определяется аппаратурным разрешением. Статистиче-

ская значимость наблюдаемого пика превышает 7 стандартных отклонений.

Попытка объяснить наблюдаемый пик фу-распадами каких-либо других известных мезонов [27] показала, что все такие разрешенные

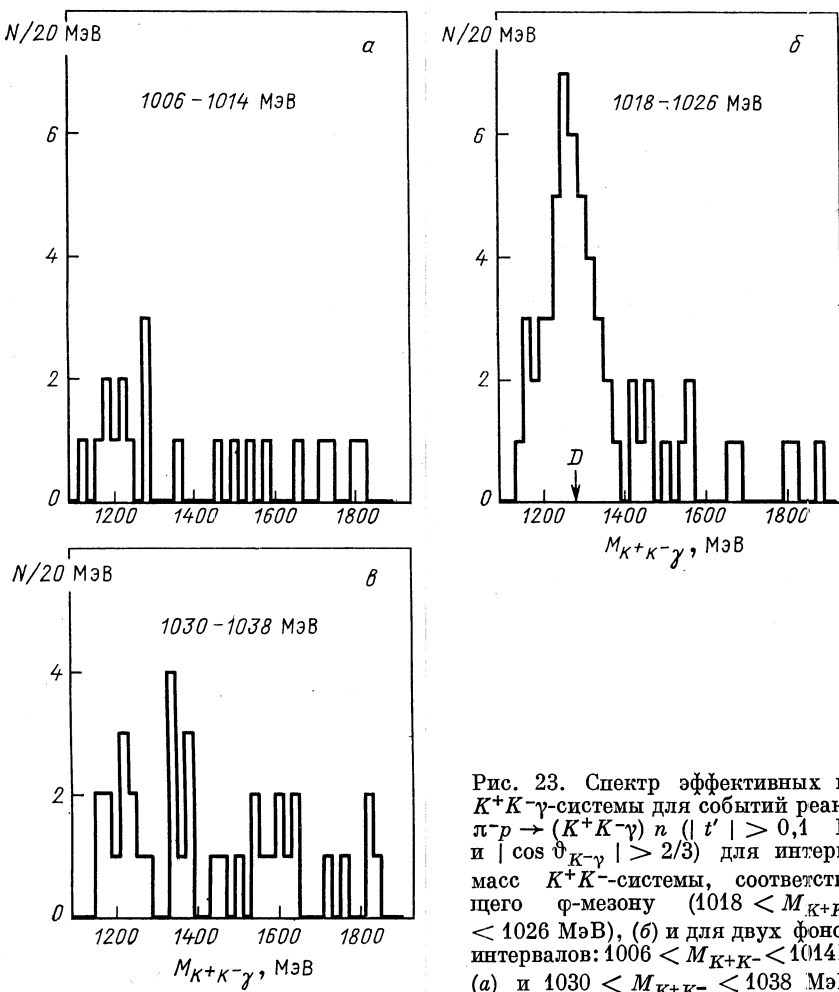


Рис. 23. Спектр эффективных масс  $K^+K^-\gamma$ -системы для событий реакции  $\pi^-p \rightarrow (K^+K^-\gamma) n$  ( $|t'| > 0,1$  ГэВ $^2$  и  $|\cos \theta_{K^-\gamma}| > 2/3$ ) для интервала масс  $K^+K^-$ -системы, соответствующего ф-мезону ( $1018 < M_{K^+K^-} < 1026$  МэВ), (б) и для двух фоновых интервалов:  $1006 < M_{K^+K^-} < 1014$  МэВ (а) и  $1030 < M_{K^+K^-} < 1038$  МэВ (с)

распады не совместимы с наблюдаемым на рис. 24 пиком по массам и (или) ширинам не менее чем на 6 стандартных отклонений.

Таким образом, совокупность данных по массе, ширине и угловому распределению для обнаруженного пика в спектре масс фу-системы (рис. 24) показывает, что в настоящем эксперименте обнаружен

Рис. 24. Спектр эффективных масс ф $\gamma$ -системы в реакции  $\pi^-p \rightarrow (\phi\gamma) n$  для событий с  $|t'| > 0,4 \text{ ГэВ}^2$  и  $|\cos \theta_{K-\gamma}| > 2/3$ . Стрелками показаны табличные значения масс  $D(1285)$ - и  $E(1420)$ -мезонов. Пунктирная кривая и шкала справа — аксентанс установки

радиационный распад

$$D(1285) \rightarrow \phi\gamma. \quad (56)$$

Определено сечение процесса

$$\sigma [\pi^-p \rightarrow D(1285) n] BR [D(1285) \rightarrow \phi\gamma] = (1,5 \pm 0,4) \cdot 10^{-33} \text{ см}^2. \quad (57)$$

Соответствующая нормировка проводилась по реакции (15) при выделении радиационного распада  $\eta$ -мезона  $\eta \rightarrow \pi^+\pi^-\gamma$ .

Используя данные о реакции  $\pi^-p \rightarrow D(1285) n$ ,  $D(1285) \rightarrow K^+K^-\pi^0$ , полученные в этом же эксперименте (см. рис. 4), можно определить отношения

$$\left. \begin{aligned} BR [D(1285) \rightarrow \phi\gamma] / BR [D(1285) \rightarrow K^+K^-\pi^0] &= \\ &= (4,9 \pm 1,3 \pm 1,2) \cdot 10^{-2}; \\ BR [D(1285) \rightarrow \phi\gamma] / BR [D(1285) \rightarrow K\bar{K}\pi] &= \\ &= (0,82 \pm 0,21 \pm 0,20) \cdot 10^{-2}. \end{aligned} \right\} \quad (58)$$

Отсюда из табличных значений для  $BR [D(1285) \rightarrow K\bar{K}\pi]$  и  $\Gamma_D$  [27] получены:

$$\left. \begin{aligned} BR [D(1285) \rightarrow \phi\gamma] &= (0,9 \pm 0,2 \pm 0,4) \cdot 10^{-3}; \\ \Gamma [D(1285) \rightarrow \phi\gamma] &= (23 \pm 5 \pm 10) \text{ кэВ}. \end{aligned} \right\} \quad (59)$$

Систематические погрешности включают в себя неопределенности, связанные с нормировкой, и погрешности табличных параметров. Значение  $\Gamma [D(1285) \rightarrow \phi\gamma]$  (59) сравнивалось с предсказаниями для разных теоретических моделей [69, 71—73] (табл. 1). Это сопоставление показывает, что отличие угла смешивания для аксиального нонета  $\vartheta_A$  от идеального ( $\vartheta_0 = 35,3^\circ$ ) должно быть велико:  $|\alpha_A| = |\vartheta_A - \vartheta_0| \geq 20 \div 30^\circ$ , т. е. в волновой функции  $D(1285)$ -мезона есть заметная  $ss$ -компоненты.

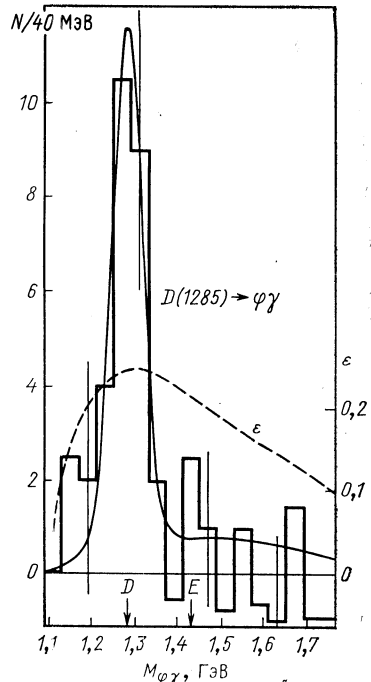


Таблица 1. Теоретические и экспериментальные значения ширин  
 $\Gamma [D(1285) \rightarrow V\gamma]$ , кэВ

Литература	$D(1285) \rightarrow \rho\gamma$	$D(1285) \rightarrow \omega\gamma$
<b>Теория:</b>		
J. Babcock е. а. [70] М. К. Волков [71] М. Динейхан и др. [72] Б. В. Гешкенбейн и др. [73] S. Ishida е. а. [69]	— $22 \sin^2 \alpha_A$ $46 \sin^2 \alpha_A$ $54 \sin^2 \alpha_A$ $136 \sin^2 \alpha_A$	$\sim 16 \cos^2 \alpha_A$ $138 \cos^2 \alpha_A$ $0,08 \cos^2 \alpha_A$ $111 \cos^2 \alpha_A$ $64,5 \cos^2 \alpha_A$
<b>Эксперимент:</b> «Лептон-Ф» [7—9]	$23 \pm 5 \pm 10$	—
Литература	$D(1285) \rightarrow \rho\gamma$	$ \alpha_A $ , град
<b>Теория:</b>		
J. Babcock е. а. [70] М. К. Волков [71] М. Динейхан и др. [72] Б. В. Гешкенбейн и др. [73] S. Ishida е. а. [69]	$150 \cos^2 \alpha_A$ $1258 \cos^2 \alpha_A$ $938 \cos^2 \alpha_A$ $\sim 1000 \cos^2 \alpha_A$ $607 \cos^2 \alpha_A$	47—90 31—59 28—52 17—30
<b>Эксперимент:</b> «Лептон-Ф» [78]	$< 1250$ (95%-ная досто- верность)	—
MARK III [79]	$2600 \pm 700$	—

П р и м е ч а н и я : 1)  $\alpha_A = \vartheta_A - \vartheta_0$ , где  $\vartheta_0 = 35,3^\circ$  (т. е. отличие угла смешивания в аксиально-векторном nonet мезонов от идеального).

2) Пренебрегается отличием угла смешивания для векторного noneta мезонов от идеального.

3) Значения  $|\alpha_A|$ , приведенные в таблице, получены из сравнения  $\Gamma [D(1285) \rightarrow \rho\gamma]_{\text{теор}}$  с теоретическими расчетами в разных моделях.

4) В большинстве теоретических моделей  $\Gamma [D(1285) \rightarrow \rho\gamma]/\Gamma [D(1285) \rightarrow \omega\gamma] \sim 9$ , что находит естественное объяснение в простой кварковой модели:

$$\frac{\Gamma [D(1285) \rightarrow \rho\gamma]}{\Gamma [D(1285) \rightarrow \omega\gamma]} \sim \frac{\Gamma \{ |(\bar{u}u + \bar{d}\bar{d})/\sqrt{2} \rangle \rightarrow |(\bar{u}u - \bar{d}\bar{d})/\sqrt{2} \rangle + \gamma \}}{\Gamma \{ |(\bar{u}u + \bar{d}\bar{d})/\sqrt{2} \rangle \rightarrow |(\bar{u}u + \bar{d}\bar{d})/\sqrt{2} \rangle + \gamma \}} \sim \left( \frac{q_u - q_d}{q_u + q_d} \right)^2 = 9$$

(если  $|\alpha_A|$  невелико).

Независимая информация об угле  $\alpha_A$  может быть получена из результатов опытов на установках DM2 и MARK III, в которых искались распады  $J/\psi \rightarrow \varphi D$  (1285);  $\omega D$  (1285). Отношение вероятностей этих распадов  $BR [J/\psi \rightarrow \varphi D (1285)]/BR [J/\psi \rightarrow \omega D (1285)] = 0,37 \pm 0,22$  [74] определяется значением  $\operatorname{tg}^2 \alpha_A^*$ . Отсюда  $|\alpha_A| \simeq 22 \div 37^\circ$ , что согласуется с данными по вероятности радиационного распада (56).

Проводились также поиски другого радиационного распада  $D$  (1285)-мезона:



При этом использовалась статистика для реакции  $\pi^- p \rightarrow \pi^+ \pi^- \gamma$ , а обработка данных велась тем же методом, что и при исследовании распада (56). Для выделения радиационных процессов с участием  $\rho$ -мезона было введено требование на массу двухпионаной системы  $550 < M_{\pi^+\pi^-} < 850$  МэВ. Для калибровок и мониторирования использовались данные для реакций  $\pi^- p \rightarrow \eta^- n$ ;  $\eta' \rightarrow \rho\gamma \rightarrow \pi^+\pi^-\gamma$  и  $\pi^- p \rightarrow D$  (1285)  $n$ ;  $D$  (1285)  $\rightarrow K^+ K^- \pi^0$  из экспериментов на установке «Лептон-Ф» (см. рис. 18 и рис. 4). Распад (60) не был обнаружен, и получены ограничения для его относительной вероятности и парциальной ширины

$$\left. \begin{aligned} BR [D (1285) \rightarrow \rho\gamma] &< 5\%; \\ \Gamma [D (1285) \rightarrow \rho\gamma] &< 1250 \text{ кэВ} \end{aligned} \right\} \quad (61)$$

(95 %-ная достоверность) [78].

При анализе спектра масс  $\rho\gamma$ -системы в распадах  $J/\psi \rightarrow \gamma\gamma\rho$  на установке MARK III получены указания на наблюдение радиационных распадов (60) с шириной  $\Gamma [D (1285) \rightarrow \rho\gamma] = (2600 \pm 700)$  кэВ [79]. Этот результат заметно превышает верхний предел (61), а также теоретические оценки (см. табл. 1).

**3.4. О природе  $E$  (1420)-мезона.** Как уже отмечалось выше, вопрос о природе  $E$  (1420)-мезона тесно связан с проблемой  $E/\iota$  и со структурой аксиального мезонного nonета. Результаты исследований области масс  $E/\iota$  в адронных реакциях носят противоречивый характер. В одних опытах наблюдаются мезоны с квантовыми числами  $J^{PC} = 0^{-+}$ , а в других — с  $J^{PC} = 1^{++}$ . В частности, в реакциях перезарядки типа  $\pi^- p \rightarrow (K\bar{K}\pi) n$  в спектре эффективных масс  $K\bar{K}\pi$ -системы наблюдается псевдоскалярное состояние, а в реакциях центрального рождения — аксиально-векторное состояние [см. [61], а также приложение]. Возможно, что здесь в разных процессах

\* Обозначение „ $D$  (1285)” означает, что это состояние с массой и шириной  $D$  (1285)-мезона наблюдается в спектре эффективных масс, но его квантовые числа надежно не определены. Поэтому соответствующие данные по  $|\alpha_A|$  являются предварительными.

проявляются разные мезоны. Возможно также, что процедуры фазового анализа, используемые для определения квантовых чисел мезона, не являются совершенными и в некоторых случаях приводят к неправильным результатам. Так или иначе, здесь требуются новые исследования.

Такой новый подход может быть реализован при анализе данных о радиационных распадах мезонов. В спектре масс  $K^+K^-\pi^0$ -системы в реакции перезарядки (5) наблюдается узкий пик, соответствующий образованию  $D$  (1285)-мезона, и некоторая структура в области масс  $E/\mu$  (см. рис. 4). Сделаем предположение, что в этих опытах образуются  $D$  (1285)- и  $E$  (1420)-мезоны, принадлежащие к одному аксиальному мезонному нонету. Тогда в рамках простой квартовой модели можно показать, что отношение сечений перезарядки  $\sigma [\pi^-p \rightarrow D(1285)n]/\sigma [\pi^-p \rightarrow E(1420)n] = \text{tg}^{-2}\alpha_A$  [64], а отношение вероятностей радиационных распадов  $BR[D(1285) \rightarrow \varphi\gamma]/BR[E(1420) \rightarrow \varphi\gamma] = (\Gamma_E/\Gamma_D)(K_D/K_E)^3 \text{tg}^2 \alpha_A$  (здесь  $K_D$ ,  $K_E$  — импульсы фотонов для соответствующих распадов, а  $\Gamma_D$  и  $\Gamma_E$  — полные ширины мезонов). Отсюда ожидаемое отношение для числа событий радиационных распадов (55)

$$R = \frac{N[E(1420) \rightarrow \varphi\gamma]}{N[D(1285) \rightarrow \varphi\gamma]} = \frac{\sigma[\pi^-p \rightarrow E(1420)n] BR[E(1420) \rightarrow \varphi\gamma]}{\sigma[\pi^-p \rightarrow D(1285)n] BR[D(1285) \rightarrow \varphi\gamma]} = (K_E/K_D)^3 (\Gamma_D/\Gamma_E) \simeq 1,4. \quad (62)$$

Эксперимент (рис. 24) дает для этого отношения верхний предел

$$R_{\text{эксп}} < 0,6 \quad (95\% \text{-ная достоверность}) \quad (63)$$

(при вычитании фона этот предел составляет  $< 0,4$ ).

Таким образом, результат опыта, в котором наблюдается радиационный распад  $D$  (1285)-мезона и не наблюдается такой же распад аксиального мезона массой 1420 МэВ и шириной 55 МэВ, свидетельствует о том, что  $E$  (1420)-мезон не принадлежит к аксиальному нонету [в предположении, что выполняется простое квартовое соотношение (62)]. Заметим, что справедливость такого подхода проверена в опытах по перезарядке для псевдоскалярных ( $\eta$ ;  $\eta'$ )- и векторных ( $\omega$ ;  $\varphi$ )-мезонов (см. [75] и разд. 2).

Если вместо  $E$  (1420) в аксиальный нонет входит мезон с  $M \geq 1,5 \div 1,6$  ГэВ и  $\Gamma > 150 \div 200$  МэВ, то ожидаемое число событий для его  $\varphi\gamma$ -распада не противоречит данным настоящего эксперимента. Для  $D'$  (1530)-мезона с  $M = 1530$  МэВ и  $\Gamma = 107$  МэВ [66, 67]  $R_{D' \text{ эксп}} < 1,1$  (95 %-ная достоверность), а  $R_{D' \text{ ожидаем}} \simeq 1,4$  [т. е. здесь нет большого противоречия, и  $D'$ -мезон может входить в  $D$ -мезоном в один аксиальный  $SU(3)$ -нонет].

В релятивистской модели радиационных распадов мезонов [69] для отношения парциальных радиационных ширин предсказывается более сложная зависимость от импульса фотона, чем та, которая использована при выводе (62). В этой модели получены следующие предсказания:  $R_{E(1420) \text{ теор}} = 0,63$  и  $R_{D'(1530) \text{ теор}} = 0,45$  [в пред-

положениях, что в аксиальный nonet мезонов вместе с  $D$  (1285) входит  $E$  (1420) или  $D'$  (1530)]. Сравнение с экспериментальными ограничениями также показывает, что  $E$  (1420)-мезон, скорее всего, не входит в аксиальный nonet, хотя этот вывод становится менее значимым, чем тот, который делался ранее на основании (62).

Вопрос о природе  $E$  (1420)-мезона остается пока открытым. При его анализе следует иметь в виду и данные о радиационных ф $\gamma$ -распадах, и противоречивые результаты опытов по определению квантовых чисел  $E$  (1420)-мезона в адронных пучках, и обнаружение  $E$  (1420)-пика в  $\gamma\gamma^*(Q^2)$ -содарениях на  $e^+e^-$ -коллайдерах, и наблюдение распадов  $J/\psi \rightarrow \omega E$  (1420) [при отсутствии  $J/\psi \rightarrow \phi E$  (1420)]. Некоторые модели для  $1^{++}$ -семейства представлены в табл. 2. По-видимому, вся совокупность данных о  $E$  (1420)-мезоне может быть объяснена в предположении, что эта частица, даже если она и имеет квантовые числа  $J^{PC} = 1^{++}$ , не принадлежит к аксиальному  $SU(3)$ -nonету, и является, скорее всего, «лишним» экзотическим адроном.

#### 4. ПОИСКИ РАДИАЦИОННЫХ РАСПАДОВ $M(0^{-+}) \rightarrow \phi\gamma$ И $f'_2(1525) \rightarrow \phi\gamma$

Проведены исследования спектра масс ф $\gamma$ -системы для событий (7), соответствующих требованию  $|\cos \vartheta_{x-y}| < 2/3$ , т. е. в условиях, когда отбираются события, обогащенные состояниями со спиральностью ф-мезонов  $\lambda_\phi = \pm 1$ . При этом вклад от распадов  $M(J^{PC} = 1^{++}) \rightarrow \phi\gamma$  подавлен более чем в 3 раза, а распады  $M(J^{PC} = 0^{-+}) \rightarrow \phi\gamma$  выделяются с большой эффективностью. Однако, как показали результаты исследования спектра масс ф $\gamma$ , полученного при таком отборе, в этих условиях могут быть определены только верхние границы для произведения сечений образования и вероятностей радиационных распадов мезонов  $\eta$  (1440) и  $\eta$  (1275) с квантовыми числами  $J^{PC} = 0^{-+}$ :

$$\sigma [\pi^- p \rightarrow \eta (1440) n] BR [\eta (1440) \rightarrow \phi\gamma] < 2,4 \cdot 10^{-33} \text{ см}^2; \quad (64)$$

$$\sigma [\pi^- p \rightarrow \eta (1275) n] BR [\eta (1275) \rightarrow \phi\gamma] < 1,3 \cdot 10^{-33} \text{ см}^2. \quad (65)$$

Заметим, что из (57) и (63) следует, что для  $E$  (1420)-мезона с  $J^{PC} = 1^{++}$

$$\sigma [\pi^- p \rightarrow E (1420) n] BR [E (1420) \rightarrow \phi\gamma] < 0,9 \cdot 10^{-33} \text{ см}^2 \quad (66)$$

[все пределы (64)–(66) приводятся с 95 %-ной достоверностью].

При анализе событий  $K^- N \rightarrow (\phi\gamma) Y$  и  $K^- N \rightarrow K^+ K^- Y$  установлено следующее ограничение для вероятности радиационного распада тензорного  $f'_2(1525)$ -мезона:

$$\begin{aligned} BR [f'_2(1525) \rightarrow \phi\gamma] &= \Gamma [f'_2(1525) \rightarrow \phi\gamma] / \Gamma [f'_2(1525) \rightarrow K^+ K^-] < \\ &< 4 \cdot 10^{-3} \end{aligned} \quad (67)$$

(95 %-ная достоверность).

## Таблица 2. Модели для

Модель для нейтральных мезонов  $I = 0$ 1. Очень старая модель:  $D$  (1285)- и  $E$  (1420)-мезоны — члены ионета  $1^{++}$ 

$$|D(1285)\rangle = \frac{1}{\sqrt{2}} (\bar{u}\bar{u} + \bar{d}\bar{d}) \cos \alpha_A - \bar{s}\bar{s} \sin \alpha_A$$

$$|E(1420)\rangle = -\frac{1}{\sqrt{2}} (\bar{u}\bar{u} + \bar{d}\bar{d}) \sin \alpha_A - \bar{s}\bar{s} \cos \alpha_A$$

Идеальное смешивание:  $\alpha_A = 0$  ( $\vartheta_A = \vartheta_0$ )

$$(\alpha_A = \vartheta_A - \vartheta_0; \vartheta_0 = 35,3^\circ)$$

2. В состав аксиального ионета входят  $D$  (1285) и  $|1^{++}\rangle$  с  $M \gtrsim 1,5 \div 1,6$  ГэВ;  $\Gamma \gtrsim 150$  МэВ. Возможно, что эта частица  $D'$  (1530)-мезон.  $E$  (1420)-мезон не принадлежит к аксиальному ионету («лишний» экзотический мезон? [53, 61])3. Новая модель (J. Iizuka e. a. [80]):  $D$  (1285)-мезон — это  $\bar{s}\bar{s}$ -мезон в  $1^{++}$ -ионете.  $\frac{1}{\sqrt{2}} (\bar{u}\bar{u} + \bar{d}\bar{d})$  — член этого ионета имеет массу  $\simeq (1075 \pm 25)$  МэВ (почти вырожденную с  $A_1$ -мезоном). Распады этого мезона (по каналам  $\eta\pi\pi$ ,  $4\pi$ ,  $\rho 2\pi$ ) не наблюдались из-за большого фона

4. III. С. Еремян, А, Э. Назарян [81]

Модель  $J^{PC} = 1^{++}$  семейства как 10 мезонов (смешивание с глюболом)

$$|\psi\rangle = x | \frac{1}{\sqrt{2}} (\bar{u}\bar{u} + \bar{d}\bar{d}) \rangle + y |\bar{s}\bar{s}\rangle + z |G\rangle (x^2 + y^2 + z^2 = 1)$$

	$D$ (1285)	$E$ (1420)	$D'$ (1530)
$x$	$0,74 \pm 0,04$	$-0,31 \pm 0,03$	$0,60 \pm 0,05$
$y$	$-0,67 \pm 0,04$	$-0,43 \pm 0,07$	$0,61 \pm 0,03$
$z$	$0,07 \pm 0,01$	$-0,85 \pm 0,05$	$-0,53 \pm 0,07$

**$1^{++}$ -ионета и  $E(1420)$ -мезона****Проблемы и выводы**

а)  $R_{\text{эксп}} = N [E \rightarrow \phi\gamma] / N [D \rightarrow \phi\gamma] < 0,6$  (95%-ный уровень достоверности) должно быть  $R = 1,4$  [см. (62), (63)]

б) Большая  $ss$ -компоненты в  $D(1285)$ , несовместимая с идеальным смешиванием ( $|\alpha_A| > 30^\circ$ )

в) Данные по образованию  $D(1285)$ - и  $E(1420)$ -мезонов в  $\gamma\gamma^*(Q^2 \neq 0)$ -содарениях несовместимы с идеальным смешиванием ( $10 < \alpha_A \lesssim 30^\circ$ )

г) Наблюдаются распады  $J/\psi \rightarrow \omega E(1420)$  и не наблюдаются  $J/\psi \rightarrow \phi E(1420)$

Резюме:  $E(1420)$ , по-видимому, не принадлежит к аксиальному ионету. В аксиальном ионете сильно нарушено идеальное смешивание

В этом случае нет особых трудностей с отношением  $R$  (63) [даже для  $D'(1530)$ -мезона].

Сильное нарушение идеального смешивания в аксиальном ионете

В этой модели нет трудностей с  $D(1285) \rightarrow \phi\gamma$ -распадом.

$E(1420)$ -мезон в ней не принадлежит к аксиальному ионету. Однако необходимо очень тщательно исследовать все экспериментальные данные по  $D(1285)$ -мезону, чтобы убедиться, что нет противоречий со столь революционной моделью

В этой модели:

а) большая  $ss$ -компоненты в  $D(1285)$  ( $|\sigma_A| \sim 40^\circ$ );

б) Нет трудностей с отношением

$R_E = N [E(1420) \rightarrow \phi\gamma] / N [D(1285) \rightarrow \phi\gamma] < 0,6$ , так как в этой модели есть не один угол смешивания, а два параметра. Теоретическое предсказание:

$$R_E = 0,09 \pm 0,05, \text{ т. е. } < 0,6$$

} Нет трудностей с  $D(1285) \rightarrow \phi\gamma$ -распадом

Проблема: Глюбол с  $1^{++}$ , сильно смешанный с другими  $1^{++}$ -мезонами? Состояние  $(gg)$  сомнительно из-за теоремы Ландау—Янга. Состояние  $(ggg)$ , по-видимому, должно иметь большую массу

В большинстве теоретических моделей [70, 76, 77] значение  $BR[f'_2(1525) \rightarrow \phi\gamma]$  лежит в пределах от  $2,5 \cdot 10^{-3}$  до  $2,5 \cdot 10^{-2}$ . Из относительной вероятности  $BR[f'_2(1525) \rightarrow \gamma\gamma] = (1,6 \pm 0,7) \cdot 10^{-6}$  [27] и из модели векторной доминантности ожидаемое значение  $BR[f'_2(1525) \rightarrow \phi\gamma]$  составляет  $6 \cdot 10^{-4} - 1,6 \cdot 10^{-3}$  (получено из [70]).

## 5. ИССЛЕДОВАНИЯ ЭЛЕКТРОМАГНИТНЫХ РАСПАДОВ $\eta \rightarrow \mu^+\mu^-$ , $\eta \rightarrow \mu^+\mu^-\gamma$ , $\eta' \rightarrow \mu^+\mu^-\gamma$ и $\omega \rightarrow \pi^0\mu^+\mu^-$

**5.1. Эксперименты на установке «Лептон-Г» и поиски электромагнитных лептонных распадов  $\eta$ -,  $\eta'$ - и  $\omega$ -мезонов.** На установке «Лептон-Г» (представлявшей собой один из предшествовавших вариантов спектрометра «Лептон») в 1978—1980 гг. был выполнен большой цикл экспериментов по обнаружению и исследованию конверсионных электромагнитных распадов [10—12] \*:

$$\eta \rightarrow \mu^+\mu^-\gamma; \quad (68)$$

$$\eta' \rightarrow \mu^+\mu^-\gamma; \quad (69)$$

$$\omega \rightarrow \pi^0\mu^+\mu^- \quad (70)$$

Был также исследован распад [13]

$$\eta \rightarrow \mu^+\mu^-, \quad (71)$$

обнаруженный ранее в опытах в CERN [82].

Проведены поиски процессов

$$\eta \rightarrow \pi^0\mu^+\mu^-; \quad (72)$$

$$\eta \rightarrow \pi^0\mu^+\mu^-\gamma; \quad (73)$$

$$\eta' \rightarrow \pi^0\mu^+\mu^-; \quad (74)$$

$$\eta' \rightarrow \eta\mu^+\mu^- \quad (75)$$

и установлены верхние границы для их относительных вероятностей [14].

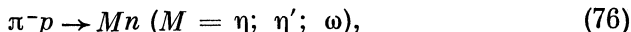
Установка «Лептон-Г» [10, 83], на которой были выполнены эти исследования (рис. 25), представляла собой комбинированный спектрометр, позволявший эффективно регистрировать процессы с одновременным испусканием мюонных пар и  $\gamma$ -квантов.

В состав установки входили детекторы первичного пучка, мишень с охранными счетчиками, проволочные пропорциональные камеры для измерения координат заряженных частиц непосредственно за мишенью. Для измерения координат и энергий  $\gamma$ -квантов использовался 64-канальный гаммаэлектронный спектрометр со счетчиками из свинцового стекла. Регистрация мюонных пар и измерение их импульсов осуществлялись в широкоапertureном магнитном спектрометре с проволочными искровыми камерами и в многоканальном мюонном детекторе.

\* Физика конверсионных распадов обсуждается в п. 5.2.

Эксперименты проводились на пучках вторичных отрицательных частиц 70 ГэВ ускорителя ИФВЭ импульсами  $p_{\pi^-}$ , равными 25 и 33 ГэВ, и интенсивностью до  $4 \cdot 10^6$  част./цикл.

Источником мезонов служили с квазидвухчастичные эксклюзивные реакции типа



подробно исследованные в рабочем диапазоне энергий и обеспечивающие благоприятные фоновые условия для поисков и изучения редких процессов электромагнитных распадов.

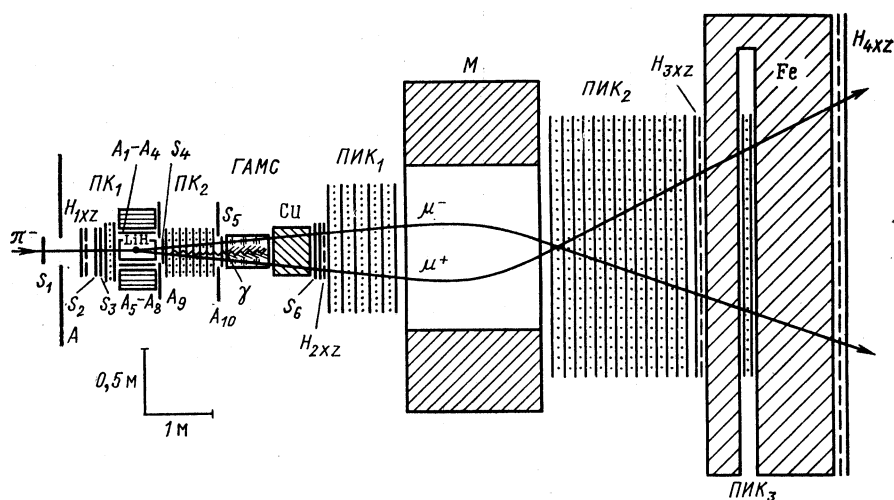


Рис. 25. Схема экспериментальной установки «Лептон-Г»:

$S_1 - S_6$  — сцинтилляционные счетчики;  $A_1 - A_{10}$  — охранные сцинтилляционные счетчики;  $\Pi K_1 - \Pi K_3$  — проволочные искровые камеры;  $H_{1xz} - H_{4xz}$  — сцинтилляционные гаммоскопы; ГАМС — гаммоспектрометр; Си — медный фильтр; М — магнит

Одной из особенностей установки «Лептон-Г» являлось расположение гамма-спектрометра и стоящего за ним медного фильтра вблизи мишени установки, перед широкоапertureным магнитным спектрометром. Такая конфигурация экспериментальной аппаратуры позволила существенно снизить фон от распадов вторичных  $\pi$ - и  $K$ -мезонов на лету с испусканием мюонов, а также уменьшить габариты гамма-детектора. Кроме того, при этом в несколько раз снижалась загрузка искровых камер магнитного спектрометра, что позволило увеличить интенсивность первичного пучка.

За время измерений через установку было пропущено около  $5 \cdot 10^{11} \pi^-$ -мезонов, что соответствовало образованию в мишени  $\sim 2 \cdot 10^7$   $\eta$ -мезонов и по  $\sim 10^7$   $\eta'$ - и  $\omega$ -мезонов в бинарных реакциях (76).

На первом этапе обработки экспериментальных данных были отобраны события с двумя энергичными мюонами ( $E_\mu > 4,5$  ГэВ), зарегистрированными в магнитном спектрометре.

Далее был проведен поиск электромагнитных ливней в гамма-спектрометре и выделены события без  $\gamma$ -квантов, а также с одним, двумя и даже тремя  $\gamma$ -квантами в конечном состоянии. Для окончательного анализа были отобраны события, кинематика которых соответствовала эксклюзивным реакциям

$$\pi^- p \rightarrow \mu^+ \mu^- (\gamma) n \quad (77)$$

( $k = 0; 1; 2; 3$ ).

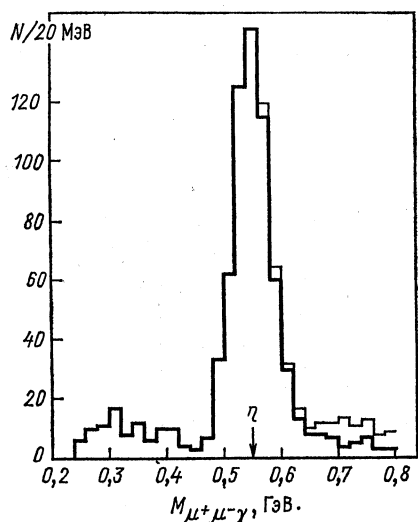
На рис. 26 приведен спектр эффективных масс  $\mu^+ \mu^- \gamma$ -системы для событий типа (77) для  $k = 1$  при  $E_\gamma > 1,5$  ГэВ. В этом спектре очень хорошо выделяется пик с эффективной массой 563 МэВ, что, с учетом систематических погрешностей, согласуется с табличным значением массы  $\eta$ -мезона. Ширина пика ( $\Gamma < 60$  МэВ) соответствует аппаратурному разрешению установки. В пике содержится около 600 событий (при уровне фона, не превышающем 8 %). Таким образом, было экспериментально установлено существование распада  $\eta$ -мезона на мюонную пару и  $\gamma$ -квант:  $\eta \rightarrow \mu^+ \mu^- \gamma$ .

Поиски распадов  $\eta' \rightarrow \mu^+ \mu^- \gamma$ , ожидаемое число которых должно было находиться на существенно более низком уровне, чем для (68),

Рис. 26. Спектр масс  $\mu^+ \mu^- \gamma$ -системы в реакции  $\pi^- p \rightarrow (\mu^+ \mu^- \gamma) n$  при  $E_\gamma > 1,5$  ГэВ. Пик соответствует распаду  $\eta \rightarrow \mu^+ \mu^- \gamma$ :

стрелка — табличное значение массы  $\eta$ -мезона; тонкая гистограмма — все события; жирная гистограмма — события с  $M_{\mu^+ \mu^-} < 0,24$  ГэВ<sup>2</sup>, использованные для определения переходного формфактора  $\eta$ -мезона

проводились при исследовании состояний в области выше массы  $\eta$ -мезона. Для максимального подавления фона вводились более жесткие обрезания по энергии фотонов, регистрируемых в гамма-спектрометре:  $5 < E_\gamma < 16$  ГэВ. Как показал анализ по Монте-Карло, эти обрезания уменьшали эффективность регистрации распада (69) не более чем на 25 %. В то же время увеличение порога по энергии  $\gamma$ -квантов позволило дополнительно подавить фон от регистрации адронных ливней, а обрезание по максимальной энергии ( $E_\gamma < 16$  ГэВ) уменьшало фон от быстрых  $\pi^0$ -мезонов, для которых ливни от двух  $\gamma$ -квантов не разрешались в детекторе. Окончательный спектр эффективных масс  $\mu^+ \mu^- \gamma$ -системы из (77) для  $k = 1$  и  $M_{\mu^+ \mu^-} > m_\eta$  приведен на рис. 27.



В этом спектре наблюдается четкий пик при массе  $M = (0,95 \pm 0,01)$  ГэВ, соответствующей табличному значению массы  $\eta'$ -мезона. Ширина пика обусловлена экспериментальным разрешением. В пике, за вычетом 20 % фона, содержится  $33 \pm 7$  событий  $\eta' \rightarrow \mu^+\mu^-\gamma$ -распада.

Распад  $\omega \rightarrow \pi^0\mu^+\mu^-$  был обнаружен при анализе эксклюзивных событий (77) с двумя мюонами и двумя  $\gamma$ -квантами ( $E_\gamma > 1$  ГэВ) в конечном состоянии. Специальные калибровочные измерения

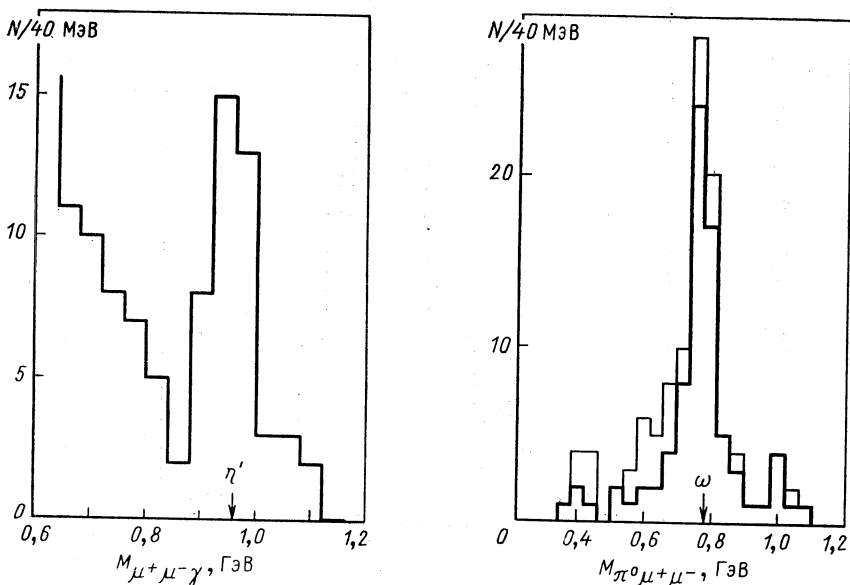


Рис. 27. Спектр масс  $\mu^+\mu^-\gamma$ -системы в реакции  $\pi^-p \rightarrow (\mu^+\mu^-\gamma)n$  в области выше  $m_{\eta'}$ . Стрелкой указано табличное значение массы  $\eta'$ -мезона

Рис. 28. Спектр масс  $\mu^+\mu^-\pi^0$ -системы в реакции  $\pi^-p \rightarrow (\pi^0\mu^+\mu^-)n$  для событий с  $M_{\mu^+\mu^-} < 0,4$  ГэВ<sup>2</sup> (использованных затем для измерения переходного формфактора). Пик соответствует распаду  $\omega \rightarrow \pi^0\mu^+\mu^-$ . Стрелкой показано табличное значение массы  $\omega$ -мезона. Внешняя и внутренняя гистограммы соответствуют порогам по энергии  $\gamma$ -квантов, равным 1 и 1,4 ГэВ соответственно [с ростом ( $E_\gamma$ )порог улучшились фоновые условия опыта]

показали, что эффективность одновременной регистрации двух фотонных ливней в гамма-детекторе близка к 100 % при расстояниях между осями ливней, больших 30 мм. Как показало моделирование по Монте-Карло, это как раз та область, в которую попадали практически все события от распада  $\omega \rightarrow \pi^0\mu^+\mu^-$ , так что для них поправка на потери при регистрации двух ливней не превышала 1 %.

На рис. 28 представлено распределение по эффективной массе  $M_{\pi^0\mu^+\mu^-}$  для событий с  $M_{\gamma\gamma} \simeq m_{\pi^0}$ . Для уменьшения фона были

отобраны события с  $M_{\mu^+\mu^-}^2 < 0,4$  ГэВ<sup>2</sup> — в той кинематической области, где в дальнейшем исследовался переходный формфактор  $\omega^0$ -вершины. В спектре масс наблюдался четкий пик, соответствующий табличному значению массы  $\omega$ -мезона. После вычитания 11 %-ного нерезонансного фона и 3 %-ного расчетного фона от процессов  $\omega \rightarrow \pi^+\pi^-\pi^0$ ;  $\pi^\pm \rightarrow \mu^\pm + \nu$  (распад пионов на лету перед гамма-детектором и поглотителем установки) и  $\rho^0 \rightarrow \pi^0\mu^+\mu^-$  пик содержит

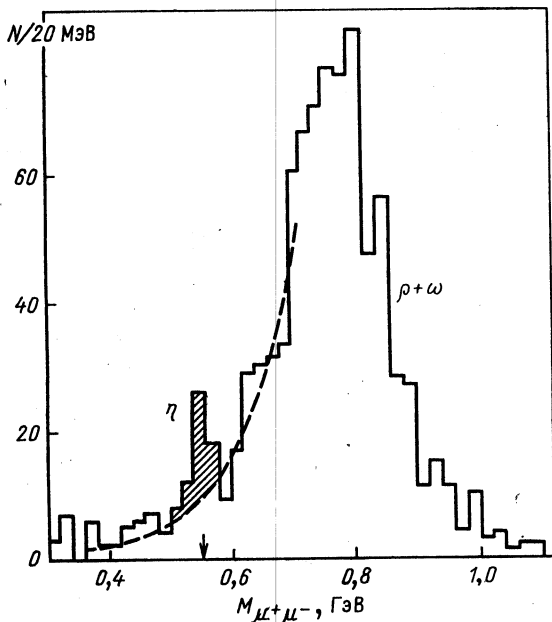


Рис. 29. Спектр масс  $\mu^+\mu^-$ -пар в реакции  $\pi^-p \rightarrow (\mu^+\mu^-)n$ . Стрелкой указано табличное значение массы  $\eta$ -мезона. Пунктирная кривая — результат фитирования фона. Заштрихованный пик соответствует  $\eta \rightarrow \mu^+\mu^-$ -распаду

$60 \pm 9$  событий (70). Его ширина соответствует аппаратному разрешению.

Для выделения распада (71) проводился анализ событий, удовлетворявших кинематике типа (77) с  $k = 0$  и двумя жесткими мюонами, не сопровождающимися дополнительными треками заряженных частиц из вершины взаимодействия. Кроме того, требовалось, чтобы в гамма-спектрометре установки «Лептон-Г» (рис. 25) отсутствовали фотонные или адронные ливни, т. е. гамма-спектрометр использовался в режиме «антисовпадений» с низким порогом по энергии (0,5 ГэВ для  $\gamma$ -кванта). Исследован спектр эффективных масс мюонных пар для отобранных событий (рис. 29).

В этом спектре доминирует процесс  $\pi^-p \rightarrow \rho(\omega)n$ ;  $\rho(\omega) \rightarrow \mu^+\mu^-$ . В области масс  $\eta$ -мезона наблюдается пик, который соответствует

Таблица 3. Результаты экспериментальных исследований редких электромагнитных распадов легких мезонов на установке «Лептон-Г»

Литера- тура	Распад	Число собы- тий	Относительная вероятность $BV^*$			Фит для формфактора $F(q^2)$	Фит для формфактора $F(q^2)$	Наклон формфактора $b_{\text{эксп.}} - b_{\text{VDM}}$
			Эксперимент	VDM	КЭД			
[10]	$\eta \rightarrow \mu^+ \mu^- \gamma$	600	$(3,1 \pm 0,4) \cdot 10^{-4}$	$(3,08 - 3,13) \cdot 10^{-4}$	$2,1 \cdot 10^{-4}$	$(1 - q^2/\Lambda_0^2)^{-1}$ $\Lambda_0 = (0,72 \pm 0,09)$	$1,9 \pm 0,4$	1,8
[11]	$\eta' \rightarrow \mu^+ \mu^- \gamma$	33	$(8,9 \pm 2,4) \cdot 10^{-5}$	$(7,0 - 8,7) \cdot 10^{-5}$	$3,4 \cdot 10^{-5}$	Качественное со- гласие с $\rho$ -полос- ным фитом	$1,7 \pm 0,4$	1,5
[12]	$\omega \rightarrow \pi^0 \mu^+ \mu^-$	60	$(9,6 \pm 2,3) \cdot 10^{-5}$	$8 \cdot 10^{-5}$	$5,0 \cdot 10^{-5}$	$(1 - q^2/\Lambda_0^2)^{-1}$ $\Lambda_0 = (0,65 \pm 0,03)$	$2,4 \pm 0,2$	1,7
[13]	$\eta \rightarrow \mu^+ \mu^-$	27	$(6,5 \pm 2,1) \cdot 10^{-6}$	$(4 - 5) \cdot 10^{-6}$	—	—	—	—
[14]	$\eta \rightarrow \pi^0 \mu^+ \mu^-$	—	$\leqslant 5 \cdot 10^{-6}$	—	—	—	—	—
	$\eta' \rightarrow \pi^0 \mu^+ \mu^-$	—	$\leqslant 6 \cdot 10^{-6}$	—	—	—	—	—
	$\eta' \rightarrow \eta \mu^+ \mu^-$	—	$\leqslant 1,5 \cdot 10^{-5}$	—	—	—	—	—
	$\eta \rightarrow \pi^0 \mu^+ \mu^- \gamma$	—	$\leqslant 3 \cdot 10^{-6}$	—	—	—	—	—

\* Указаны экспериментальные значения для относительных вероятностей распада  $BV$  (эксп.), а также ожидаемые вероятности в модели векторной доминанности  $[B_{\text{VDM}}(\text{VDM})]$  и для бесструктурных мезонов  $[B_{\text{КЭД}}(\text{КЭД})]$ .

\*\* Наклон формфактора  $b = dF/dq^2|_{q^2=0}$ . Если формфактор параметризуется в виде  $F_{AB} = (1 - q^2/\Lambda^2)^{-1}$ , то  $b = 1/\Lambda^2$ . Приводятся значения  $b_{\text{эксп.}}$ , а также предсказания для этих наклонов в VDM.

распаду  $\eta \rightarrow \mu^+ \mu^-$ . Ширина пика определяется аппаратурным разрешением, а масса, равная  $(551 \pm 4)$  МэВ, совпадает с табличным значением для  $\eta$ -мезона. Пик содержит  $27 \pm 8$  событий распада (71), возвышаясь над фоном более чем на пять стандартных отклонений. Фон под пиком имеет физическую природу и может быть описан в модели векторной доминантности как прямой процесс образования мюонных пар. Вклад распада  $\eta \rightarrow \mu^+ \mu^- \gamma$  с «потерянным» фотоном (а также распадов  $\pi$ -мезонов на лету с образованием мюонов) пренебрежимо мал.

Результаты измерений относительных вероятностей распадов (68)–(71), выполненных на установке «Лептон-Г», представлены в табл. 3 вместе с установленными в этих опытах значениями верхних пределов для вероятностей (72)–(75). Методика обработки данных, использованная при поисках (72)–(75), близка к той, которая применялась при выделении событий  $\omega \rightarrow \pi^0 \mu^+ \mu^-$ .

Вероятность распада (71)  $BR(\eta \rightarrow \mu^+ \mu^-) = (6,5 \pm 2,1) \cdot 10^{-6}$  оказалась втрое меньше значения, полученного ранее в работе [82], —  $(2,2 \pm 0,8) \cdot 10^{-5}$ . При сравнении результатов двух экспериментов по изучению  $\eta \rightarrow \mu^+ \mu^-$ -распада следует иметь в виду, что данные, полученные в Серпухове, являются более надежными, так как они отнормированы по хорошо определенной вероятности конверсионного распада  $\eta \rightarrow \mu^+ \mu^- \gamma$ , наблюдавшегося в том же опыте. Кроме того, измерение вероятности распада  $\rho \rightarrow \mu^+ \mu^-$  [84], проведенное в CERN на той же установке и одновременно с изучением распада (71), привело к  $BR(\rho \rightarrow \mu^+ \mu^-) = (0,97 \pm 0,31) \cdot 10^{-4}$ , которая существенно превышает среднее мировое значение  $BR(\rho \rightarrow e^+ e^-) = (0,45 \pm 0,02) \cdot 10^{-4}$  [27]. Поэтому можно думать, что в опытах [82, 84] имеется общая систематическая погрешность в нормировке, завышающая вероятность распадов  $M \rightarrow \mu^+ \mu^-$ .

Сравнительно большое значение  $BR(\eta \rightarrow \mu^+ \mu^-)$  из [82] находилось в противоречии с большинством теоретических оценок для этой вероятности. Это противоречие устранено результатом эксперимента по  $\eta \rightarrow \mu^+ \mu^-$ -распаду на установке «Лептон-Г» (более подробное обсуждение этой проблемы см. в [13, 15]).

**5.2. Конверсионные распады мезонов и их переходные электромагнитные формфакторы.** Для конверсионных распадов мезонов

$$A \rightarrow B + \gamma_V \rightarrow Bl^+l^-, \quad (78)$$

примерами которых являются процессы (68)–(70), вероятность образования лептонной пары с определенным значением эффективной массы  $M_{l^+l^-}$  пропорциональна вероятности испускания виртуального фотона с времениподобным 4-импульсом  $q^2 = M_{l^+l^-}^2$ . Вероятность испускания такого фотона обусловлена динамической электромагнитной структурой, возникающей в вершине перехода  $A \rightarrow B$ . Эта электромагнитная структура, обусловленная облаком виртуальных состояний в области перехода, характеризуется своим специфи-

ческим формфактором, получившим название переходного формфактора.

Данные об электромагнитной структуре области перехода  $A \rightarrow B$  можно получить, изучая зависимость вероятности распада  $A \rightarrow B + (l^+l^-)$  от квадрата эффективной массы лептонной пары  $q^2 = M_{l^+l^-}^2$ , т. е. при анализе спектра масс лептонных пар \*.

Если бы частицы  $A$  и  $B$  являлись бесструктурными объектами, то можно было бы с большой точностью рассчитать спектр масс лептонных пар  $[d\Gamma/dq^2]_{\text{кэд}}$  с помощью методов квантовой электродинамики. Сложная внутренняя структура частиц меняет этот спектр:

$$[d\Gamma/dq^2]_{\text{эксп}} = [d\Gamma/dq^2]_{\text{кэд}} |f_{AB}(q^2)|^2. \quad (79)$$

Сравнивая измеренный спектр лептонных пар в распадах (78) с расчетами по КЭД для точечных частиц, можно экспериментально определить квадрат переходного формфактора  $|f_{AB}(q^2)|^2$  во времениподобной области переданных импульсов.

Количественно спектр эффективных масс лептонных пар для конверсионных распадов (78), нормированный на ширину соответствующего радиационного  $A \rightarrow B\gamma$ -распада, имеет вид

$$\frac{d\Gamma[A \rightarrow Bl^+l^-]}{dq^2 \Gamma(A \rightarrow B\gamma)} = \left\{ \frac{\alpha}{3\pi} \left( 1 - \frac{4m_l^2}{q^2} \right)^{1/2} \left( 1 + 2\frac{m_l^2}{q^2} \right) \times \right. \\ \left. \times \frac{1}{q^2} \left[ \left( 1 + \frac{q^2}{m_A^2 - m_B^2} \right)^2 - \frac{4m_A^2 q^2}{(m_A^2 - m_B^2)^2} \right]^{3/2} \right\} |f_{AB}(q^2)/f_{AB}(0)|^2 \quad (80)$$

(для векторных и псевдоскалярных мезонов, т. е. для распадов  $V \rightarrow Pl^+l^-$  или  $P \rightarrow Vl^+l^-$ ). Здесь  $m_l$ ;  $m_A$ ;  $m_B$  — массы лептона и мезонов  $A$  и  $B$ ;  $q^2 = M_{l^+l^-}^2$ ;  $\{ \dots \} = [d\Gamma/dq^2]_{\text{кэд}}/\Gamma(A \rightarrow B\gamma)$  (т. е. для точечных частиц).

Будем обозначать нормированный формфактор  $A \rightarrow B$ -перехода

$$f_{AB}(q^2)/f_{AB}(0) = F_{AB}(q^2) \quad (81)$$

[нормировка имеет вид  $F_{AB}(0) = 1$ ].

Несколько отличным оказывается частный случай конверсионного распада псевдоскалярного мезона ( $A = P$ ), в котором вторичная частица  $B$  является  $\gamma$ -квантлом:

$$P \rightarrow l^+l^-\gamma \quad (82)$$

(соответствующий радиационный распад  $P \rightarrow 2\gamma$ ). Энергетический спектр лептонных пар для распадов типа (82) (нормированный на

\* Для нейтральных мезонов  $A$  и  $B$  однофотонные переходы (78) возможны, если зарядовые четности  $A$  и  $B$  имеют противоположный знак.

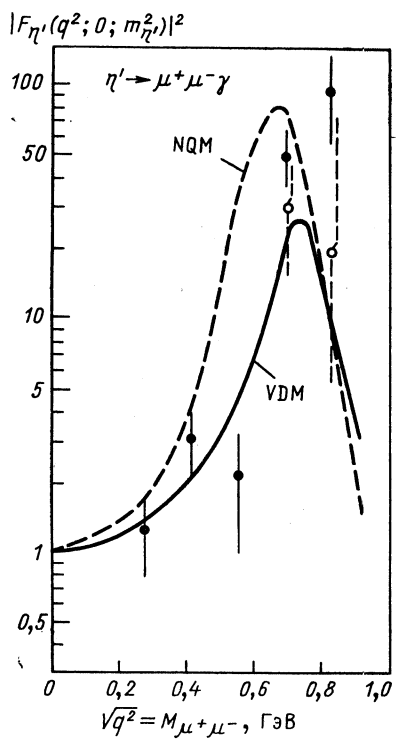
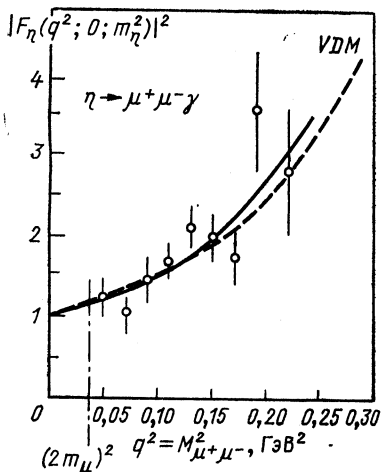


Рис. 30. Измерение электромагнитного переходного формфактора  $F_\eta(q^2) = F_\eta(q^2; 0; m_\eta^2)$   $\eta$ -мезона в распаде  $\eta \rightarrow \mu^+\mu^-\gamma$ . Точки — экспериментальные значения для  $|F_\eta(q^2; 0; m_\eta^2)|^2$ . Сплошная кривая — результат фитирования экспериментальных данных полосной зависимостью  $K(1-q^2/\Lambda_\eta^2)^{-2}$ , где  $\Lambda_\eta = (0,72 \pm 0,09)$  ГэВ, а коэффициент  $K$  учитывает погрешность в абсолютной нормировке результатов измерений  $|F_\eta|^2$ . Пунктирная кривая — предсказание, основанное на модели векторной доминантности

Рис. 31. Измерение электромагнитного переходного формфактора  $\eta'$ -мезона (в распаде  $\eta' \rightarrow \mu^+\mu^-\gamma$ ): черные точки — экспериментальные значения квадрата формфактора  $|F_{\eta'}(q^2; 0; m_{\eta'}^2)|^2$ ; светлые — то же, но с максимальной поправкой на 20%-ный фон под пиком  $\eta' \rightarrow \mu^+\mu^-\gamma$  на рис. 27 (в предположении, что весь фон лежит в области масс  $\rho$ -мезона); сплошная кривая — предсказания VDM; пунктир — предсказания, основанные на нелокальной квартковой модели NQM [85]

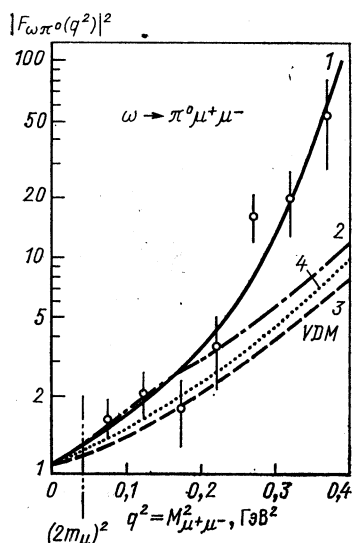
полную вероятность радиационного  $P \rightarrow 2\gamma$ -перехода) определяется выражением

$$\frac{d\Gamma(P \rightarrow l^+l^-\gamma)}{dq^2 \Gamma(P \rightarrow 2\gamma)} = \frac{2\alpha}{3\pi} \left(1 - \frac{4m_l^2}{q^2}\right)^{1/2} \times \\ \times \left(1 + 2\frac{m_l^2}{q^2}\right) \frac{1}{q^2} (1 - q^2/m_P^2)^3 |F_P(q^2)|^2. \quad (83)$$

Здесь  $m_P$  — масса псевдоскалярного мезона  $P$ , а  $F_P(q^2)$  — нормированный переходный формфактор для распада (82).

Мы будем также обозначать этот переходный формфактор как  $F_P(q^2; 0; m_P^2)$ , чтобы подчеркнуть, что второй фотон находится на массовой поверхности.

Хорошие фоновые условия, в которых были выделены распады (68)–(70), позволили изучить электромагнитные переходные формфакторы для вершин  $\eta - \gamma$ ,  $\eta' - \gamma$  и  $\omega - \pi^0$  в этих распадах. Для анализа спектров мюонных пар использовались соотношения (80) и (83). Результаты измерения переходных формфакторов представлены на рис. 30–32 и в табл. 3.



для наклона формфактора  $\eta$ -мезона  $[dF/\eta^2]_{q^2=0} = 1,8 \text{ ГэВ}^2$  (VDM — предсказание для остальных наклонов близки — см. табл. 3)

Рис. 32. Переходный формфактор для  $\omega - \pi^0$ -вершины (в распаде  $\omega \rightarrow \pi^0 \mu^+ \mu^-$ ): точки — экспериментальные значения  $|F_{\omega\pi^0}(q^2)|^2$ ; кривая 1 — результат фитирования экспериментальных данных полусиной зависимостью  $K(1 - q^2/\Lambda_\omega^2)^{-2}$  (коэффициент  $K$  учитывает неопределенность в абсолютной нормировке экспериментальных данных),  $\Lambda_\omega = (0,65 \pm 0,03) \text{ ГэВ}$ ; 2 — предсказание модели [86] с модифицированным  $\rho$ -пропагатором; 3 — вычислено по модели векторной доминантности; 4 — предсказание нелокальной кварковой модели [85].

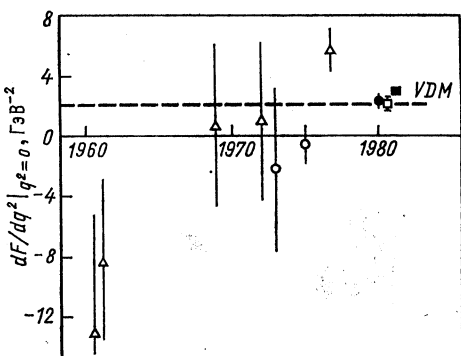


Рис. 33. Совокупность экспериментальных данных (по годам) по наклонам электромагнитных переходных формфакторов нейтральных мезонов  $[dF/dq^2]_{q^2=0}$ :

точки  $\Delta$  — распад  $\pi^0 \rightarrow e^+e^- \gamma$ ;  $\circ$  — распад  $\eta \rightarrow e^+e^- \gamma$  [10];  $\square$  — распад  $\eta' \rightarrow \mu^+\mu^- \gamma$  [11];  $\blacksquare$  — распад  $\omega \rightarrow \pi^0 \mu^+\mu^-$  [12]. Ссылки на исследования  $\pi^0 \rightarrow e^+e^- \gamma$  и  $\eta \rightarrow e^+e^- \gamma$  см. в [15]; пунктир — предсказание VDM

[15]; сплошная линия — предсказание [15] для остальных наклонов близки — см. табл. 3)

Общее поведение переходных формфакторов в целом согласуется с моделью векторной доминантности (VDM), хотя имеются некоторые отступления от предсказаний этой модели для  $\omega - \pi^0$ -переходов. Следует отметить, что такое согласие с VDM для процессов типа (82) установлено в опытах на «Лептон-Г» впервые (рис. 33). Последующий теоретический анализ, основанный на KXD, показал, что в этих распадах отступления от VDM должны быть малы (не превышают  $\sim 10\%$ ) [87]. При анализе переходных формфакторов в распадах (82) была также использована « $Q^2$ -дуальность», которая устанавливает эквивалентность двух различных описаний низкоэнергетических явлений — чисто феноменологического, основанного

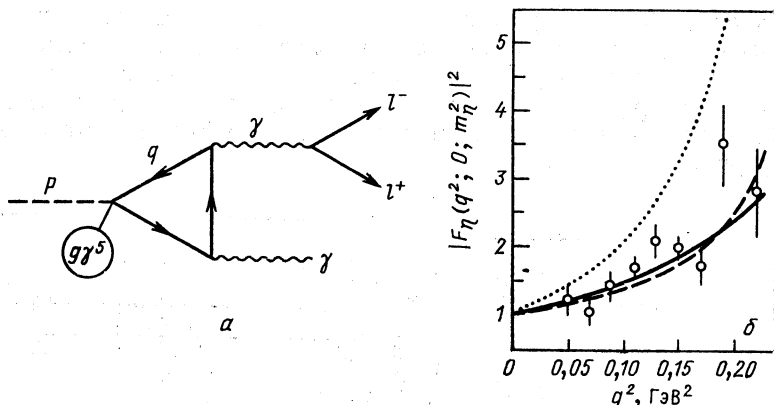


Рис. 34. Переходный формфактор  $\eta$ -мезона и  $Q^2$ -дуальность [88]:

**а** — диаграмма для распада  $\eta \rightarrow \mu^+\mu^-\gamma$  в модели квартковых петель; **б** — сравнение экспериментальных данных по переходному формфактору  $\eta$ -мезона  $|F_\eta(q^2; 0; m_\eta^2)|^2$  с предсказаниями, основанными на модели треугольных квартковых петель: точки — экспериментальные данные [10] — см. рис. 30; сплошная кривая — предсказания VDM; пунктир — результаты расчета в модели квартковых петель (в приближении «мягких мезонов») для волновой функции  $\eta$ -мезона  $|\eta\rangle = \frac{1}{\sqrt{3}}(u\bar{u} + d\bar{d} - s\bar{s})$  (т. е. для угла смешивания  $\vartheta_P = -19^\circ$ ) и масс квартков  $m_u = m_d = 0,25$  ГэВ и  $m_s = 0,35$  ГэВ; точечная кривая — модель с «двойным счетом», в которой зависимость от  $q^2$  получена с учетом и масс квартков и пропагатора векторного мезона (детали и ссылки см. в [15])

на векторной доминантности, и динамического, основанного на модели квартковых треугольных петель (с массами конституентных квартков), — см., например, [88] и рис. 34.

Подробный анализ данных по переходным формфакторам в электромагнитных распадах см. в [15].

## ЗАКЛЮЧЕНИЕ

Суммируем основные результаты экспериментов по адронной спектроскопии на установке «Лептон».

1. В опытах на установке «Лептон-Ф» исследована реакция перезарядки  $\pi^- p \rightarrow (\varphi\pi^0) n$  при импульсе 32,5 ГэВ. В спектре масс системы  $\varphi\pi^0$  доминирует пик с массой  $M = (1480 \pm 40)$  МэВ и шириной  $\Gamma = (130 \pm 60)$  МэВ.

2. Показано, что наблюдаемое состояние не может быть объяснено пороговыми эффектами типа дек-эффекта и является новым резонансом —  $C(1480)$ -мезоном.

3. Определено сечение эксклюзивного образования  $C(1480)$ -мезона:  $\sigma[\pi^- p \rightarrow C(1480) n] BR[C(1480) \rightarrow \varphi\pi^0] = (40 \pm 15) \cdot 10^{-33}$  см<sup>2</sup>.

4. Исследовано  $t'$ -распределение для процесса  $\pi^- p \rightarrow C(1480) n$  и показано, что эта реакция обусловлена π-обменом. ОРЕ-модель согласуется также с угловыми распределениями для каскадных распадов  $C(1480) \rightarrow \varphi\pi^0$  и  $\varphi \rightarrow K^+K^-$ .

5. Из данных по распаду  $C(1480) \rightarrow \varphi\pi^0$ ;  $\varphi \rightarrow K^+K^-$  следует (безмодельным образом), что  $C(1480)$ -мезон имеет изотопический спин  $J = 1$ , отрицательную зарядовую четность и спин  $J > 0$ . При анализе угловых распределений в модели ОРЕ определены его квантовые числа  $J^{PC} = 1^{--}$ .

6. Получен ряд ограничений для распадных каналов  $C(1480)$ -мезона:

$$BR [C(1480) \rightarrow \pi^+\pi^-] BR [C(1480) \rightarrow \varphi\pi^0] \simeq (1 - 2) \cdot 10^{-3};$$

$$BR [C(1480) \rightarrow \bar{K}^*K + K^*\bar{K}] / BR [C(1480) \rightarrow \varphi\pi^0] < 4,8;$$

$$BR [C(1480) \rightarrow K^+K^-\pi^0] / BR [C(1480) \rightarrow \varphi\pi^0] < 1,5.$$

Все пределы приведены с 95 %-ной достоверностью.

7. Получено ограничение  $BR [C(1480) \rightarrow \varphi\pi^0] / BR [C(1480) \rightarrow \omega\pi^0] > 1/2$  (95 %-ная достоверность). Для обычных  $qq$ -мезонов это отношение должно быть  $\sim \frac{1}{200} \div \frac{1}{400}$  (из правила OZI). Отсюда сделан вывод, что  $C(1480)$ -мезон является сильным кандидатом в экзотическое состояние. Свойства  $C$ -мезона можно объяснить в рамках его интерпретации как четырех夸克ового состояния или гибридного кварк-глюонного мезона:

$$\begin{aligned} |C(1480)\rangle &= \left| \frac{1}{\sqrt{2}} (u\bar{u} - d\bar{d}) s\bar{s} \right\rangle \text{ или } |C(1480)\rangle = \\ &= \left| \frac{1}{\sqrt{2}} (u\bar{u} - d\bar{d}) g \right\rangle. \end{aligned}$$

8. Получено ограничение на вероятность подавленного (по правилу отбора OZI) распада  $B(1235^0)$ -мезона:

$$BR [B(1235)^0 \rightarrow \varphi\pi^0] < 5 \cdot 10^{-3} \text{ (95 %-ная достоверность).}$$

9. Исследована OZI-запрещенная реакция  $\pi^- p \rightarrow \varphi n$  при импульсе 32,5 ГэВ. Определены сечение этого процесса  $\sigma(\pi^- p \rightarrow \varphi n) = (13 \pm 5) \times 10^{-33} \text{ см}^2$  и отношение  $R(\varphi/\omega)|_{p_{\pi^-}=32,5 \text{ ГэВ}} = \frac{\sigma(\pi^- p \rightarrow \varphi n)}{\sigma(\pi^- p \rightarrow \omega n)}|_{p_{\pi^-}=32,5 \text{ ГэВ}} = (0,42 \pm 0,17) \cdot 10^{-2}$ .

10. Обнаружен радиационный распад  $D(1285) \rightarrow \varphi\gamma$ . Определено отношение  $BR [D(1285) \rightarrow \varphi\gamma] / BR [D(1285) \rightarrow K\bar{K}\pi] = (0,82 \pm 0,21 \pm 0,2) \cdot 10^{-2}$ . С использованием табличных данных определены относительная вероятность  $BR [D(1285) \rightarrow \varphi\gamma] = (0,9 \pm 0,2 \pm 0,4) \cdot 10^{-3}$  и парциальная ширина  $\Gamma [D(1285) \rightarrow \varphi\gamma] = (23 \pm 5 \pm 10) \text{ кэВ}$ .

Сделан вывод о сильном нарушении идеального смешивания в нонете аксиальных мезонов.

11. Не найдено распада  $E(1420) \rightarrow \varphi\gamma$ ; полученные ограничения показывают, что  $E(1420)$ -мезон, по-видимому, не принадлежит к аксиальному нонету.

12. Получены ограничения для вероятностей радиационных распадов  $BR [f_2(1525) \rightarrow \phi\gamma] = \Gamma [f_2(1525) \rightarrow \phi\gamma]/\Gamma [f_2(1525) \rightarrow K^+K^-] < 4 \cdot 10^{-3}$ ;  $BR [\omega \rightarrow \pi^+\pi^-\gamma] < 4 \cdot 10^{-3}$ ;  $BR [D(1285) \rightarrow \rho\gamma] < 5 \cdot 10^{-2}$  (95 %-ная достоверность).

13. Ранее в опытах на установке «Лептон-Г» были обнаружены редкие электромагнитные распады  $\eta \rightarrow \mu^+\mu^-\gamma$ ,  $\eta' \rightarrow \mu^+\mu^-\gamma$ ,  $\omega \rightarrow \pi^0\mu^+\mu^-$  и уточнена вероятность процесса  $\eta \rightarrow \mu^+\mu^-$ . Исследованы переходные формфакторы для  $\eta - \gamma$ ,  $\eta' - \gamma$  и  $\omega - \pi^0$ -вершин. Получены новые верхние пределы для вероятностей  $\eta \rightarrow \pi^0\mu^+\mu^-$ ,  $\eta' \rightarrow \pi^0\mu^+\mu^-$ ,  $\eta' \rightarrow \eta\mu^+\mu^-$  (см. табл. 3).

#### ПРИЛОЖЕНИЕ 1

#### «ГЛЮБОЛЫ-88» (МАТЕРИАЛЫ РАБОЧЕГО СОВЕЩАНИЯ ПО ГЛЮБОЛАМ, ГИБРИДАМ И ЭКЗОТИЧЕСКИМ АДРОНАМ, BNL, США, 29 АВГУСТА — 1 СЕНТЯБРЯ 1988 Г.)\*

Исследования по физике резонансов, продолжающиеся уже более четверти века, существенно изменили наши представления о природе адронов, т. е. частиц, участвующих в сильных взаимодействиях. После классических работ Алльвареца, Маглича и других, приведших к открытию  $\omega$ -мезонов, это направление стало очень быстро развиваться. В сравнительно короткий срок было обнаружено несколько сот новых частиц — барионов и мезонов, краткое справочное описание которых занимает теперь увесистый том [89].

Стало очевидным, что все эти адроны уже не являются элементарными частицами, как это считалось вначале, и что уровень элементарности лежит существенно глубже. Было открыто существование цветных кварков и глюонов, и создана квантовая хромодинамика, описывающая взаимодействия между этими фундаментальными объектами. Оказалось, что именно кварки являются структурными элементами адронной материи, определяющими многообразие адронного мира. Было установлено, что все известные адроны подчиняются  $SU(3)$ -систематике, являющейся отражением их очень простого кваркового строения: мезоны представляют собой  $q\bar{q}$ -системы из валентных кварк-антикварковых пар, а барионы состоят из трех валентных кварков ( $qqq$ ). Конечно эти валентные структуры окружены виртуальным «морем» кварк-антикварковых пар и глюонов, но именно валентные фундаментальные частицы определяют основные квантовые числа и систематику адронов.

Однако с «древних времен» кварковой эры и почти до нашего времени остался вопрос о том, а не существуют ли адроны с более

\* Glueballs, Hybrids and Exotic Hadrons. Upton, N.Y., 1988. Particles and Fields/Suh-Urk Chung Ed., N.Y., 1989. Ser. 36.

сложным валентным составом — многокварковые мезоны ( $qq\bar{q}\bar{q}$ ), барионы ( $qqqq\bar{q}$ ) или дибарионы ( $qqqq\bar{q}\bar{q}$ )? С развитием КХД возникло естественное предположение, что и глюоны могут играть роль фундаментальных валентных структурных элементов, т. е. что должны существовать мезоны, состоящие из одних глюонов (они получили название глюболов [90]), или смешанные адроны из валентных кварков и глюонов — так называемые гибриды или мейктоны ( $q\bar{q}g$  или  $qq\bar{q}g$ ) [38—40]. Все эти новые типы частиц обычно называются экзотическими адронами.

В течение длительного времени поиски экзотических состояний оставались безуспешными. Однако в последние годы, в связи с развитием экспериментальной техники, ситуация здесь значительно изменилась. Появились новые направления научных исследований, связанные с опытами на встречных  $e^+e^-$ -пучках (изучение адронных состояний, возникающих в распадах  $J/\psi$ -частиц и в  $\gamma\gamma$ -взаимодействиях). Но, по-видимому, наибольшую роль сыграли эксперименты на адронных пучках, проводившиеся на качественно новом уровне, с использованием светосильных установок, позволяющих регистрировать и идентифицировать как заряженные, так и нейтральные вторичные частицы и изучать процессы с нанобарными сечениями.

Все это привело к существенному развитию систематики уже известных адронных семейств и к обнаружению нескольких новых частиц, свойства которых трудно объяснить в рамках простой кварковой модели строения адронов. Эти частицы оказались очень серьезными кандидатами в экзотические адроны.

Первые итоги нового этапа поисков экзотических состояний были недавно подведены на Рабочем совещании в BNL по глюболам, гибридам и экзотическим адронам. В этом приложении кратко суммированы основные результаты, обсуждавшиеся на Совещании, и предпринята попытка нарисовать некоторую общую картину современного состояния физики экзотических адронов. В соответствии с тематикой Совещания, здесь будут рассмотрены вопросы, почти исключительно связанные со спектроскопией мезонов, так как исследования по экзотическим барионам находятся лишь на раннем этапе своего развития, и ситуация с ними остается пока очень неопределенной.

**П.1. Типы экзотических адронов.** Как известно, все экзотические адронные состояния могут быть разделены на три группы:

*Экзотика первого рода:* состояния с явно экзотическими значениями таких основных квантовых чисел, как электрический заряд, странность, изотопический спин (мезоны с  $|Q| \geq 2$ , или  $|S| \geq 2$ , или  $I > 1$ , барионы с  $|Q| > 2$ , или  $I > 3/2$ , или  $S > 0$ ). Такие частицы просто не могут иметь обычную кварковую структуру типа  $q\bar{q}$  или  $qq\bar{q}$  и обязательно должны быть экзотическими многокварковыми состояниями.

*Экзотика второго рода* — это частицы, имеющие экзотические сочетания таких квантовых чисел, как спин  $J$ , четность  $P$  и зарядовая

четность  $C$ , которых не может быть у адронов с обычной кварковой структурой. Например, для мезонов экзотическими наборами этих квантовых чисел являются  $J^{PC} = 0^{+-}; 0^{--}; 1^{-+}; 2^{+-}; 3^{-+}$  и т. д. Такими значениями  $J^{PC}$  могут обладать все виды экзотических мезонов — как многокварковые состояния, так и гибриды и глюболы.

*Экзотика третьего рода:* адронные состояния со скрытой экзотикой (криптоэкзотические адроны). У таких частиц нет внешних экзотических признаков, и их сложное внутреннее строение может быть установлено лишь косвенным образом — по каким-то специфическим особенностям в их характеристиках (аномально малые ширины, аномальные распадные каналы, специальные механизмы образования и т. д.). К экзотике третьего рода могут также принадлежать экзотические адроны всех видов.

**П.2. Поиски экзотики первого рода.** Поиски экзотики первого рода велись уже очень давно, но особыми успехами не увенчались. Появляющиеся время от времени сообщения о наблюдении таких явно экзотических объектов в дальнейшем опровергались результатами последующих более точных опытов.

В настоящее время существуют только два возможных кандидата в эту категорию экзотических мезонов:

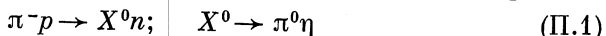
$U$ -мезоны — изотопический квартет частиц с изоспином  $I = 3/2$ , странностью  $S = -1$  и массами около 3,1 ГэВ ( $U \equiv U^+; U^0; U^-; U^{--}$  и соответствующие античастицы  $\bar{U} \equiv \bar{U}^-; \bar{U}^0; \bar{U}^+; \bar{U}^{++}$ ). Данные о возможном наблюдении  $U$ -мезонов, распадающихся по каналам  $U \rightarrow \Lambda p +$  заряженные пионы, были получены в эксперименте WA62 [91] на гиперонном пучке CERN и в опытах на спектрометре БИС-2 (ОИЯИ) [92] на пучке нейtronов Серпуховского ускорителя. В этих опытах сечение образования  $U$ -мезонов, умноженное на распадную вероятность для определенного канала, составляет несколько микробарн. Однако, по общему мнению, эти данные следуют рассматривать лишь как указания на возможное существование экзотических  $U$ -мезонов. Они нуждаются в дальнейших подтверждениях. На Совещании были представлены результаты поисков  $U$ -мезонов в реакциях  $pp$ -аннигиляции при  $p_p$ , равной 6,6 и 8 ГэВ (эксперимент E771, MPS BNL).  $U$ -мезоны не были обнаружены. Установлены верхние пределы для сечений их образования:  $\sigma (pp \rightarrow \bar{U}^{++} + X^{--}) \times BR (\bar{U}^{++} \rightarrow \bar{\Lambda} p \pi^+) < 98 \cdot 10^{-33} \text{ см}^2$  и  $\sigma (pp \rightarrow \bar{U}^0 + X^0) BR (\bar{U}^0 \rightarrow \bar{\Lambda} p \pi^-) < 364 \cdot 10^{-33} \text{ см}^2$  (90 %-ная достоверность).

Мезоны с изоспином  $I = 2$ , проявляющиеся косвенным образом при образовании пар векторных мезонов в  $\gamma\gamma$ -соударениях  $\gamma\gamma \rightarrow VV$ . Согласно моделям [93, 94], экспериментальные данные по реакциям  $\gamma\gamma \rightarrow \rho^0 \rho^0$  и  $\gamma\gamma \rightarrow \rho^+ \rho^-$  могут быть объяснены интерференцией изоскалярных и изотензорных экзотических мезонов в промежуточном состоянии для реакции  $\gamma\gamma \rightarrow (X) \rightarrow \rho\rho$  (в области масс 1,3 ÷ 1,8 ГэВ).

Однако однозначность этих моделей и возможности последовательного описания всех данных по реакциям  $\gamma\gamma \rightarrow (X) \rightarrow VV$  на их основе

пока окончательно не ясны. Очень важны поэтому прямые поиски проявления таких экзотических резонансов в других реакциях — например, при образовании  $\rho^\pm\rho^\pm$ -системы в центральных соударениях — типа  $p\bar{p} \rightarrow n_f (\rho^+\rho^+)n_s$  или при аннигиляции антипротонов  $p\bar{n} \rightarrow \pi^+ (\rho^-\rho^-)$   $\pi^+$  и т. д. \*.

**П.3. Поиски экзотики второго рода.** На Совещании в BNL подробно обсуждались данные о существовании экзотического мезона второго рода  $M(1405)$  с квантовыми числами  $J^{PC} = 1^{-+}$ , полученные сотрудничеством ГАМС (ИФВЭ — CERN) при изучении процесса

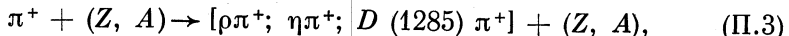


(импульс 100 ГэВ;  $3 \cdot 10^4$  событий) [43]. Доминирующий вклад в реакцию (П.1) вносит образование тензорного мезона  $A_2(1320) \rightarrow \eta\pi^0$ . Однако при парциально-волновом анализе данных (П.1) выделена также реакция



с сечением  $\sigma [\pi^- p \rightarrow M(1405) n] BR [M(1405) \rightarrow \pi^0 \eta] = (9,1 \pm 2,0) \times 10^{-33} \text{ см}^2$ . Основные характеристики экзотического  $M(1405)$ -мезона:  $M = 1406 \pm 20$  МэВ;  $\Gamma = (180 \pm 30)$  МэВ;  $J^{PC} = 1^{-+}$ ;  $I^G = 1^-$ . Его возможная интерпретация — гибридное ( $q\bar{q}g$ ) состояние или многокварковый мезон. В опытах того же сотрудничества на Серпуховском ускорителе при импульсе 38 ГэВ зарегистрировано  $3 \cdot 10^5$  событий (П.1), которые сейчас анализируются.

Поиски экзотических состояний с  $J^{PC} = 1^{-+}$  проводились также в реакциях кулоновского рождения



при большой первичной энергии ( $E_{\pi^+} = 200$  ГэВ; эксперимент E272 FNAL) [95]. Этот метод оказывается весьма перспективным для поисков экзотических мезонов второго рода, имеющих достаточно большую связь с  $\rho\pi$ -каналом (необходимую для эффективного кулоновского образования таких частиц). Поиски состояний с экзотическими квантовыми числами  $J^{PC} = 1^{-+}$  осуществлялись с помощью парциально-волнового анализа, который становится более надежным для четко-определенного кулоновского механизма в реакции (П.3) \*\*.

Однако, как показали результаты новой обработки уже проведенных ранее измерений на ускорителе FNAL, имеющиеся данные не обладают достаточной чувствительностью для обнаружения экзотических состояний. Получены только определенные ограничения для

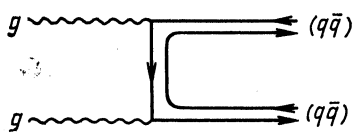
\*  $n_f, n_s$ -обозначения для быстрой и медленной частиц в л.с.к. [при центральном рождении исследуемой системы — в данном случае ( $\rho^+\rho^+$ )].

\*\* В реакции (П.3) искались заряженные мезонные резонансы с  $J^P = 1^-$  и  $I^G = 1^-$ . Квантовые числа  $J^{PC} = 1^{-+}$  характеризуют нейтральные мезоны, принадлежащие к тем же изотопическим триплетам.

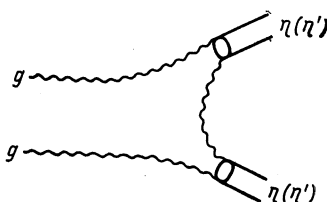
Таблица 4. Некоторые распадные каналы для экзотических мезонов  
 $M \rightarrow \varphi\pi$ ;  $\varphi\rho$ ;  $M' \rightarrow \varphi\omega$

$(q\bar{q})_{I=1} \not\rightarrow \varphi\pi$ (запрет по OZI)	Для $M_{\text{экз}} \equiv (q\bar{q}ss); (q\bar{q}g)$
$(s\bar{s})_{I=0} \not\rightarrow \varphi\pi$ (запрет по изоспину)	$R = \Gamma(M_{\text{экз}} \rightarrow \varphi\pi)/\Gamma(M_{\text{экз}} \rightarrow \omega\pi) \sim 1$ [3]
$(q\bar{q})_{I=0} \not\rightarrow \varphi\omega$ (запрет по OZI)	Для $(q\bar{q})$ $R \sim (1/400) \div (1/200)$

$G \rightarrow \eta\eta; \eta\eta'; \eta'\eta'$  — характерные распады для глюболов [98]  
 Диаграммы для распадов глюболов:



а) Кварковая диаграмма (такая же как и для  $q\bar{q}$ -мезонов)



б) Диаграмма глюонного обесцвечивания (характерная для глюболова)

Механизм глюонного обесцвечивания обусловлен сильной связью между  $(gg)$ -системой и  $\eta$ -,  $\eta'$ -мезонами. Из данных по распаду  $J/\psi \rightarrow \gamma gg \rightarrow \eta\eta; \eta\eta'$  для глюболов с  $J^{PC}=0^{++}$  предсказаны большие вероятности распадов  $G \rightarrow \eta\eta; \eta\eta'; \eta'\eta'$ .

Отношение квадратов матричных элементов для распадов  $G \rightarrow P_1 P_2$  ( $P$  — псевдоскалярный мезон)

$G \rightarrow P_1 P_2$	$\pi\pi$	$\eta\eta$	$\eta\eta'$	$\eta'\eta'$
$ A ^2$	$\ll 1$	1	10	30

$$M \rightarrow 4\pi^0$$

Распад  $(q\bar{q}) \rightarrow 4\pi^\pm$  усилен образованием  $\rho$ -мезонов:  $(q\bar{q}) \rightarrow \rho^0 \rho^0 \rightarrow \pi^+ \pi^- \pi^+ \pi^-$  и т. д. Поэтому:

$$BR [(q\bar{q}) \rightarrow 4\pi^0]/BR [(q\bar{q}) \rightarrow 4\pi] \sim 1/50 (\rho \rightarrow \pi^0 \pi^0 \text{ запрещен}).$$

Для глюболов:  $G \rightarrow 4\pi^\pm$  усилен образованием  $\rho$  (кварковые диаграммы);  $G \rightarrow 4\pi^0$  усилен механизмом глюонного обесцвечивания.

Результат:

$$\left. \begin{aligned} BR [G \rightarrow 4\pi^0] &\sim 10^{-1} \\ BR [(q\bar{q}) \rightarrow 4\pi^0] &\sim 10^{-2} \div 10^{-3} \end{aligned} \right\} \text{Большая вероятность распада } G \rightarrow 4\pi^0 \text{ — характерное свойство глюболова [101]}$$

возможных свойств таких адронов. Показано, в частности, что нет экзотических мезонов с  $J^{PC} = 1^{-+}$ , с массой  $M < 1,5$  ГэВ и распадной шириной  $\Gamma < 200$  МэВ, имеющих  $BR [ | 1^{-+} \rangle \rightarrow \rho\pi] > 3\%$ . Обнаружены также некоторые возможные проявления экзотических структур с массами в области 1,6—1,9 ГэВ, распадающихся по каналу  $D$  (1285) л. Но эти указания не являются однозначными; они нуждаются в подтверждении в более чувствительных экспериментах.

Обсуждаются возможности новых опытов по кулоновскому образованию экзотических мезонов на ускорителе FNAL, а в дальнейшем — на УНК.

**П.4. Поиски экзотики третьего рода.** Поиски экзотических состояний третьего рода (криптоэкзотических адронов) занимают особое место в исследованиях по нанобарной адронной спектроскопии последних лет. Так как о сложном внутреннем строении криптоэкзотических частиц можно судить лишь по косвенным динамическим признакам, соответствующие опыты оказываются достаточно трудны. Их успех во многом связан с удачным выбором эксклюзивных процессов с адронными системами, при котором из качественных соображений можно ожидать более четкого проявления экзотических состояний. Некоторые примеры подобного подхода приведены в табл. 4 и 5. Несмотря на сложности поисков криптоэкзотических частиц, о которых говорилось выше, именно здесь в последние годы достигнут значительный прогресс, и появилось несколько очень серьезных претендентов на роль экзотических адронов.

Таблица 5. Образование экзотических мезонов

$$J/\psi \rightarrow \gamma(gg) \rightarrow \gamma G$$

Этот распадный канал, обогащенный глюболями, является перспективным для поисков глюболов и, может быть, гибридов

$\Gamma(J/\psi \rightarrow \gamma G)$  — большая ширина для глюболов;  
 $\Gamma(G \rightarrow \gamma\gamma)$  — малая ширина для глюболов

} «Stickiness»     $S_X = [\Gamma(J/\psi \rightarrow \gamma X)/LIPS_1]/[\Gamma(X \rightarrow \gamma\gamma)/LIPS_2]$   
 Эта величина в грубом приближении определяется отношением цветовых и электрических зарядов партонных конституентов  $X$

Глюболы:  $S_G \gg 1$  и  $S_{G(\bar{q}q)} \gg S_{(q\bar{q})}$  (см. обзор [105])

---

Глюболы образуются в  $gg$ -соударениях в процессах центрального рождения  $h + N \rightarrow h_f [G \rightarrow P_1 P_2] N_s$ . С ростом  $\sqrt{s}$  роль  $gg$ -соударений в центральной области растет, и образование глюболов может проявляться более четко [99].

---

Реакции, подавленные правилом OZI для стандартных  $(q\bar{q})$ -мезонов [например,  $\pi^- p \rightarrow (\phi\phi) n$ ;  $\pi^- p \rightarrow (\phi\pi^0) n$ ], могут с успехом использоваться для поисков экзотических мезонов [т. е. каскадных процессов  $\pi^- p \rightarrow g t n$ ;  $g t \rightarrow \phi\phi$  или  $\pi^- p \rightarrow C(1480) n$ ;  $C(1480) \rightarrow \phi\pi^0$ ]. Из-за сложной цветовой структуры экзотических мезонов при их образовании правило отбора OZI может сильно нарушаться [3, 4, 104].

---

Примечание. LIPS — лоренци-инвариантный фазовый объем.

Поиски криптоэкзотических состояний тесно переплетаются с опытами, в которых уточняется структура семейств обычных мезонов и барионов. Часто без такого уточнения вопрос об интерпретации новых резонансов не может быть однозначно решен, так как экзотические частицы должны быть «лишними» состояниями, не укладывающимися в схемы обычных мезонных nonетов.

Очень интересные результаты по выяснению структуры ряда  $SU(3)$ -nonетов обычных мезонов получены на установке LASS. В частности, данные LASS для реакции  $K^-p \rightarrow K^+K^-\Lambda$  свидетельствуют о том, что  $\xi$  (2210)-мезон, наблюдавшийся в распадах  $J/\psi \rightarrow \gamma \xi$  (2210),  $\xi$  (2210)  $\rightarrow K^+K^-$ ,  $K_S^0K_S^0$  (MARK III) и в адронных реакциях  $\pi^-p \rightarrow \xi$  (2210)  $n$ ,  $\xi$  (2210)  $\rightarrow \eta\eta'$  (ГАМС),  $\pi^-p \rightarrow \xi$  (2210)  $n$ ,  $\xi$  (2210)  $\rightarrow K_S^0K_S^0$  (МИС ИТЭФ), по-видимому, является мезоном типа  $(ss)$  со спином  $J = 4$  и входит в один  $SU(3)$ -nonет с  $h$  (2030)-мезоном.

Большинство кандидатов в экзотические состояния, обсуждавшиеся на Совещании, имеют криптоэкзотические квантовые числа, т. е. относятся к экзотике третьего рода. Наибольший интерес и наиболее широкие обсуждения были связаны с криптоэкзотическими мезонами, перечисленными в табл. 6.

$C$  (1480)-мезон [1—4]. Векторный  $C$  (1480)-мезон обнаружен в реакции

$$\pi^-p \rightarrow C(1480)n; \quad C(1480) \rightarrow \varphi\pi^0 \quad (\text{П.4})$$

при импульсе 32,5 ГэВ (установка «Лептон-Ф», ИФВЭ). При исследовании возможных распадов  $C$  (1480) по каналам  $\varphi\pi^0$  и  $\omega\pi^0$  найдено, что отношение  $R = BR[C(1480) \rightarrow \varphi\pi^0]/BR[C(1480) \rightarrow \omega\pi^0] > 0,5$  (95 %-ная достоверность) аномально велико для мезонных состояний обычного  $qq$ -типа, для которых распад по каналу  $\varphi\pi^0$  подавлен правилом отбора OZI. Ожидаемое значение  $R$  для таких частиц должно быть  $\sim \left(\frac{1}{200}\right) \div \left(\frac{1}{400}\right)$ . Например, для известного  $B$  (1235)-мезона это отношение  $< 5 \cdot 10^{-3}$ . Аномальное нарушение правила OZI в распадах  $C$  (1480) не находит объяснения, если это состояние принадлежит к обычным  $qq$ -мезонам, и является веским аргументом в пользу интерпретации  $C$  (1480) как экзотического адрона со структурой

$$|C(1480)\rangle = |\frac{1}{\sqrt{2}}(u\bar{u} - d\bar{d})\bar{s}s\rangle \quad (\text{многокварковый мезон}) \quad \text{или}$$

$$|C(1480)\rangle = |\frac{1}{\sqrt{2}}(u\bar{u} - d\bar{d})g\rangle \quad (\text{гибридный мезон}).$$

$G$  (1590)-мезон и другие результаты ГАМС. Скалярный  $G$  (1590)-мезон, обнаруженный сотрудничеством ГАМС в реакции перезарядки

$$\pi^-p \rightarrow G(1590)n; \quad G(1590) \rightarrow \eta\eta; \quad \eta\eta'; \quad 4\pi^0 \quad (\text{П.5})$$

при импульсах 38 и 100 ГэВ, является сильным кандидатом в глюболовы [96, 97]. Основания для такой интерпретации следующие:

а. Вероятности распада  $G$  (1590)  $\rightarrow \eta\eta$ ;  $\eta\eta'$ ;  $4\pi^0$  и верхние границы для распада этой частицы по каналам  $K\bar{K}$ , пл хорошо согласуются

Таблица 6. Основные кандидаты в криптоэкзотические состояния, обсуждавшиеся на Совещании в BNL

Типы криптоэкзотических мезонов	Коллаборации	Составление и его квантовые числа	Масса, МэВ	Ширина, МэВ	Распадные каналы
Многокварковые мезоны ( $q\bar{q}q\bar{q}$ ) или гибриды ( $qqg$ )	«Лептон-Ф» (ИФВЭ)	$C(1480)$ $I^G J^{PC} = 1+1--$	$1480 \pm 40$	$130 \pm 60$	$C(1480) \rightarrow \varphi\pi^0$
Глюбобы	ГАМС-2000 ГАМС-4000 (ИФВЭ-CERN)	$G(1590)$ $I^G J^{PC} = 0+0++$	$1590 \pm 30$	$280 \pm 40$	$G(1590) \rightarrow 4\pi$ $\rightarrow \eta\eta'$ $\rightarrow \eta\eta$
MARK II CB		$\psi(1440)$	$1449 \pm 4$	$66 \pm 7$	$\psi(1440) \rightarrow K\bar{K}^*$ $\rightarrow \delta\pi$ $\rightarrow K\bar{K}$
MARK III DM2		$I^G J^{PC} = 0+0+$			$\rightarrow \rho\gamma?$
MARK II MARK III DM2 МИС ИТЭФ Омега-спектрометр		$\theta(1720)$ $I^G J^{PC} = 0+2++$	$1709 \pm 2 \pm 20$	$183 \pm 10 \pm 30$	$\theta(1720) \rightarrow K\bar{K}$ $\rightarrow \eta\eta$ $\rightarrow \pi\pi$
MPS BNL		$g_T(2010)$ $g_{T'}(2300)$ $g_{T''}(2340)$ $I^G J^{PC} = 0+2++$	$2014^{+62}_{-76}$ $2297 \pm 28$ $2339 \pm 55$	$202^{+67}_{-62}$ $149 \pm 41$ $319^{+81}_{-69}$	$g_T, T'; T'' \rightarrow \varphi\varphi$

с предсказаниями, основанными на механизме глюонного обесцвечивания [98], характерного для распада глюболов, и не могут быть объяснены для частиц обычного  $qq$ -типа.

б.  $G(1590)$  очень отчетливо наблюдается в реакции центрального рождения [99]:

$$\pi^- p \rightarrow \pi_f^- [G(1590) \rightarrow \eta\eta] p_s \quad (\text{П.6})$$

при первичном импульсе 300 ГэВ, где процессы, обусловленные  $gg$ -взаимодействиями «морских» глюонов, должны хорошо проявляться.

Следует отметить, что сотрудничество ГАМС обнаружило ряд других мезонов. Некоторые из них являются кандидатами в экзотические состояния [ $X(1750) \rightarrow \eta\eta$  [100],  $X(1810) \rightarrow 4\pi^0$  [101],  $X(1920) \rightarrow \eta\eta'$  [102]]. На Совещании были доложены также данные о наблюдении двух новых мезонов  $X(1640) \rightarrow \omega\omega$  и  $X(1960) \rightarrow \omega\omega$  в реакции  $\pi^- p \rightarrow \omega\omega n \rightarrow (\pi^0\gamma)(\pi^0\gamma) n$ . Их квантовые числа  $I^G J^{PC} = 0^+ 2^{++}$ , массы  $M_1 = (1643 \pm 7)$  МэВ и  $M_2 = (1956 \pm 20)$  МэВ и ширины  $\Gamma_1 < 70$  МэВ и  $\Gamma_2 = (220 \pm 60)$  МэВ [103]. Их возможная интерпретация — экзотические состояния или радиальные возбуждения  $f(1270)$ -мезона.

$gt$ -Мезоны [104]. При исследовании реакции

$$\pi^- p \rightarrow \phi\phi n \quad (\text{П.7})$$

на установке *MPS* BNL при импульсе 22 ГэВ ( $\sim 6.7 \cdot 10^3$  событий) в результате фазового анализа выделено три резонансных состояния  $gt$  (2010),  $gt'$  (2300) и  $gt''$  (2340), имеющих квантовые числа  $J^{PC} = 2^{++}$ . Показано, что в реакции (П.7) имеет место сильное нарушение правила отбора OZI, возникающее в промежуточном двухглюонном канале. Это нарушение является существенным аргументом в пользу интерпретации  $gt$ -мезонов как глюболов (хотя существуют и другие модели, позволяющие описать свойства этих частиц как многокварковых  $ssss$ -мезонов или гибридов).

### П.5. Радиационные распады $J/\psi$ -частиц и поиски глюболов. Радиационные распады $J/\psi$ -мезонов

$$J/\psi \rightarrow \gamma (gg) \rightarrow \gamma G \quad (\text{П.8})$$

уже давно рассматривались как очень перспективные процессы для поисков глюболов, где можно ожидать большую вероятность образования этих экзотических состояний \*. С другой стороны, ожидается, что для глюболов, не содержащих валентных заряженных夸克ов, радиационные распадные ширины  $\Gamma(G \rightarrow \gamma\gamma)$  должны быть малы. На основании этих качественных соображений М. Чановицем был сформулирован критерий для идентификации глюболов [53]

$$S = [\Gamma(J/\psi \rightarrow \gamma G)/\text{LIPS}_1]/[\Gamma(G \rightarrow \gamma\gamma)/\text{LIPS}_2] \gg 1. \quad (\text{П.9})$$

Здесь  $\text{LIPS}_1$  и  $\text{LIPS}_2$  — соответствующие релятивистски-инвариантные фазовые объемы для распадов  $J/\psi$  и  $G$ . В реакции (П.8) были

\* См. обзор [105], где приведена и соответствующая библиография.

уже несколько лет назад зарегистрированы два состояния, которые рассматриваются как очень серьезные кандидаты в глюболовы. Это  $\theta$  (1720)-мезон с квантовыми числами  $J^{PC} = 2^{++}$  и, особенно,  $\iota$  (1440)-мезон с  $J^{PC} = 0^{-+}$ :

$$\mathcal{J}/\psi \rightarrow \gamma \iota (1440); \quad (1440) \rightarrow K\bar{K}\pi \quad (J^{PC} = 0^{-+}); \quad (\text{П.10})$$

$$\rightarrow \gamma\theta (1720); \quad \theta (1720) \rightarrow K\bar{K}; \quad \eta\eta; \quad \pi\pi \quad (J^{PC} = 2^{++}). \quad (\text{П.11})$$

Для этих мезонов получены значения параметров  $S$  [ $\iota (1440)$ ]  $> 60 \div 80$ ,  $S [\theta (1720)] > 28$ , выделяющие их среди других мезонов и являющиеся сильными аргументами в пользу интерпретации их как глюболов. Некоторые новые данные об этих состояниях были представлены на Рабочем совещании в BNL.

$\iota$  (1440). Проведен фазовый анализ данных по распадам (П.10), полученных на установках MARK III и DM2. Эти данные согласуются с квантовыми числами  $\iota$  (1440)-мезона  $J^{PC} = 0^{-+}$ , со значением массы  $M = (1449 \pm 4)$  МэВ и ширины  $\Gamma = (66 \pm 7)$  МэВ (результат DM2). Основными каналами распада  $\iota$ -мезона являются  $\iota (1440) \rightarrow K\bar{K}^*$ ;  $\delta\pi$  (50 %/50 %). Возможно, что существует распад  $\iota \rightarrow K\bar{K}$ .

$\iota (1440) \rightarrow \rho\gamma$ . Большая вероятность распада (П.10) и низкая граница для радиационной ширины  $\Gamma [\iota(1440) \rightarrow \gamma\gamma] (S_\iota > 60 \div 80)$  свидетельствуют в пользу интерпретации иота-мезона как глюболова.

$\theta$  (1720).  $\theta$  (1720)-Мезон, обнаруженный впервые в распадах (П.11), наблюдался, по-видимому, также в реакции  $\pi^- p \rightarrow K_S^0 K_{S0}^0$  на спектрометре МИС ИТЭФ (при импульсе  $p_{\pi^-} = 40$  ГэВ [106]) и еще более отчетливо — в центральных соударениях на омега-спектрометре в реакции  $pp \rightarrow p_f [\theta (1720) \rightarrow K\bar{K}] ps$  при первичном импульсе 300 ГэВ [107].

Среди распадов  $\theta$  (1720)-мезонов преобладают каналы  $\theta \rightarrow K\bar{K}$ . С другой стороны,  $\theta$  (1720)-мезон не наблюдается в реакции  $K^- p \rightarrow K\bar{K}\Lambda$  (LASS, МИС ИТЭФ), что свидетельствует против его интерпретации в качестве мезона с кварковой структурой  $ss$ . Таким образом, совокупность данных по процессам образования и распада  $\theta$  (1720)-мезона приводит к заключению, что это состояние может быть глюболовом. Следует заметить, что хотя для  $\theta$  (1720)-мезона квантовые числа  $J^{PC} = 2^{++}$  являются наиболее вероятными, значения  $J^{PC} = 0^{++}$  нельзя считать окончательно исключенными.

**П.6.  $E/\iota$ о-проблема.** После первых работ по обнаружению  $\iota$  (1440)-мезона, распадающегося по каналу  $\iota (1440) \rightarrow K\bar{K}\pi$  в радиационном процессе (П.10), возник вопрос о связи этого псевдоскалярного мезона ( $J^{PC} = 0^{-+}$ ) с близким по массе (и по распадам) состоянием  $E$  (1420)  $\rightarrow K\bar{K}\pi$ , наблюдавшимся в адронных процессах, но, какказалось тогда, принадлежавшим к аксиальному мезонному nonetу ( $J^{PC} = 1^{++}$ ). Однако квантовые числа  $E$  (1420)-мезона были определены не очень надежно. Вопрос о том, существуют ли здесь одно, два или даже большее число состояний, получил название

*E*/иота-проблемы. Он тесно связан с опытами по выяснению структуры аксиального нонета мезонов, а также псевдоскалярных радиально-возбужденных состояний. В дальнейшем, чтобы подчеркнуть различия в квантовых числах *E*- и иота-частиц, мы будем говорить о псевдоскалярных  $\iota$  (1440)/ $\eta$  (1440) и аксиально-векторных  $E$  (1420)/ $f_1$  (1420)-мезонах (здесь старые обозначения подчеркивают сложившиеся уже давно названия этих частиц и самой *E*/иота-проблемы, а новые обозначения — их квантовые числа — см. [89]).

Поиски  $E$  (1420)/ $f_1$  (1420)- и  $\iota$  (1440)/ $\eta$  (1440)-мезонов проводились в ряде экспериментов во многих адронных процессах. Более ранние результаты и соответствующая библиография содержатся в обзорах [61]. Многие новые данные были представлены на Совещании в BNL. Кратко суммируем основные итоги исследования *E*/иота-проблемы:

а)  $E$  (1420)/ $f_1$  (1420)-мезон с  $J^{PC} = 1^{++}$  образуется в процессах центрального рождения  $\pi^-(p)p \rightarrow \pi^-(p_f) [K\bar{K}\pi]p_S$  и, может быть, в соударениях  $\gamma\gamma^*(Q^2 \neq 0) \rightarrow K\bar{K}\pi$  (с меченными виртуальными фотонами — см. [109, 110]); б) в реакциях  $\pi^-p$ -перезарядки и  $p\bar{p}$ -аннигиляции наблюдаются только состояния с  $J^{PC} = 0^{-+}$  ( $\iota$  (1440),  $\eta$  (1400) и, может быть, что-то еще); в) в реакции  $K^-p \rightarrow (K\bar{K}\pi)Y$  на установке LASS зарегистрирован  $D'$  (1530) с  $J^{PC} = 1^{++}$  и не наблюдался  $E$  (1420)-мезон; г) на установке «Лептон-Ф» найден радиационный распад  $D$  (1285)  $\rightarrow \varphi\gamma$  и не обнаружен распад  $E$  (1420)  $\rightarrow \varphi\gamma$ . На основании всей этой совокупности данных можно заключить, что  $E$  (1420)/ $f_1$  (1420)-мезон с  $J^{PC} = 1^{++}$ , по-видимому, существует, но, наверное, не принадлежит к тому же аксиальному нонету, что и  $D$  (1285)-мезон, а является каким-то новым и, может быть, экзотическим состоянием. В аксиальный же мезонный нонет входит  $D'$  (1530)-мезон. В целом проблема *E*/иота и вопрос о природе  $E$  (1420)-мезона еще не решены окончательно, несмотря на то что соответствующие работы ведутся с 1980 г. Здесь нужны еще новые, очень серьезные усилия.

## ЗАКЛЮЧЕНИЕ

Таким образом, как показали обсуждения на Рабочем совещании в BNL («Глюболовы-88»), в настоящее время имеется несколько очень серьезных претендентов на роль экзотических мезонов (многокварковых состояний, гибридов, глюболов). Однако в обсуждениях подчеркивалась важность дальнейших независимых экспериментальных исследований для подтверждения уже имеющихся данных и для получения новой информации, необходимой для окончательного установления существования экзотических адронов. Ряд новых экспериментов в этом направлении готовится в ЙФВЭ, BNL, KEK, CERN.

Более подробное изложение вопросов, обсуждавшихся в этом приложении, см. в обзоре [111].

## ПРИЛОЖЕНИЕ 2

## О ВОЗМОЖНЫХ ОПЫТАХ ПО ИССЛЕДОВАНИЮ ПРИРОДЫ $C(1480)^-$ -МЕЗОНА

Изучение процесса кулоновского образования  $C(1480)^-$ -мезона (заряженного изотопического партнера  $C(1480)^0$ , обнаруженного в опытах на установке «Лептон-Ф»)

$$\pi^- + (Z, A) \rightarrow C(1480)^- + (Z, A); C(1480)^- \rightarrow \varphi\pi^- \quad (\text{П.12})$$

может явиться решающим экспериментом для выяснения природы этого состояния. Перспективы использования когерентных процессов образования частиц в кулоновском поле ядер при очень высоких энергиях для поисков экзотических состояний, сильно связанных с  $V\pi^-$ -каналом ( $V$  — векторный мезон) обсуждались в [95] (см. приложение 1).

Сечение реакции (П.12) оказывается пропорциональным радиационной ширине  $\Gamma[C(1480)^- \rightarrow \pi^-\gamma]$ , которая в модели векторной доминантности (VDM) связана с  $\Gamma[C(1480)^- \rightarrow \varphi\pi^-]$

$$\begin{aligned} \Gamma[C(1480)^- \rightarrow \pi^-\gamma] &\simeq [\alpha/(g_\varphi^2/\pi)] (k_\gamma/k_\varphi)^3 \Gamma[C(1480)^- \rightarrow \varphi\pi^-] = \\ &= [\alpha/(g_\varphi^2/\pi)] (k_\gamma/k_\varphi)^3 \Gamma_C BR[C(1480)^- \rightarrow \varphi\pi^-] = \\ &= [7,4 \cdot 10^2 \text{ кэВ}] BR[C(1480)^- \rightarrow \varphi\pi^-]. \end{aligned} \quad (\text{П.13})$$

Здесь  $k_\gamma, k_\varphi$  — импульсы фотона и  $\varphi$ -мезона для соответствующих распадных каналов  $C(1480)$ -мезона;  $\Gamma_C = 130 \pm 60$  МэВ — его полная ширина (см. (17));  $g_\varphi^2/\pi \simeq 9$  — константа  $\varphi\gamma$ -перехода в VDM.

Сечение кулоновского процесса (П.12) имеет вид

$$\begin{aligned} \sigma[C(1480)^- \rightarrow \varphi\pi^-]_{\text{кулон}} &= \sigma[\pi^- + (Z, A) \rightarrow C(1480)^- + \\ &+ (Z, A)] BR[C(1480)^- \rightarrow \varphi\pi^-] \approx 8\pi\alpha Z^2 (2J_c + 1) [M_c/(M_c^2 - m_\pi^2)]^3 \times \\ &\times BR[C(1480)^- \rightarrow \varphi\pi^-] \Gamma[C(1480)^- \rightarrow \varphi\gamma] \times \\ &\times \int_{|t_{\min}|}^{\Delta} [|t - t_{\min}|/t^2] F_Z(t) |^2 |dt|. \end{aligned} \quad (\text{П.14})$$

Здесь  $|t_{\min}| = [M_c^2 - m_\pi^2]^2/4 E_\pi^2$  — минимальный квадрат переданного импульса;  $\Delta \simeq 1 \cdot 10^{-3}$  ГэВ<sup>2</sup> (для когерентного процесса на ядрах свинца);  $M_c, J_c$  — масса и спин  $C(1480)$ ;  $E_\pi$  — первичная энергия пиона;  $m_\pi$  — его масса;  $F_Z(t)$  — формфактор ядра-мишени.

Опыты по кулоновскому образованию  $C(1480)^-$ -мезонов можно проводить на ядрах свинца при  $E_\pi \geq 150$  ГэВ. Сечение (П.14) логарифмически растет с ростом  $E_\pi$ . При  $E_\pi = 500$  ГэВ

$$\begin{aligned} \sigma[C(1480)^- \rightarrow \varphi\pi^-]_{\text{кулон; Pb}} &\simeq \\ &\simeq 1,5 \cdot 10^3 \text{ (мкб/ядро Pb)} \{BR[C(1480)^- \rightarrow \varphi\pi^-]\}^2. \end{aligned} \quad (\text{П.15})$$

Соответствующие оценки показали, что в опытах этого типа можно наблюдать образование  $C$  (1480) $^-$ -мезонов и измерить  $BR [C(1480)^- \rightarrow \pi^-]$ , если этот бренчинг превышает  $\sim 0,004$ . Если  $BR [C(1480)^- \rightarrow \pi^-] \geq 0,1 \div 0,05$ , то это будет веским аргументом, подтверждающим экзотическую интерпретацию  $C$  (1480)-мезона.

### СПИСОК ЛИТЕРАТУРЫ

1. Битюков С. И., Викторов В. А., Вишневский Н. К. и др.// ЯФ. 1983. Т. 38. С. 1205—1208.
2. Битюков С. И., Викторов В. А., Вишневский Н. К. и др.// Письма в ЖЭТФ. 1985. Т. 42. С. 310—313.
3. Bityukov S.I., Dzhelyadin R.I., Dorofeev V.A. e.a.// Phys. Lett. 1987. Vol. 188B. P. 383—387.
4. Битюков С. И., Викторов В. А., Вишневский Н. К. и др.// ЯФ. 1987. Т. 46. С. 506—521.
5. Landsberg L.G.// Preprint IHEP 87-83. Serpukhov, 1987; see also Proc. of the Intern. Europhysics Conference on High Energy Phys., Uppsala, Sweden, June 25 — July 1, 1987. Vol. 1. P. 525—527.
6. Кубаровский В. П., Ландсберг Л. Г., Образцов В. Ф.// ЯФ. 1988. Т. 48. С. 1316—1321; Landsberg L.G. Preprint IHEP 88-143. Serpukhov, 1988 and «Glueballs, Hybrids and Exotic Hadrons», Upton, N.Y., 1988. P. 427—435.
7. Битюков С. И., Борисов Г. В., Викторов В. А. и др.// Письма в ЖЭТФ, 1987. Т. 45. С. 368—371.
8. Bityukov S.I., Borisov G.V., Dorofeev V.A. e.a.// Phys. Lett. 1988. Vol. 203B. P. 327—331.
9. Битюков С. И., Борисов Г. В., Викторов В. А. и др.// ЯФ. 1988. Т. 47. С. 1258—1267.
10. Bushnin Yu.B., Dzhelyadin R.I., Golovkin S.V. e.a.// Phys. Lett. 1978. Vol. 79B. P. 147—149; Dzhelyadin R.I., Golovkin S.V., Kachanov V.A. e.a.// Phys. Lett. 1980. Vol. 94B. P. 548—550.
11. Dzhelyadin R.I., Golovkin S.V., Gritzuk M.V. e.a.// Phys. Lett. 1979. Vol. 88B. P. 379—380; Викторов В. А., Головкин С. В., Джелядин Р. И. и др.// ЯФ. 1980. Т. 32. С. 1005—1007.
12. Dzhelyadin R.I., Golovkin S.V., Gritzuk M.V. e.a.// Phys. Lett. 1979. Vol. 84B. P. 143—144.
- Dzhelyadin R.I., Golovkin S.V., Konstantinov A.S. e.a.// Phys. Lett. 1981, Vol. 102B. P. 296—298.
13. Dzhelyadin R.I., Golovkin S.V., Kachanov V.A. e.a.// Phys. Lett. 1980. Vol. 97B. P. 471—472.
14. Dzhelyadin R.I., Golovkin S.V., Konstantinov A.S. e.a.// Phys. Lett. 1981. Vol. 105B. P. 239—241.
15. Landsberg L.G.// Phys. Reports. 1985. Vol. 128. P. 301—376; Ландсберг Л. Г.// УФН. 1985. Т. 146. С. 185—236.
16. Тинг С. С. Ч.// ЭЧАЯ. 1970. Т. 1. Вып. 1. С. 131—170; Хачатуриян М. Н.// ЭЧАЯ. 1971. Т. 2. Вып. 3. С. 583—634; Прокошкин Ю. Д.// ЭЧАЯ. 1987. Т. 18. Вып. 3. С. 503—574.
17. Бармин В. В., Долголенко А. Г., Крестников Ю. С. и др.// ЖЭТФ. 1963. Т. 45. С. 1879—1890.
18. Khachaturyan M.N., Azimov M.A., Baldin A.M. e.a.// Phys. Lett. 1967. Vol. 24B. P. 349—352; Astvacaturop R.G., Azimov M.A., Chuvilo I.V. e.a.// Phys. Lett. 1968. Vol. 27B. P. 45—48; Khachaturyan M.N., Azimov M.A., Belousov A.S. e.a.// Nucl. Instrum. and Methods. 1967. Vol. 51. P. 309—314.
19. Close F.E., Lipkin H.J.// Phys. Rev. Lett. 1978. Vol. 41. P. 1263—1265.

20. Jacob M., Wick G.//Ann. of Phys. 1959. Vol. 7. P. 404—428.
21. Балдин А. М., Гольданский В. И., Максименко В. М. и др.//Кинематика ядерных реакций. М.: Атомиздат, 1968. С. 285—320.
22. Bityukov S.I., Dzhelyadin R.I., Dorofeev e.a. Preprint IHEP 86-242. Serpukhov, 1986.
23. Ochs W., Wagner F.//Phys. Lett. 1973. Vol. 44B. P. 271—274.
24. Кайдалов А. Б., Нилов А. Ф., Пономарев Л. А.//ЯФ, 1986. Т. 44. С. 205—211.
25. Антипов Ю. М., Беззубов В. А., Буданов Н. П. и др.//Письма в ЖЭТФ. 1983. Т. 38. С. 356—357.
26. Binon F., Buayanov V.M., Donskov S.V. e.a.//Nucl. Instrum and Methods. 1986. Vol. 248. P. 86—102; Бинон Ф., Гуанер М., Донсков С. В. и др.//ЯФ. 1983. Т. 38. С. 934—944.
27. Aguilar-Benitez M., Porter F.C., Hernandez J.J. e.a.//Phys. Lett. 1986. Vol. 170B, P. 1—344.
28. Donnachie A., Mirzaie H.//Z. Phys. 1987. Vol. 33C. P. 407—417.
29. Achasov N.N., Kozhevnikov A.A.//Phys. Lett. 1988. Vol. 207B. P. 199—204.
30. Achasov N.N., Kozhevnikov A.A.//Phys. Lett. 1988. Vol. 209B, P. 373—374; ЯФ. 1988. Т. 48. С. 302—303.
31. Вайнштейн А. И., Захаров В. И., Новиков В. А. и др.//ЭЧАЯ. 1982. Т. 13. С. 542—612.
32. Delcourt B., Bizot J.C., Bisello D.e.a.//Proc. 1981. Intern. Symp. Lepton and Photon Interactions of High Energies at High Energy, Bonn Aug. 24—29, 1981. P. 205—216.
33. Buon J., Bisello D., Bizot J.C. e.a.//Phys. Lett. 1982. Vol. 118B, P. 221—224.
34. Gross D.J., Treiman S.B., Wilczek F.//Phys. Rev. 1979. Vol. 19D. P. 2188—2196.
35. Langacker P.//Phys. Rev. 1979. Vol. 20D. P. 2983—2985.
36. Binon F., Donskov S.V., Duteil P. e.a.//Phys. Lett. 1984. Vol. 140B. P. 264—268.
37. Баринов Н. У., Грудцин С. Н., Демидов Н. Г. и др.//ЯФ. 1979. Т. 29. С. 1357—1367.
38. Балицкий Я. Я., Дьяконов Д. И., Юнг А. В.//ЯФ. 1982. Т. 35. С. 1300—1315.
39. Barnes T., Close F.E.//Phys. Lett. 1982. Vol. 116B. P. 365—368. Barnes T., Close F.E., de Viron F.//Nucl. Phys. 1983. Vol. 224B. P. 241—264.
40. Chanowitz M. S. Preprint LBL-16653. Berkley, 1983. Chanowitz M.S., Sharpe S.R.//Phys. Lett. 1983. Vol. 132B. P. 413—418; Nucl. Phys. 1983. Vol. 222B. P. 211—244.
41. Ачасов Н. Н.//Письма в ЖЭТФ. 1986. Т. 43. С. 410—412.
42. Close F.E., Lipkin H.J.//Phys. Lett. 1987. Vol. 196B. P. 245—250.
43. Alde D., Binon F., Bouteineur M. e.a.//Phys. Lett. 1988. Vol. 205B. P. 397—400.
44. Chanowitz M.S.//Phys. Lett. 1987. Vol. 187B. P. 409—414.
45. Badalyan A.M., Ioffe B.L., Smilga A.V. Preprint ITEP-77. Moscow, 1985; Badalyan A.M., Kitrooage D.I. Preprint ITEP N 123. Moscow, 1987.
46. Atkinson M., Axon T.J., Barberis D. e.a.//Nucl. Phys. 1984. Vol. 234B. P. 1—14.
47. Atkinson M., Axon T.J., Barberis D. e.a.//Z. Phys. 1987. Vol. 34C. P. 303—306.
48. Аульченко В. М., Долинский С. И., Дружинин В. П. и др. Препринт ИЯФ СО АН СССР 86-106. Новосибирск, 1986.
49. Falvard A., Ajaltouni Z., Inad H. e.a.//Phys. Rev. 1988. Vol. 38D. P. 2706—2721.
50. Amsler C. Preprint CERN/Ep-86-178, Geneva, 1986.
51. Plyushchay M.S., Pron'ko G.P., Soloviev L.D. Preprint IHEP 87-24, Serpukhov, 1987.

52. Prokoshkin Yu.D.// Proc. of the II Intern. Conf. on Hadron Spectroscopy, April 16—18, 1987. KEK Report 87-7, Tsukuba, Japan. P. 28—39.
53. Chanowitz M.S.//Ibid. P. 269—289.
54. Lipkin H.J.//Ibid. P. 363—379.
55. Rosner J.L.//Ibid. P. 395—427.
56. Close F.E.//«Glueballs, Hybrids and Exotic Hadrons» Upton, N.Y., 1988. P. 421—426.
57. Godfrey S., Willutzki H. //Ibid. P. 703—719.
58. Prentice J.// Proc. of the Intern. Europhysics Conference on High Energy Phys., Uppsala, Sweden, June 25 — July 1, 1987. Vol. 2. P. 910—935.
59. Close F.E. Preprint RAL-87-072. Chilton, 1987.
60. Palano A. Preprint CERN-Ep/87-92. Geneva, 1987.
61. Chung S.U.//Nucl. Phys. 1988, Vol. 473A. P. 511—520.
- Chung S.U. Preprint BNL 40599. Upton, 1987.
- Cooper S.//Proc. of the XXIII Intern. Conference on High Energy Phys. 16—23 July 1986, Berkeley, Vol. P. 67—102.
62. Аппель В. Д., Аугенштайн К. Х., Бертолуччи Е. и др.//ЯФ, 1980. Т. 31, С. 167—172.
63. Dahl O., Johnson R.A., Kenney e.a.//Phys. Rev. Lett. 1978. Vol. 38. P. 54—59.
64. Анисович В. В., Шехтер В. М.//ЯФ, 1973. Т. 18. С. 701—704.
65. Druzhinin V.P., Dubrovin M.S., Eidelman S.I. e.a.//Phys. Lett. 1984. Vol. 144B, P. 136—140.
66. Gavillet Ph., Armenteros R., Aguilar-Benitez M. e.a.//Z. Phys. 1983. Vol. 16C, С. 119—128.
67. Aston D., Bienz T., Bird F. e.a.//Phys. Lett. 1988. Vol. 201B. P. 573—578.
68. O'Donnell P.J.//Rev. of Modern Phys. 1981. Vol. 53. P. 673—685.
- Kolanoski H. Preprint Bonn University BONN-HE-84—06. Bonn, 1984; Springer Tracts in Modern Phys. 1984. Vol. 105; Zielinski M.//Acta Phys. Polonica, 1987, Vol. 18B, P. 455—512.
69. Ishida S., Yamada K., Oda M. Preprint Nihon University NUP-A-88-8. Tokyo, 1988.
70. Babcock J., Rosner J.L.//Phys. Rev. 1976. Vol. 14D, P. 1286—1298.
71. Волков М. К.//ЯФ, 1984. Т. 40, С. 974—976.
72. Динейхан М., Ефимов Г. В., Соломонович М. М. Сообщения ОИЯИ Р2-82-359, Дубна, 1982.
73. Гешкенбейн Б. В., Гришкин В. А.//ЯФ, 1988. Т. 48. С. 1090—1096.
74. Kopke L.// Proc. of the XXIII Intern. Conference on High Energy Phys. 16—23 July 1986. Vol. 1. P. 692—699.
75. Аппель В. Д., Аугенштайн К. Х., Бертолуччи Е. и др.//ЯФ. 1979. Т. 29. С. 1519—1537.
- Ayres S.D., Diebold R., Green A.F. e.a.//Phys. Rev. Lett. 1974. Vol. 32. P. 1463—1467.
76. Berger S.B., Feld B.T.//Phys. Rev. 1973. Vol. 8D, P. 3875—3881.
77. Bando M., Sugimoto H., Toya M. Preprint KUNS 523 НЕ(TH)-80/01. Kyoto, 1980.
78. Битюков С. И., Викторов В. А., Головкин С. В. и др. Препринт ИФВЭ 89-192. Серпухов, 1989.
79. Burnett T.H.//«Glueballs, Hybrids an Exotic Hadrons», Upton, N.Y., 1988. P. 102—111.
80. Iizuka J., Masuda F., Miura T.//Phys. Rev. 1987. Vol. 36D P. 1422—1433; Progr. Theoret. Phys. 1988. Vol. 79. P. 141—158.
81. Еремян III. С., Назарян А. Э.//ЯФ. 1989. Т. 49. С. 823—833.
82. Hyams B.D., Koch W., Potter D.C. e.a.//Phys. Lett. 1969. Vol. 29B. P. 128—131.

83. Бушнин Ю. Б., Викторов В. А., Головкин С. В. и др. Препринт ИФВЭ 80-57, Серпухов, 1980.
84. Hyams B.D., Koch W., Pellett D. e.a./Phys. Lett. 1967. Vol. 24B, P. 634—637.
85. Ефимов Г. В., Иванов М. А./Письма в ЖЭТФ. 1980. Т. 32. С. 60—62; Динейхан М., Ефимов Г. В., Иванов М. А./Проблемы физики высоких энергий и квантовой теории поля. Протвино, 1981. С. 240—263.
86. Kopp G./Phys. Rev. 1974. Vol. 10D. P. 932—940.
87. Shifman M.A., Vysotsky M.I./Z. Phys. 1981. Vol. 10C. P. 131—138.
88. Bramon A., Masso E./Phys. Lett. 1981. Vol. 104B. P. 311—314.
89. Yost G.P., Barnett R.M., Hinchliffe e.a. (PDG)/Phys. Lett. 1988. Vol. 204B. P. 1—486.
90. Jaffe R.L., Johnson K./Phys. Lett. 1976. Vol. 60B. P. 201—206.
91. Bourgkquin M., Brown R.M., Burckhart H.Z. e.a./Phys. Lett. 1986. Vol. 172B. P. 113—118.
92. Aleev A.N., Arefiev V.A., Balandin V.P. e.a./JINR Rapid Communications N19—86. Dubna, 1986. P. 16—23.; Preprint JINR D1-88-368. Dubna, 1988; Preprint JINR D1-88-369. Dubna, 1988.
93. Achasov N.N., Devyanin S.A., Shestakov G.N./Phys. Lett. 1982. Vol. 108B. P. 134—139; Z. Phys. 1982. Vol. 16C. P. 55—64; Z. Phys. 1985. Vol. 27C. P. 99—105.
94. Li B.A., Liu K.F./Phys. Lett. 1982. Vol. 118B. P. 435—441; Phys. Lett. 1983. Vol. 124B. P. 550(E); Phys. Rev. 1984. Vol. 30D. P. 613—620.
95. Zielinski M., Berg D., Chandlee C. e.a./Z. Phys. 1986. Vol. 31C. P. 545—548; Zielinski M./Proc. of the II Intern. Conference Hadron Spectroscopy, April 16—18, 1987, KEK Report 87—7, Tsukuba, Japan. P. 28—29.
96. Binon F., Donskov S.V., Duteil P. e.a./Nuovo cimento. 1983. Vol. 78A. P. 313—330; Binon F., Bricman C., Donskov S.V. e.a./Nuovo cimento. 1984. Vol. 80A. P. 363—370.
97. Alde D., Binon F., Bricman C. e.a./Nucl. Phys. 1986. Vol. 269B. P. 485—508.
98. Gerstein S.S., Likhoded A.K., Prokoshkin Yu.D./Z. Phys. 1984. Vol. 24C. P. 305—308.
99. Alde D., Bellazzini R., Binon F. e.a./Phys. Lett. 1988. Vol. 201B. P. 160—164.
100. Alde D., Binon F., Bricman C. e.a./Phys. Lett. 1986. Vol. 182B. P. 105—107.
101. Alde D., Binon F., Bricman C. e.a./Phys. Lett. 1987. Vol. 198B. P. 286—294; ЯФ. 1988. Т. 47. С. 1273—1277.
102. Alde D., Binon F., Bricman C. e.a./Phys. Lett. 1989. Vol. 216B. P. 447—450.
103. Alde D., Binon F., Bricman C. e.a./Phys. Lett. 1989. Vol. 216B. P. 451—458.
104. Etkin A., Foley K.J., Longacre R.S. e.a./Phys. Lett. 1985. Vol. 165B. P. 217—224; Etkin A., Foley K.J., Hackenburg R.W. e.a./Phys. Lett. 1988. Vol. 201B. P. 568—572.
105. Kopke L., Wermes N./Phys. Reports. 1989. Vol. 174. P. 67—227.
106. Bolonkin B.V., Bloshenko S.K., Vladimirsny V.V. e.a./Nucl. Phys. 1988. Vol. 309B. P. 426—438.
107. Armstrong T.A., Benayoun M., Beusch W. e.a. Preprint CERN/EP-88-124. Geneva, 1988.
108. Azmstrong T.A., Bloodworth I.J., Carney J.N. e.a./Z. Phys. 1987. Vol. 34C. P. 23—31.
109. Aihara H., Alston-Garnost M., Avery R.E. e.a./Phys. Rev. Lett. 1986. Vol. 57. P. 2500—2503; Phys. Rev. 1988. Vol. 38D. P. 1—18.
110. Gidal G., Boyer J., Butler F. e.a./Phys. Rev. Lett. 1987. Vol. 59. P. 2012—2015; 2016—2019; Gidal G. Preprint LBL-25 532. Berkeley, 1988.
111. Ландсберг Л. Г. Препринт ИФВЭ 89-54. Серпухов, 1989.